

สำนักหอสมุดกลาง พระจอมเกล้าลาดกระบัง

การขับเคลื่อนมอเตอร์เพ็ชชีวนำด้วยไบมอสอินเวอร์เตอร์

โดยการควบคุมฟลักซ์แม่เหล็ก

INDUCTION MOTOR DRIVE WITH BIMOS INVERTER

BY MAGNETIC FLUX CONTROL



นายพงษ์พิชญ์ วิชาสุรรมณฑล

MR. PONGPIT WIPASURAMONTON

เลขหมู่	
เลขทะเบียน	20165
วัน, เดือน, ปี	พ.ศ. 2537

วิทยานิพนธ์ฉบับนี้สำหรับการศึกษาดำเนินการตามหลักสูตรปริญญาวิศวกรรมศาสตรมหาบัณฑิต

สาขาวิชาวิศวกรรมไฟฟ้า

บัณฑิตวิทยาลัย

สถาบันเทคโนโลยีพระจอมเกล้าเจ้าคุณทหารลาดกระบัง

พ.ศ. 2536

ISBN 974-621-055-6

เอกสารนี้เป็นเอกสารที่สงวนไว้สำหรับการใช้งานเพื่อการศึกษาเท่านั้น ไม่อนุญาตให้นำไปใช้ประโยชน์ด้านการค้า  
ไม่ว่ากรณีใดๆทั้งสิ้น อีกทั้งห้ามมิให้ดัดแปลงเนื้อหา และต้องอ้างอิงถึงเจ้าของเอกสารทุกครั้งที่มีการนำไปใช้

**INDUCTION MOTOR DRIVE WITH BIMOS INVERTER**

**BY MAGNETIC FLUX CONTROL**



**A THESIS SUBMITTED IN FULFILLMENT  
OF THE REQUIREMENTS FOR THE DEGREE  
MASTER OF ELECTRICAL ENGINEERING**

**GRADUATE SCHOOL**

**KING MONGKUT'S INSTITUTE OF TECHNOLOGY LADKRABANG**

**1993**

**ISBN 974-621-055-6**

เอกสารนี้เป็นเอกสารที่สงวนไว้สำหรับการใช้งานเพื่อการศึกษาเท่านั้น ไม่อนุญาตให้นำไปใช้ประโยชน์ด้านการค้า  
ไม่ว่ากรณีใดๆทั้งสิ้น อีกทั้งห้ามมิให้ดัดแปลงเนื้อหา และต้องอ้างอิงถึงเจ้าของเอกสารทุกครั้งที่มีการนำไปใช้

หัวข้อวิทยานิพนธ์	การขับเคลื่อนมอเตอร์เหนี่ยวนำด้วยไบมอสอินเวอร์เตอร์โดยการควบคุมฟลักซ์แม่เหล็ก
นักศึกษา	นายพงศ์พิชญ์ วิชาสุรเมณฑล
อาจารย์ผู้ควบคุมวิทยานิพนธ์	ศาสตราจารย์ ดร.วัลลภ สุระกำพลธร
ระดับการศึกษา	วิศวกรรมศาสตรมหาบัณฑิต สาขาวิศวกรรมไฟฟ้า
ภาควิชา	วิศวกรรมอิเล็กทรอนิกส์ สถาบันเทคโนโลยีพระจอมเกล้าเจ้าคุณทหารลาดกระบัง
พ.ศ.	2536

บทคัดย่อ

วิทยานิพนธ์เล่มนี้ อธิบายถึงการออกแบบและทดลองสร้างอินเวอร์เตอร์ชนิดพิตับบลิว เอ็มซึ่งใช้ในระบบขับเคลื่อนมอเตอร์เหนี่ยวนำโดยใช้ไบมอสสวิทช์ทำหน้าที่เป็นสวิทช์กำลัง ทรานซิสเตอร์กำลังที่นำมาประยุกต์ใช้ในไบมอสสวิทช์จะให้นิบัติความถี่การทำงานสูงกว่า และมีพื้นที่การทำงานปลอดภัยกว้างกว่า ทรานซิสเตอร์กำลังนิบัติเดียวกันที่ใช้เป็นสวิทช์กำลัง แรงดันที่เอาท์พุทของอินเวอร์เตอร์มีลักษณะเป็นรูปคลื่นพิตับบลิว เอ็มที่สร้างขึ้นโดยการควบคุมฟลักซ์แม่เหล็ก เมื่อเปรียบเทียบวิธีการนี้กับวิธีการสร้างรูปคลื่นพิตับบลิว เอ็มโดยวิธี SHM (Subharmonic modulation) วิธีนี้ให้ค่าสูงสุดของแรงดันเอาท์พุทได้สูงกว่าประมาณ 15 เปอร์เซ็นต์ และลดจำนวนการสวิทช์ในสวิทช์กำลังได้ประมาณ 30 เปอร์เซ็นต์ เมื่อใช้ความถี่พาห้หรือความถี่สุม่เท่ากัน ทั้งวงจรควบคุมระบบและวงจรสร้างรูปคลื่นพิตับบลิว เอ็มได้ถูกออกแบบและสร้างขึ้นบนฐานของไมโครโปรเซสเซอร์ อินเทล 8031

เอกสารนี้เป็นเอกสารที่สงวนไว้สำหรับการใช้งานเพื่อการศึกษาเท่านั้น ไม่อนุญาตให้นำไปใช้ประโยชน์ด้านการค้า  
ไม่ว่ากรณีใดๆทั้งสิ้น อีกทั้งห้ามมิให้ดัดแปลงเนื้อหา และต้องอ้างอิงถึงเจ้าของเอกสารทุกครั้งที่มีการนำไปใช้

**Thesis Title** Induction Motor Drive with BiMOS Inverter by  
 Magnetic Flux Control.  
**Student** Mr.Pongpit Wipasuramontorn  
**Thesis Advisor** Prof.Dr.Wanlop Surakampontrorn  
**Level of Study** Master of Engineering in Electrical Engineering  
**Department** Electronic Engineering King Mongkut's Institute of  
 Technology Ladkrabang  
**Year** 1993



**ABSTRACT**

This thesis presents the design and development of the induction motor drive system by using the PWM inverter with cascode-connected BiMOSs as power switching devices. The main advantages of each BiMOS switch are that, its has higher operating frequency and wider safe operating area (SOA) than conventional transistor switch. PWM output voltage is obtained by magnetic flux control method. By comparing with SHM method, the proposed method gives maximum output voltage about 15 percent greater and the number of switching in each power switching device is about 30 percent lesser, at the same sampling (carrier) frequency. In this study, the design and implementation of the control circuits and the PWM signal generation are based on INTEL 8031 microprocessor.

เอกสารนี้เป็นเอกสารที่สงวนไว้สำหรับการใช้งานเพื่อการศึกษาเท่านั้น ไม่นอนุญาตให้นำไปใช้ประโยชน์ด้านการค้า  
 ไม่ว่าจะกรณีใดๆทั้งสิ้น อีกทั้งห้ามมิให้ดัดแปลงเนื้อหา และต้องอ้างอิงถึงเจ้าของเอกสารทุกครั้งที่มีการนำไปใช้

## กิตติกรรมประกาศ

ขอขอบคุณ ศาสตราจารย์ ดร.วัลลภ สุระกำพลธ อาจารย์ประจำภาควิชาวิศวกรรมอิเล็กทรอนิกส์ ผู้ซึ่งเป็นอาจารย์ที่ปรึกษา ที่ได้ให้ความช่วยเหลือและคำแนะนำต่างๆแก่ศิษย์ รวมทั้งให้อภัยแก่ศิษย์ด้วยดีเสมอมา

ขอขอบคุณ คุณวรศักดิ์ จิตรภักดี (พี่ไข่) อดีตอาจารย์ประจำภาควิชาวิศวกรรมระบบควบคุม และ ดร.วันชัย รุ่งรุจา (พี่วิว) อาจารย์ประจำภาควิชาวิศวกรรมระบบควบคุม ที่ให้คำแนะนำและความช่วยเหลือต่างๆในการทำวิทยานิพนธ์ฉบับนี้

ขอขอบคุณ บริษัท เบนนิคส์ เทคโนโลยี จำกัด ที่ได้เอื้อเฟื้อสถานที่และอุปกรณ์บางส่วน รวมทั้งให้ความช่วยเหลือในการสร้างชุดต้นแบบและชุดทดสอบ

ขอขอบคุณ บริษัท โยโกกาวา (ประเทศไทย) จำกัด ที่ได้ให้ยืมเครื่องมือวัดกำลังไฟฟ้าคุณภาพสูงเพื่อใช้ในการทดสอบสมรรถนะของชุดต้นแบบ

ขอขอบคุณ คุณสุภาณี มุขพันธ์ (พี่แอ๊ด) และคุณเศรษฐ์ลักษณ์ เห่งจัน (น้องเอ) ที่ให้ความช่วยเหลือทางด้านงานพิมพ์วิทยานิพนธ์

ขอขอบคุณพี่ๆ "วิภาสุรมณฑล" ทุกคน โดยเฉพาะ พี่ปิยจินต์ วิภาสุรมณฑล (พี่อู๋) ผู้ที่ให้ความช่วยเหลือแก่น้องอย่างมากทั้งทางด้านกำลังใจและทุนในการทำวิจัย

และท้ายสุดของกิตติกรรมประกาศนี้ ขอขอบพระคุณ คุณแม่ กิมหลี่ ผู้ล่วงลับ ที่ได้ให้ชีวิตนี้แก่ลูก

นายพงศ์พิชญ์ วิภาสุรมณฑล

## สารบัญ

	หน้า
บทคัดย่อภาษาไทย	I
บทคัดย่อภาษาอังกฤษ	II
กิตติกรรมประกาศ	III
สารบัญ	IV
สารบัญตาราง	VI
สารบัญรูป	VII
บทที่ 1    บทนำ	1
บทที่ 2    หลักการสร้างรูปคลื่นพีดับบลิวเอ็ม โดยการควบคุมฟลักซ์แม่เหล็ก	6
2.1    นำบท	6
2.2    การแทนปริมาตรระบบสามเฟสในรูปของสเปซเวกเตอร์	8
2.3    หลักการสร้างรูปคลื่นพีดับบลิวเอ็ม	11
บทที่ 3    ไบโมสอินเวอร์เตอร์และวงจรขับไบมอสสวิตช์	22
3.1    นำบท	22
3.2    ไบมอสสวิตช์แบบคาสโคด	23
3.3    วงจรไบมอสอินเวอร์เตอร์	27
3.4    ชุดตรวจจับกระแสและแรงดันผิดปกติ	30
3.5    วงจรขับไบมอสสวิตช์	32
บทที่ 4    ชุดควบคุมระบบขับเคลื่อนมอเตอร์เหนี่ยวนำ	35
4.1    นำบท	35
4.2    คุณสมบัติของชุดควบคุม	35
4.2.1    สัญญาณอินพุตควบคุม	35
4.2.2    การเข้าถึงพารามิเตอร์	38
4.3    ลักษณะทางฮาร์ดแวร์ของชุดควบคุม	41

เอกสารนี้เป็นเอกสารที่สงวนไว้สำหรับการใช้งานเพื่อการศึกษาเท่านั้น ไม่อนุญาตให้นำไปใช้ประโยชน์ด้านการค้า

ไม่ว่ากรณีใดๆทั้งสิ้น อีกทั้งห้ามมิให้ตัดแปลงเนื้อหา และต้องอ้างอิงถึงเจ้าของเอกสารทุกครั้งที่มีการนำไปใช้

## สารบัญ(ต่อ)

หน้า

4.4 ลักษณะทางซอฟต์แวร์ของชุดควบคุม 49

4.5 ผลการวิจัย 59

บทที่ 5 บทสรุป 67

เอกสารอ้างอิง 69

ภาคผนวก ก ส่วนโปรแกรมสำหรับชุดควบคุมระบบขับเคลื่อนมอเตอร์เหนี่ยวนำ 71

ภาคผนวก ข บทความที่ได้รับการตีพิมพ์ในวารสารวิศวกรรมสาร 125



## สารบัญตาราง

	หน้า
ตารางที่ 2.1 การแทนชุดแรงดันเฟสในรูปเวกเตอร์แรงดัน	8
ตารางที่ 2.2 การเลือกเวกเตอร์แรงดัน เมื่อค่ามุมเฟส $\theta$ อยู่ในช่วงมุมต่างๆ	17
ตารางที่ 4.1 พิสัยและความละเอียดในการปรับตั้งค่าพารามิเตอร์	40



## สารบัญรูป

	หน้า	
รูปที่ 1.1	บล็อกไดอะแกรมของระบบขับเคลื่อนมอเตอร์เหนี่ยวนำ	4
รูปที่ 2.1	รูปแบบพื้นฐานของวงจรอินเวอร์เตอร์ชนิดแหล่งจ่ายแรงดัน (VSI)	6
รูปที่ 2.2	หลักการสร้างรูปคลื่นพิตับบลิวเอ็มโดยวิธีการ SHM	7
รูปที่ 2.3	แสดงแรงดันเฟสสูงสุดเมื่อสร้างรูปคลื่นพิตับบลิวเอ็มโดยวิธีการ SHM	7
รูปที่ 2.4	เวกเตอร์แรงดันที่สร้างจากวงจรอินเวอร์เตอร์ชนิดแหล่งจ่ายแรงดัน	9
รูปที่ 2.5	ลักษณะของโลกซ์ของ $\lambda^*$ และ $\lambda$ และความสัมพันธ์ระหว่างแรงดันกับเวกเตอร์แรงดันในหนึ่งในหนึ่งช่วงคาบการลุ่ม $\Delta T$	12
รูปที่ 2.6	โลกซ์ของ $\lambda^*$ และ $\lambda$ ที่ครบรอบสมบูรณ์ที่ $\Delta\theta = 15$ องศา	16
รูปที่ 2.7	ความสัมพันธ์ระหว่างค่าของ $K_u$ , $K_v$ และ $K_w$ กับมุมเฟส $\theta_u$	20
รูปที่ 3.1	สัญลักษณ์พื้นฐานของไบมอสสวิตช์	24
รูปที่ 3.2	แสดง RBSOA ของทรานซิสเตอร์กำลังและไบมอสสวิตช์	24
รูปที่ 3.3	ลักษณะไบมอสสวิตช์ที่เพิ่มวงจรต้านการอิมิตัว	25
รูปที่ 3.4	ปรากฏการณ์กระแสไหลกลับทึคในไบมอสสวิตช์	25
รูปที่ 3.5	กึ่งหนึ่งของวงจรไบมอสอินเวอร์เตอร์สามเฟส	26
รูปที่ 3.6	แสดงเส้นทางการไหลของกระแสไหลคและเปรียบเทียบกับตำแหน่งสวิตช์เทียบเท่า	28
รูปที่ 3.7	วงจรสมบูรณ์ของไบมอสอินเวอร์เตอร์สามเฟส	29
รูปที่ 3.8	วงจรตรวจจ้งกระแสและแรงดันผิดปกติ	31
รูปที่ 3.9	วงจรขั้วส่วนมอสเฟ้ตกำลังในไบมอสสวิตช์	33
รูปที่ 3.10	แสดงรูปคลื่นที่จุดต่างๆในวงจรขั้ว	34
รูปที่ 4.1	ไดอะแกรมโครงสร้างของชุดควบคุมระบบขับเคลื่อนมอเตอร์เหนี่ยวนำ	36
รูปที่ 4.2	ลักษณะการปรับตั้งค่าพารามิเตอร์ต่างๆ	37
รูปที่ 4.3	รายละเอียดทางฮาร์ดแวร์ของชุดควบคุม	42-47
รูปที่ 4.4	แสดงลักษณะสัญญาณที่จุดต่างๆในส่วนวงจรกำเนิดสัญญาณพิตับบลิวเอ็ม	48
รูปที่ 4.5	โฟลว์ชาร์ตของส่วนโปรแกรมหลัก	50

## สารบัญรูป(ต่อ)

	หน้า
รูปที่ 4.6 โฟลว์ชาร์ตของส่วนโปรแกรมอินเทอร์รัทที่กระตุ้นด้วยตัวตั้ง เวลา	51-52
รูปที่ 4.7 แสดงการเข้าทำโปรแกรมของซีพียู	53
รูปที่ 4.8 ไตอยแกรมแสดงความสัมพันธ์ของลัทธิในหลายๆในส่วนโปรแกรมอินเทอร์รัท	54
รูปที่ 4.9 โฟลว์ชาร์ตของลัทธิ BOOST_SUB	56
รูปที่ 4.10 โฟลว์ชาร์ตของลัทธิ PWM_SUB	57
รูปที่ 4.11 โฟลว์ชาร์ตของลัทธิ DSCAN_SUB	58
รูปที่ 4.12 ภาพถ่ายชุดต้นแบบของระบบขับเคลื่อนมอเตอร์เหนี่ยวนำ	60
รูปที่ 4.13 ภาพถ่ายชุดทดสอบระบบขับเคลื่อน	60
รูปที่ 4.14 แสดงรูปคลื่นต่างๆ ที่ความถี่ 33 Hz (แนวระดับ:5 ms/Div)	61
รูปที่ 4.15 แสดงรูปคลื่นต่างๆ ที่ความถี่ 50 Hz (แนวระดับ:5 ms/Div)	62
รูปที่ 4.16 แสดงรูปคลื่นต่างๆ ที่ความถี่ 70 Hz (แนวระดับ:5 ms/Div)	63
รูปที่ 4.17 แสดงผลการเสริมแรงดัน ที่ความถี่ 4 Hz (แนวระดับ:20 ms/Div)	64
รูปที่ 4.18 แสดงผลการเสริมแรงดัน ที่ความถี่ 10 Hz (แนวระดับ:20 ms/Div)	65-66
รูปที่ 4.19 กราฟแสดงกำลังเอาต์พุตและประสิทธิภาพเทียบกับกำลังอินพุต	66

## บทที่ 1

## บทนำ

มอเตอร์ไฟฟ้า เป็นส่วนที่สำคัญส่วนหนึ่งสำหรับการสร้างงานทางอุตสาหกรรมมาเป็นเวลานานแล้ว และงานทางอุตสาหกรรมเป็นจำนวนมากต้องการ การขับเคลื่อนมอเตอร์ในลักษณะที่ปรับความเร็วรอบได้ ดังนั้น การวิจัยและพัฒนาระบบการขับเคลื่อนมอเตอร์ไฟฟ้าเพื่อปรับความเร็วรอบ จึงมีมาอย่างต่อเนื่อง ในอดีตที่ผ่านมาจนถึงปัจจุบัน ระบบขับเคลื่อนมอเตอร์ไฟฟ้ากระแสตรงได้รับความนิยมอย่างสูง เนื่องจากสามารถควบคุมความเร็วรอบได้ง่าย ความแม่นยำสูงและใช้อุปกรณ์ประกอบน้อยส่วน อย่างไรก็ตาม ระบบขับเคลื่อนมอเตอร์กระแสตรง ก็มีข้อเสียเช่นกัน โดยเฉพาะในส่วนของมอเตอร์กระแสตรง กล่าวคือ มีโครงสร้างทางกลที่ซับซ้อน ทำให้มอเตอร์ชนิดนี้มีราคาแพง บำรุงรักษาได้ยาก และมีอัตราส่วนกำลังต่อน้ำหนักต่ำ นอกจากนี้ อุปกรณ์แปรงถ่าน (Brush) และคอมมิวเตเตอร์ (Commutator) ต้องการ การบำรุงรักษาอย่างสม่ำเสมอ ทำให้ความน่าเชื่อถือต่ำและไม่เหมาะสมกับงานที่ใช้ความเร็วรอบสูงๆ หรืองานในบริเวณที่เสี่ยงอันตราย และเมื่อนำมาเปรียบเทียบกับมอเตอร์ไฟฟ้ากระแสสลับ โดยเฉพาะมอเตอร์เหนี่ยวนำชนิดกรงกระรอก (Squirrel-cage Induction Motor) พบว่า มอเตอร์เหนี่ยวนำมีคุณสมบัติที่ดีกว่ามอเตอร์กระแสตรงหลายประการด้วยกัน กล่าวคือมีโครงสร้างทางกลที่ไม่ซับซ้อนมากนัก ทำให้มอเตอร์ชนิดนี้มีราคาถูกกว่า แข็งแรงทนทานมากกว่า มีอัตราส่วนกำลังต่อน้ำหนักสูงกว่าและไม่ต้องการการบำรุงรักษา ในอดีตที่ผ่านมา มอเตอร์ชนิดนี้นิยมนำไปใช้งานในลักษณะความเร็วรอบคงที่ เนื่องจากการที่จะปรับความเร็วรอบมอเตอร์ชนิดนี้ให้ได้ต้องมีประสิทธิภาพนั้น ต้องอาศัยวิธีการที่ค่อนข้างยุ่งยากซับซ้อนและต้องใช้อุปกรณ์มากขึ้น จึงทำให้ระบบขับเคลื่อนมีราคาแพง อย่างไรก็ตาม เทคโนโลยีการขับเคลื่อนเพื่อปรับความเร็วรอบมอเตอร์เหนี่ยวนำได้ถูกวิจัยและพัฒนาอย่างจริงจังในช่วงสามทศวรรษที่ผ่านมา ความก้าวหน้าทางเทคโนโลยีทางด้านไมโครอิเล็กทรอนิกส์ และอิเล็กทรอนิกส์กำลัง เป็นส่วนสำคัญที่ทำให้สมรรถนะและประสิทธิภาพของระบบขับเคลื่อนสูงขึ้นแต่ขนาดและราคาลดลงอย่างมาก ความนิยมในการใช้งานมอเตอร์กระแสสลับเพื่อปรับความเร็วรอบจึงเพิ่มขึ้นอย่างรวดเร็ว และมีแนวโน้มที่เห็นได้ชัดเจนว่า มอเตอร์กระแสสลับโดยเฉพาะมอเตอร์เหนี่ยวนำชนิดกรงกระรอก จะเป็นต้นกำลังที่สำคัญแทน

เอกสารนี้เป็นเอกสารที่สงวนไว้สำหรับการใช้งานเพื่อการศึกษาเท่านั้น ไม่อนุญาตให้นำไปใช้ประโยชน์ด้านการค้า

มอเตอร์กระแสตรง ในอนาคตอันใกล้ [1]

ไม่ว่ากรณีใดๆทั้งสิ้น อีกทั้งห้ามมิให้ตัดแปลงเนื้อหา และต้องอ้างอิงถึงเจ้าของเอกสารทุกครั้งที่มีการนำไปใช้

วิธีการปรับความเร็วรอบมอเตอร์เหนี่ยวนำให้ได้อย่างมีประสิทธิภาพและเป็นที่ยอมรับคือ การปรับเปลี่ยนความถี่พร้อมกับการปรับเปลี่ยนแรงดันที่จะป้อนให้กับมอเตอร์ ด้วยอินเวอร์เตอร์ชนิด พัลส์บลิวเอม (PWM inverter) วิธีการสร้างรูปคลื่นพัลส์บลิวเอมแบบเก่า แต่ยังคงมีการใช้กันอยู่ในปัจจุบัน คือ วิธีการมอดูเลตด้วยอาร์โมนิคย่อย หรือ SHM (Subharmonic modulation method) ซึ่งเป็นวิธีการสร้างรูปคลื่นโดยการนำคลื่นไซน์อ้างอิง มาทำการเปรียบเทียบกับ คลื่นพาร์รูปสามเหลี่ยม วิธีการนี้สามารถข่ม (subpressed) แอมพลิจูดของอาร์โมนิคส์อันดับต่ำๆได้ดี และสามารถสร้างวงจรได้ง่ายโดยวิธีการทางอนาลอก แต่อย่างไรก็ดี วิธีนี้ให้ค่าสูงสุดของแรงดันเอาท์พุทค่อนข้างต่ำ และมีจำนวนการสวิตช์ในอุปกรณ์สวิตช์กำลังค่อนข้างสูง นอกจากนี้ การสร้างวงจรทางอนาลอก ทำให้ต้องใช้อุปกรณ์จำนวนมากขึ้น มีผลให้ขนาดและราคาสูง แต่ความน่าเชื่อถือต่ำ และยังทำให้สัญญาณรบกวนเข้าสู่ระบบได้ง่าย

เนื่องจากความเจริญก้าวหน้าอย่างรวดเร็วทางเทคโนโลยีไมโครอิเล็กทรอนิกส์ โดยเฉพาะทางด้านไมโครโพรเซสเซอร์ ทำให้ระบบควบคุมมอเตอร์เหนี่ยวนำเริ่มมีการเปลี่ยนแปลงจากการใช้เทคนิคการสร้างวงจรด้วยวิธีการทางอนาลอก มาสร้างด้วยวิธีการทางดิจิทัล โดยเฉพาะวงจรทางดิจิทัลที่ใช้ไมโครโพรเซสเซอร์เป็นฐานนั้น มีจุดเด่นหลายประการ ที่เหนือกว่าวงจรทางอนาลอก กล่าวคือ...

- การปรับปรุงเปลี่ยนแปลงการทำงานสามารถทำได้ง่าย และคล่องตัว โดยการแก้ไขในส่วนที่เป็นซอฟต์แวร์
- สามารถลดจำนวนอุปกรณ์ในวงจรได้อย่างมาก
- สัญญาณรบกวนเข้าสู่ระบบได้ยากกว่าวงจรอนาลอก
- อัลกอริทึมที่สลับซับซ้อน โดยเฉพาะในกรณีที่ต้องใช้การคำนวณหลายๆ รวมถึงการเปลี่ยนแปลงค่าพารามิเตอร์ต่าง ๆ สามารถทำได้ง่ายกว่าโดยอาศัย ซอฟต์แวร์
- สามารถสร้างระบบตรวจสอบการทำงาน (Diagnostic System) ได้

ด้วยเหตุผลต่างๆที่กล่าวมานี้ วิทยานิพนธ์ฉบับนี้ จึงได้ทำการศึกษาวิจัย และทดลองสร้าง ระบบขับเคลื่อนมอเตอร์เหนี่ยวนำ โดยมีวัตถุประสงค์ดังนี้

- (1) ศึกษาหลักการ และออกแบบวิธีการสร้างรูปคลื่นพัลส์บลิวเอม โดยการควบคุมพัลส์แม่เหล็ก ซึ่งเหมาะสมที่จะสร้างสัญญาณด้วยวิธีการทางดิจิทัล และสามารถแก้ไขจุดบก-

เอกสารนี้เป็นเอกสารที่สงวนไว้สำหรับกรใช้งานเพื่อการศึกษาเท่านั้น ไม่อนุญาตให้นำไปใช้ประโยชน์ด้านการค้า  
 มรองที่สำคัญ ที่เกิดขึ้นในวิธีการ SHM ได้  
 ไม่ว่ากรณีใดๆทั้งสิ้น อีกทั้งห้ามมีเหตุดัดแปลงเนื้อหา และต้องอ้างอิงถึงเจ้าของเอกสารทุกครั้งที่มีการนำไปใช้

- (2) ศึกษาคุณสมบัติของไมมอสสวิทช์แบบคาสโคด วิธีการขับไมมอสสวิทช์ และทดลองสร้าง วงจรอินเวอร์เตอร์โดยนำไมมอสสวิทช์มาใช้เป็นสวิทช์กำลัง
- (3) ศึกษา ออกแบบ และทดลองสร้างชุดควบคุมระบบขับเคลื่อนเพื่อการปรับความเร็วรอบ มอเตอร์เหนี่ยวนำชนิดกรงกระรอกด้วยวิธีการทางดิจิทัลโดยใช้ไมโครโปรเซสเซอร์ เป็นฐาน

ลักษณะของระบบขับเคลื่อนมอเตอร์เหนี่ยวนำที่ทำการวิจัย และทดลองสร้างขึ้น ได้กำหนดขอบเขต

เอาไว้ดังนี้

- แรงดันอินพุต : 220 Vac 1 เฟส 2 สาย
- แรงดันเอาต์พุต : ประมาณ 0-220 Vac (line-line) 3 เฟส
- พิสัยความถี่เอาต์พุต : ตั้งแต่ 0.5-120 Hz โดยมีความละเอียดในการตั้งค่า ขึ้นละ 0.5 Hz
- ลักษณะแรงดันเอาต์พุต : พิตับบลิว เอ็มคลีนไซน์ชนิดอะซิงโครนัสสร้างด้วยวิธีการ ควบคุมฟลักซ์แม่เหล็ก : ใช้ความถี่สุ่ม (Sampling frequency) ในการสร้าง แรงดันพิตับบลิวเอ็ม 3.6 kHz ซึ่งทำให้เกิดความถี่ การสวิทช์ในแต่ละอุปกรณ์สวิทช์กำลัง 2.4 kHz
- อิเล็กทรอนิกส์กำลัง : ใช้ไมมอสสวิทช์แบบคาสโคด ทำหน้าที่เป็นสวิทช์กำลัง สร้างเป็นวงจรบริดจ์อินเวอร์เตอร์ชนิดสามเฟส เพื่อ ขับเคลื่อนมอเตอร์เหนี่ยวนำ
- การควบคุมระบบและสร้างรูปคลื่น : โดยชุดควบคุมระบบขับเคลื่อนมอเตอร์เหนี่ยวนำ ซึ่ง ใช้ไมโครโปรเซสเซอร์ อินเทล 8031 เป็นฐาน
- ชุดแสดงผล : ใช้สำหรับแสดงค่าความถี่เอาต์พุต แสดงหมายเลขและ ค่าพารามิเตอร์ต่างๆ และใช้แสดงสถานะของระบบขับเคลื่อน

เอกสารนี้เป็นเอกสารที่สงวนไว้สำหรับการใช้งานเพื่อการศึกษาเท่านั้น ไม่อนุญาตให้นำไปใช้ประโยชน์ด้านการค้า ไม่ว่ากรณีใดๆทั้งสิ้น อีกทั้งห้ามมิให้ดัดแปลงเนื้อหา และต้องอ้างอิงถึงเจ้าของเอกสารทุกครั้งที่มีการนำไปใช้

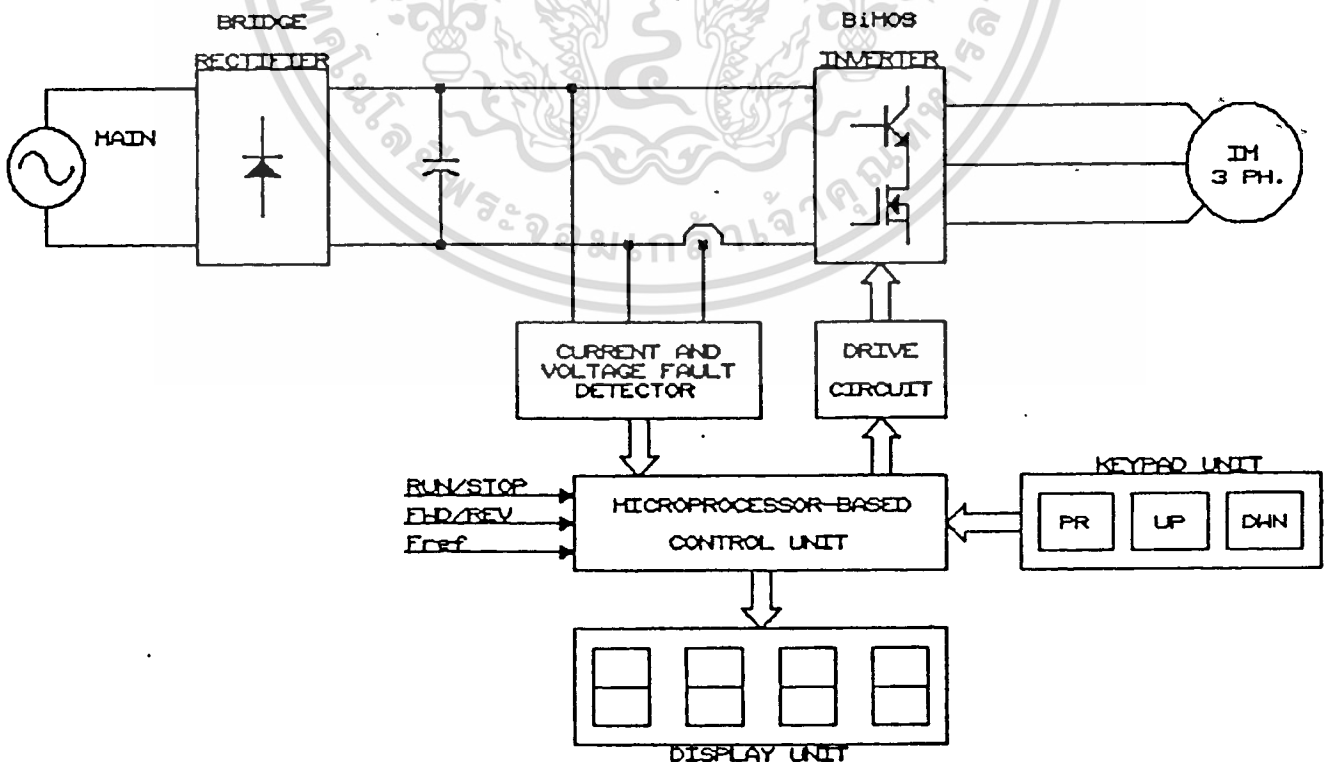
- ชุดปุ่มกด

: สำหรับการเลือกตำแหน่ง และตั้งค่าพารามิเตอร์ต่างๆ และยังใช้ในการจัดเก็บพารามิเตอร์ที่ตั้งค่าแล้ว ลงในหน่วยความจำชนิด NVSRAM

- การป้องกันระบบ

: ตรวจสอบความผิดปกติ ของกระแสและแรงดันเกินที่บัสไฟตรง เพื่อทำการหยุดนำกระแสสวิทซ์กำลังทั้งหมดในชุดอินเวอร์เตอร์ เมื่อพบความผิดปกติ

โครงสร้างของระบบขับเคลื่อนมอเตอร์เหนี่ยวนำ มีลักษณะดังบล็อกไดอะแกรมในรูปที่ 1.1 โดย มีลักษณะการทำงานทั่วไปดังนี้ ชุดบริดจ์เรกติไฟเออร์ (Bridge rectifier unit) จะแปลงไฟสลับจากแหล่งจ่ายไฟหลัก ให้เป็นแรงดันไฟตรง แล้วใช้ตัวเก็บประจุไฟตรง (DC link capacitor) ทำการกรองแรงดันไฟตรงให้ค่อนข้างราบเรียบและคงที่ เพื่อจ่ายให้กับ ชุดไบมอสอินเวอร์เตอร์ (BIMOS inverter unit) สำหรับการแปลงแรงดันไฟตรงให้เป็นไฟสลับชนิดสามเฟสสามสาย ที่สามารถปรับเปลี่ยนค่าแรงดันและความถี่ได้ แรงดันนี้มีลักษณะเป็นรูปคลื่นพัลส์บวลบวลบวลบวลบวลบวลบว ที่มีควมถี่มูลฐานเป็นความถี่ที่ต้องการป้อนให้กับมอเตอร์เหนี่ยวนำ



เอกสารนี้เป็นเอกสารที่ส่วนไว้สำหรับการใช้งานเพื่อการศึกษาเท่านั้น ไม่อนุญาตให้แก้ไขประโยชน์ด้านการค้า รูปที่ 1.1 บล็อกไดอะแกรมของระบบขับเคลื่อนมอเตอร์เหนี่ยวนำ ไม่ว่าจะกรณีใดๆทั้งสิ้น อีกทั้งห้ามมิให้ตัดแปลงเนื้อหา และต้องอ้างอิงถึงเจ้าของเอกสารทุกครั้งที่มีการนำไปใช้

ชุดควบคุมซึ่งสร้างขึ้นบนฐานไมโครโปรเซสเซอร์ เป็นส่วนที่ควบคุมการทำงานต่างๆของระบบโดยทำการประมวลผลสัญญาณคำสั่งและค่าพารามิเตอร์ต่างๆ แล้วทำการสร้างสัญญาณพีดับบลิวเอ็มที่เหมาะสมไปควบคุมชุดอินเวอร์เตอร์ โดยสัญญาณควบคุมจะถูกส่งผ่านทางวงจรรีบ (Drive circuit) ซึ่งทำหน้าที่ขยายกำลังให้เหมาะสมกับสวิทช์กำลังที่ต้องการขับ รวมถึงการแยกจุดอ้างอิงทางไฟฟ้า (isolated) ของชุดกำลังและชุดควบคุมออกจากกัน ค่าพารามิเตอร์ต่างๆสามารถป้อนเข้าสู่ชุดควบคุมด้วย ชุดปุ่มกด (Keypad unit) ชุดแสดงผล (Display unit) ซึ่งใช้สำหรับแสดงสถานะของระบบและค่าพารามิเตอร์ต่างๆถูกควบคุมการทำงานด้วยชุดควบคุมเช่นกัน

การป้องกันความเสียหายในระบบขับเคลื่อน ให้การตรวจจับความผิดปกติของกระแสและแรงดันที่บัลไฟตรง ด้วยตัวตรวจจับกระแสและแรงดันผิดปกติ (current and voltage fault detector) แล้วส่งผลการตรวจสอบไปยังชุดควบคุม หากมีเหตุผิดปกติเกิดขึ้น ชุดควบคุมจะหยุดการทำงานของสวิทช์กำลังทั้งหมดในชุดอินเวอร์เตอร์โดยทันที

สำหรับรายละเอียดต่างๆของวิทยานิพนธ์ฉบับนี้ มีเนื้อหาแยกเป็นบทๆดังนี้

บทที่ 2 กล่าวถึงหลักการสร้างรูปคลื่นพีดับบลิวเอ็ม โดยการควบคุมฟลักซ์แม่เหล็ก รวมทั้งลักษณะและคุณสมบัติต่างๆของหลักการนี้

บทที่ 3 กล่าวถึงคุณลักษณะต่างๆ ของไมมอสสวิทช์ชนิดคาสโคด การประยุกต์ใช้ไมมอสสวิทช์ในวงจรรีบอินเวอร์เตอร์ การตรวจจับกระแสและแรงดันผิดปกติในชุดอินเวอร์เตอร์ และได้กล่าวถึงวิธีการขับ รวมทั้งวงจรรีบไมมอสสวิทช์

บทที่ 4 กล่าวถึงคุณสมบัติต่างๆของชุดควบคุมระบบขับเคลื่อนมอเตอร์เหนี่ยวนำ ที่ได้ทำการออกแบบและสร้างขึ้น และกล่าวถึงรายละเอียดต่างๆ ของชุดควบคุม ทั้งในส่วนของฮาร์ดแวร์และซอฟต์แวร์ รวมทั้งกล่าวถึง ผลการวิจัยต่างๆของระบบขับเคลื่อนที่ได้สร้างขึ้น

บทที่ 5 เป็นการสรุปงานวิจัยของวิทยานิพนธ์นี้ทั้งหมด

ภาคผนวก แสดงรายละเอียด ส่วนที่เป็นโปรแกรมทั้งหมด ซึ่งเป็นภาษาแอสเซมบลีสำหรับไมโครโปรเซสเซอร์ ในตระกูล MCS-51 ที่ใช้ในชุดควบคุมของระบบขับเคลื่อนมอเตอร์เหนี่ยวนำ และผลงานวิจัยที่เกี่ยวข้องกับงานวิทยานิพนธ์นี้ ซึ่งได้รับการตีพิมพ์ลงในวารสาร วิศวกรรมสาร เล่มที่ 6 ปีที่ 46

มิถุนายน 2536 ออกสารที่สงวนไว้สำหรับการใช้งานเพื่อการศึกษาเท่านั้น ไม่อนุญาตให้นำไปใช้ประโยชน์ด้านการค้า

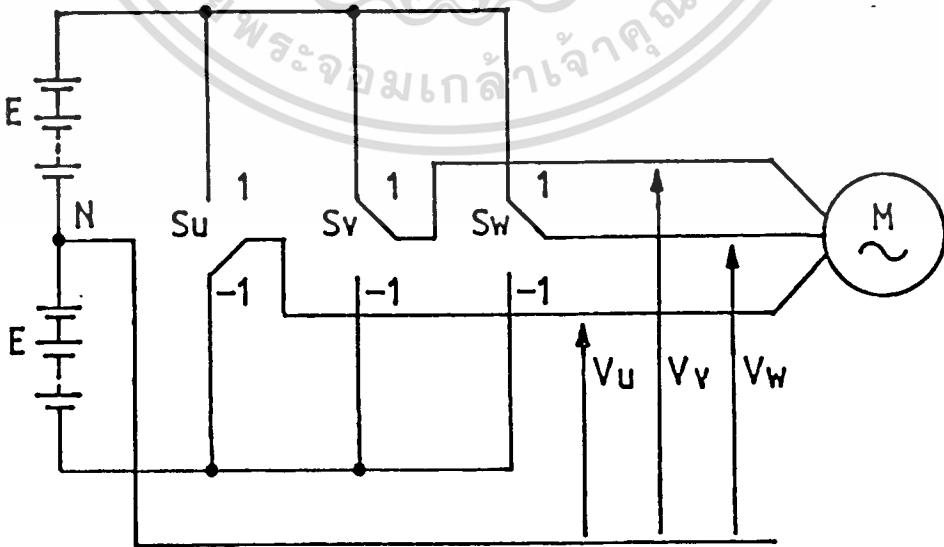
ไม่ว่ากรณีใดๆทั้งสิ้น อีกทั้งห้ามมิให้ตัดแปลงเนื้อหา และต้องอ้างอิงถึงเจ้าของเอกสารทุกครั้งที่มีการนำไปใช้

บทที่ 2

หลักการสร้างรูปคลื่นพิตับบลิวเอ็มโดยการควบคุมฟลักซ์แม่เหล็ก

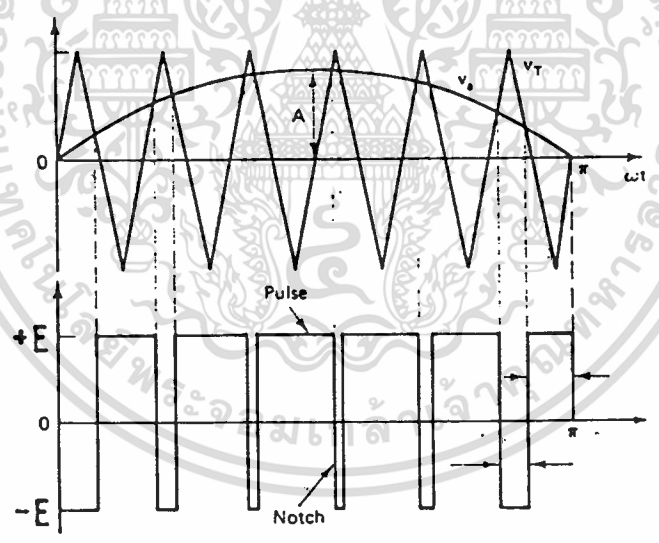
2.1 นวัตกรรม

แรงดันรูปคลื่นพิตับบลิวเอมนั้นสามารถสร้างได้จากวงจรอินเวอร์เตอร์ชนิดแหล่งจ่ายแรงดัน (Voltage source inverter; VSI) ซึ่งมีลักษณะพื้นฐานดังในรูปที่ 2.1 วิธีการ SHM (Subharmonic modulation)[15] เป็นวิธีการสร้างรูปคลื่นพิตับบลิวเอมที่นำคลื่นไซน์อ้างอิงมาทำการเปรียบเทียบกับคลื่นพหุสามเหลี่ยมความถี่สูงดังแสดงในรูปที่ 2.2 ค่าแรงดันเฟสมูลฐานเทียบกับจุดอ้างอิง N และค่าความถี่ของแรงดันพิตับบลิวเอม ถูกควบคุมด้วยการปรับเปลี่ยนระดับแรงดัน และการปรับเปลี่ยนค่าความถี่ของคลื่นไซน์อ้างอิงตามลำดับ ค่าแรงดันยอดสูงสุดของแรงดันเฟสที่สามารถสร้างได้จากวิธีการนี้จะมีค่าเท่ากับ E ดังแสดงในรูปที่ 2.3

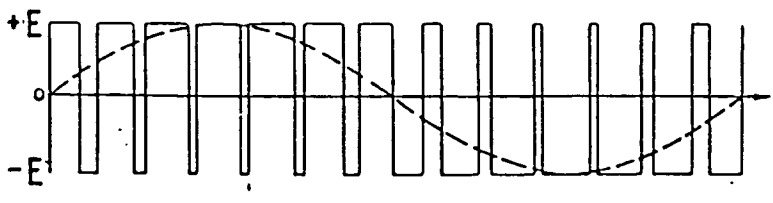


เอกสารนี้เป็นเอกสารที่สงวนไว้สำหรับการใช้งานเพื่อการศึกษาเท่านั้น ไม่สามารถนำไปใช้ประโยชน์ด้านการค้า  
 รูปที่ 2.1 รูปแบบพื้นฐานของวงจรอินเวอร์เตอร์ชนิดแหล่งจ่ายแรงดัน (VSI)  
 ไม่ว่าจะกรณีใดๆทั้งสิ้น อีกทั้งห้ามมิให้ตัดแปลงเนื้อหา และต้องอ้างอิงถึงเจ้าของเอกสารทุกครั้งที่มีการนำไปใช้

บทนี้ต้องการอธิบายถึงหลักการสร้างรูปคลื่นพีดับบลิวเอ็มโดยการควบคุมพัลซ์แม่เหล็ก ซึ่งเหมาะที่จะสร้างและควบคุมโดยใช้ไมโครโปรเซสเซอร์เป็นฐาน การแทนปริมาณตัวแปรต่างๆ ในระบบสามเฟสให้มาอยู่ในรูปของสเปซเวกเตอร์ ช่วยลดจำนวนตัวแปรลง ทำให้ง่ายต่อการคำนวณ และช่วยให้มองภาพตัวแปรต่าง ๆ ได้ชัดเจนขึ้น เมื่อเปรียบเทียบวิธีการนี้กับวิธีการ SHM (Subharmonic modulation) วิธีการนี้ให้ค่าสูงสุดของแรงดันเอาต์พุตได้สูงกว่า 15 เปอร์เซ็นต์ โดยประมาณ และที่ความถี่พีด (เทียบเท่ากับความถี่สลับในการสร้างโดยวิธีดิฟเฟอเรนเชียล) เท่ากัน จะทำให้เกิดจำนวนการสวิตช์ในอุปกรณ์สวิตช์กำลังเป็นอัตราส่วนสองในสาม ซึ่งส่งผลให้การสูญเสียขณะสวิตช์ลดลง เนื่องจากวิธีการนี้สร้างรูปคลื่นในโหมดชิ่งโครนัล จึงไม่เกิดการกระตุกของแรงบิด (Torque) ซึ่งมักจะเกิดขึ้นกับวิธีการสร้างรูปคลื่นพีด-บลิวเอ็มในโหมดชิ่งโครนัลในขณะเปลี่ยนเกียร์ (Gear changing) เมื่อมีการเร่งหรือหน่วงความเร็วมอเตอร์



รูปที่ 2.2 หลักการสร้างรูปคลื่นพีดับบลิวเอ็มโดยวิธีการ SHM



เอกสารนี้เป็นเอกสารที่สงวนไว้สำหรับการใช้งานเพื่อการศึกษาเท่านั้น ไม่อนุญาตให้นำไปใช้ประโยชน์ด้านการค้า  
 รูปที่ 2.3 แสดงแรงดันเฟสสูงสุดเมื่อสร้างรูปคลื่นพีดับบลิวเอ็มด้วยวิธีการ SHM  
 ไม่ว่าจะดูที่ใดๆ หงสน อีกทงห้ามมิให้ดัดแปลงเนื้อหา และต้งอ้างอิงถึงเจ้าของเอกสารทุกครั้งที่มีการนำไปใช้

## 2.2 การแทนปริมาณระบบสามเฟสในรูปของสเปซเวกเตอร์

สมมติให้มอเตอร์เหนี่ยวนำเป็นโหลดที่สมดุลย์ (balance load) แรงดันเฟส  $v_u$ ,  $v_v$ , และ  $v_w$  หนะใด ๆ ที่ป้อนให้กับมอเตอร์ สามารถแทนในรูปของเวกเตอร์แรงดัน (Voltage vector) โดยการนิยามได้ดังนี้ [4]

$$V_u = (2/3)[v_u + av_v + a^2v_w] \quad (2.1)$$

โดยที่

$$a = \exp(j2\pi/3)$$

ตารางที่ 2.1

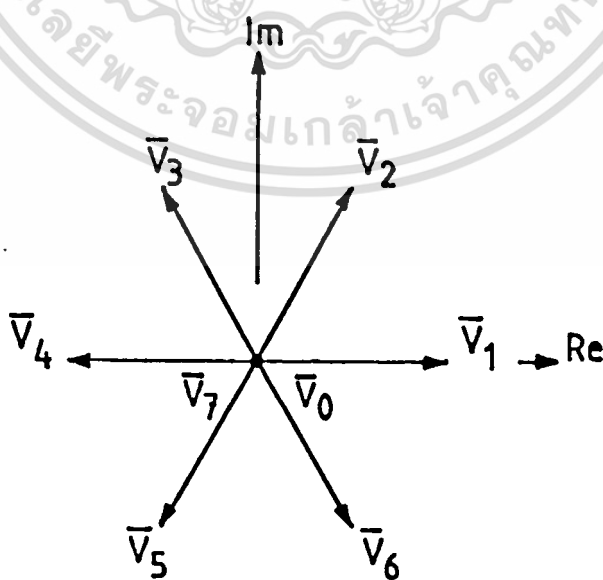
การแทนชุดแรงดันเฟสในรูปเวกเตอร์แรงดัน

ตำแหน่งสวิตช์ $s_u, s_v, s_w$	เวกเตอร์แรงดัน $V_u$ ที่นำมาใช้แทน
-1, -1, -1	$V_0$
1, -1, -1	$V_1$
1, 1, -1	$V_2$
-1, 1, -1	$V_3$
-1, 1, 1	$V_4$
-1, -1, 1	$V_5$
1, -1, 1	$V_6$
1, 1, 1	$V_7$

จากวงจรอินเวอร์เตอร์ในรูปที่ 2.1 พบว่า การจัดตำแหน่งสวิตช์  $s_u$ ,  $s_v$ , และ  $s_w$  สามารถป้อนแรงดันให้กับมอเตอร์ได้ 8 รูปแบบ ดังในตารางที่ 2.1 และสามารถแทนในรูปของเวกเตอร์แรงดันที่มีขนาดและทิศทางดังในรูปที่ 2.4 และสามารถเขียนในรูปของสมการได้ดังนี้

$$V_n = \begin{cases} (4E/3) \exp [j(n-1)\pi/3]; & n = 1, 2, \dots, 6 \\ 0 & ; n = 0, 7 \end{cases} \quad (2.2)$$

นั่นคือ  $V_n$  มีขนาดคงที่เท่ากับ  $4E/3$  เมื่อ  $n = 1, 2, \dots, 6$  และมีขนาดเป็นศูนย์ เมื่อ  $n = 0, 7$



โดยการละลายค่าความต้านทานภายในขดลวดสเตเตอร์ของมอเตอร์เหนี่ยวนำซึ่งมีค่าน้อยมาก[6] ดังนั้น เวกเตอร์ฟลักซ์แม่เหล็ก  $\lambda(t)$  ที่ขดลวดสเตเตอร์สามารถคำนวณหาได้จากเวกเตอร์แรงดันดังนี้

$$\lambda(t) = \int v_n(t) dt \quad (2.3)$$

แทนค่า  $v_n(t)$  ด้วย  $v_n$  ตามสมการ (2.2) ลงใน (2.3) จะได้

$$\lambda(t) = v_n \Delta t + \lambda_0 \quad (2.4)$$

สมการ (2.4) แสดงให้เห็นว่าโลกลักของ  $\lambda$  เคลื่อนที่ไปในทิศทางของ  $v_n$  ( $n = 1, 2, \dots, 6$ ) ด้วยอัตราเร็วคงที่เท่ากับ  $4E/3$  ภายในช่วงเวลา  $\Delta t$  ในกรณีที่  $n = 0, 7$  หมายความว่า  $\lambda$  หยุดการเคลื่อนที่ภายในช่วงเวลา  $\Delta t$

กำหนดให้  $v_u^*$ ,  $v_v^*$  และ  $v_w^*$  เป็นแรงดันเฟสคลื่นไซน์ความถี่มูลฐานของรูปคลื่นพีคดับลิเวอ์ที่สร้างจากวงจรอินเวอร์เตอร์ในรูปที่ 2.1 ซึ่งจากรูปนี้จะพบว่าค่าแรงดันยอด (Peak voltage) ของแรงดันระหว่างไลน์ (Line voltage) ที่เกิดจากแรงดันเฟสคลื่นไซน์เหล่านี้ มีค่าเท่ากับ  $2E$  ดังนั้นแรงดันเฟสเหล่านี้สามารถเขียนในรูปสมการได้ดังนี้

$$\left. \begin{aligned} v_u^*(t) &= (2/\sqrt{3})ME \cos(\omega t) \\ v_v^*(t) &= (2/\sqrt{3})ME \cos(\omega t - 2\pi/3) \\ v_w^*(t) &= (2/\sqrt{3})ME \cos(\omega t - 4\pi/3) \end{aligned} \right\} \quad (2.5)$$

โดยที่  $M$  คือค่าดัชนีการมอดูเลชั่น (Modulation index) ซึ่งมีค่าอยู่ระหว่าง  $0 < M < 1$  เมื่อแทนค่าแรงดันเฟสจาก (2.5) ลงใน (2.1) เพื่อให้อยู่ในรูปเวกเตอร์แรงดัน จะได้

เอกสารนี้เป็นเอกสารที่สงวนไว้สำหรับการใช้งานเพื่อการศึกษาค้นคว้าเท่านั้น ไม่สามารถนำไปใช้ประโยชน์ด้านการค้า  
ไม่ว่ากรณีใดๆทั้งสิ้น อีกทั้งห้ามมิให้คัดแปลงเนื้อหา และต้องอ้างอิงถึงเจ้าของเอกสารทุกครั้งที่มีการนำไปใช้

$$\mathbf{v}_n^*(t) = (2/\sqrt{3})ME \exp(j\omega t) \quad (2.6)$$

แทนค่า เวกเตอร์แรงดันจาก (2.6) ลงใน (2.3) จะได้

$$\lambda^*(t) = \int_0^t \mathbf{v}_n^*(t) dt = -j[(2/\sqrt{3})(ME/\omega)] \exp(j\omega t) \quad (2.7)$$

สมการ (2.7) นี้ แสดงให้เห็นว่า โลกัสนของฟลักซ์แม่เหล็ก  $\lambda^*$  ที่เกิดจากการป้อนแรงดันคลื่นไซน์จะมีลักษณะเป็นวงกลมที่หมุนในทิศทางทวนเข็มนาฬิกา มีรัศมีขนาด  $(2/\sqrt{3})(ME/\omega)$  และหมุนด้วยความเร็วเชิงมุม  $\omega$  และ  $\lambda^*$  นี้ถูกนำมาใช้เป็นฟลักซ์แม่เหล็กอ้างอิง (Reference magnetic flux) สำหรับการสร้างรูปคลื่นพีคดับบลิวเอ็ม ซึ่งจะได้อธิบายถึงในหัวข้อต่อไป

ในการสร้างรูปคลื่นพีคดับบลิวเอ็ม ตามวิธีการ SHM นั้น แรงดันเฟสความถี่มูลฐานที่เกิดขึ้นจะมีค่าต้นยอดสูงสุดเท่ากับ  $E$  ดังแสดงในรูปที่ 2.3 ในขณะที่วิธีการที่นำเสนอนี้ให้ค่ายอดสูงสุดเท่ากับ  $2E/\sqrt{3}$  เมื่อเปรียบเทียบกันแล้ว วิธีการนี้จะให้ค่าแรงดันสูงสุดได้สูงกว่าประมาณ 15 เปอร์เซ็นต์

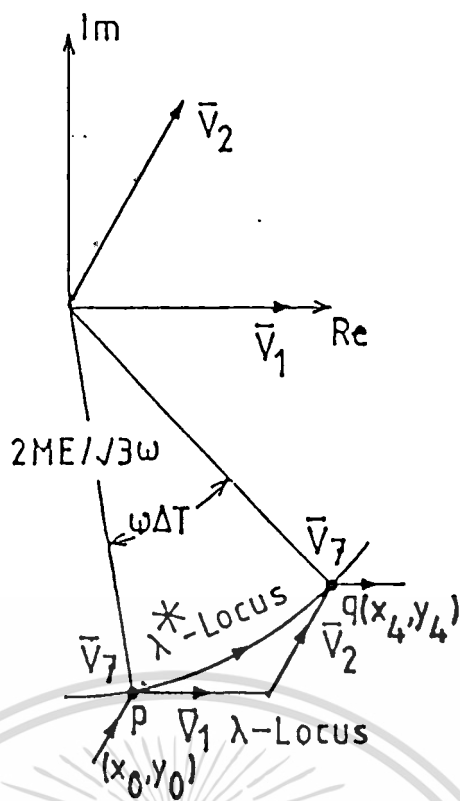
### 2.3 หลักการสร้างรูปคลื่นพีคดับบลิวเอ็ม

โดยการเลือกเวกเตอร์แรงดัน  $\mathbf{v}_n$  ( $n = 0, 1, \dots, 7$ ) และปรับความกว้างเวลาในการใช้เวกเตอร์นั้นอย่างเหมาะสมเพื่อสร้างและควบคุมโลกัส (Locus) ของฟลักซ์แม่เหล็ก  $\lambda$  ให้เคลื่อนไปตามโลกัสของฟลักซ์แม่เหล็กอ้างอิง  $\lambda^*$  อย่างแนบชิดที่สุด วิธีการนี้เรียกว่า วิธี QCLM (Quasi Circular Locus Method) [3] รายละเอียดของวิธีการนี้ สามารถอธิบายได้ดังนี้

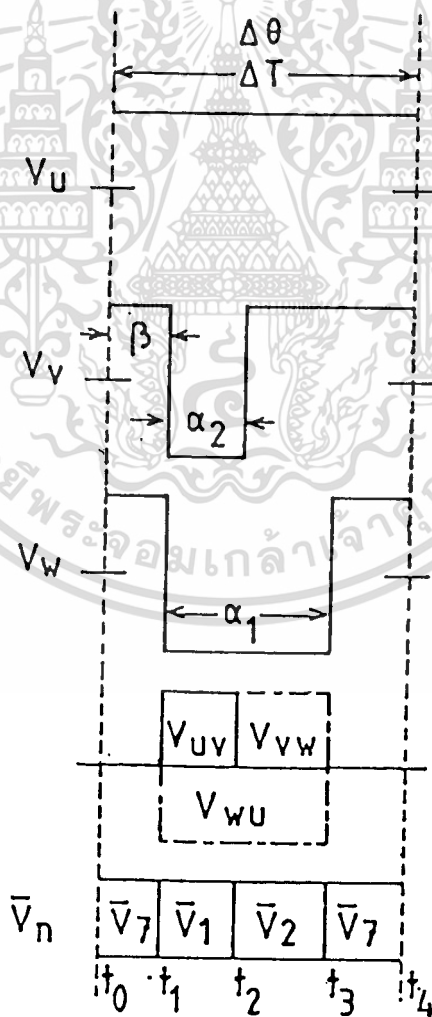
กำหนดให้  $\Delta T$  และ  $\Delta \theta$  เป็นคาบการสุ่ม (Sampling period) และมุมการสุ่ม (Sampling angle) ตามลำดับ โดย  $\Delta T$  นี้ เทียบได้กับคาบพาห์ (Carrier period) ในวิธีการ SHM เพื่อความสะดวกในการพิจารณา สมมติให้  $\Delta \theta$  แบ่งวงกลมโลกัสฟลักซ์อ้างอิง  $\lambda^*$  ออกเป็นจำนวนเต็ม  $6\pi$  เซ็กเตอร์พอดี (สมมติให้ทำงานในโหมดซิงโครนัส) เมื่อควบคุมโลกัสตามวิธีการ QCLM จะพบว่า โลกัส  $\lambda$  จะเกิดความสมมาตรขึ้นทุกๆช่วงคาบ  $\pi/3$  ดังนั้น นิยามการสร้างโลกัส  $\lambda$  เพียงในช่วงคาบ

$0 < \theta < \pi/3$  ก็เพียงพอ

ไม่ว่ากรณีใดๆทั้งสิ้น อีกทั้งห้ามมิให้ตัดแปลงเนื้อหา และต้องอ้างอิงถึงเจ้าของเอกสารทุกครั้งที่มีการนำไปใช้



(ก)



(ข)

รูปที่ 2.5 (ก) ลักษณะโลกซ์ของ  $\lambda^*$  และ  $\lambda$  ในหนึ่งช่วงคาบการลุ่ม  $\Delta T$

เอกสารนี้เป็นเอกสารที่สงวนไว้สำหรับการใช้งานเพื่อการศึกษาเท่านั้น ไม่อนุญาตให้นำไปใช้ประโยชน์ด้านการค้า  
 (ข) ความสัมพันธ์ระหว่างแรงดันกับเวกเตอร์แรงดันในหนึ่งช่วงคาบการลุ่ม  $\Delta T$   
 ไม่ว่าจะกรณีใดๆทั้งสิ้น อีกทั้งห้ามมิให้ตัดแปลงเนื้อหา และต้องอ้างอิงถึงเจ้าของเอกสารทุกครั้งที่มีการนำไปใช้

รูปที่ 2.5 (ก) แสดงโลกซ์ของ  $\lambda^*$  และ  $\lambda$  ในหนึ่งช่วงมุมการลุ่ม  $\Delta\theta$  จากรูปสมมุติให้ขณะเวลา  $t = t_0$  (หรือ  $\theta = \theta_0$ ) ตำแหน่ง  $\lambda^*$  อยู่ที่  $p(x_0, y_0)$  โดยที่

$$\left. \begin{aligned} x_0 &= (2/\sqrt{3})(ME/\omega) \sin(\omega t_0) \\ y_0 &= -(2/\sqrt{3})(ME/\omega) \cos(\omega t_0) \end{aligned} \right\} \quad (2.8)$$

และที่เวลา  $t = t_0 + \Delta T$  (หรือ  $\theta = \theta_0 + \Delta\theta$ )  $\lambda^*$  เคลื่อนที่มาอยู่ในตำแหน่ง  $q(x_1, y_1)$  โดยที่

$$\left. \begin{aligned} x_1 &= (2/\sqrt{3})(ME/\omega) \sin(\omega(t+\Delta T)) \\ y_1 &= -(2/\sqrt{3})(ME/\omega) \cos(\omega(t+\Delta T)) \end{aligned} \right\} \quad (2.9)$$

$\lambda^*$  นี้ จะเคลื่อนที่ตามส่วนโค้ง  $p-q$  ด้วยความเร็วเชิงมุมคงที่  $\omega$

เพื่อให้  $\lambda$  เคลื่อนที่ตามส่วนโค้ง  $p-q$  อย่างแนบชิดที่สุด การเลือกเวกเตอร์แรงดัน  $V_1$  และปรับความกว้างของช่วงเวลา ต้องกระทำภายใต้เงื่อนไขต่อไปนี้

- 1) ตำแหน่งของ  $\lambda$  และ  $\lambda^*$  อยู่ที่เดียวกันที่เวลาเริ่มต้น ( $t = t_0$ ) และเวลาสิ้นสุด ( $t = t_1 = t_0 + \Delta T$ ) ของแต่ละช่วงมุม
- 2) ในแต่ละช่วงมุม  $\Delta\theta$  สามารถเลือกเวกเตอร์แรงดันที่ขนาดไม่เป็นศูนย์ได้ 2 ชนิด จากที่มีอยู่ 6 ชนิด และเลือกใช้เวกเตอร์ศูนย์ได้ 1 ชนิด จาก 2 ชนิด
- 3) เวกเตอร์ศูนย์ ถูกนำมาใช้เฉพาะในช่วงเริ่มต้น และสิ้นสุดของแต่ละช่วงมุม  $\Delta\theta$

จากรูปที่ 2.5 (ก) เห็นได้ว่า  $V_1$  และ  $V_2$  เป็นเวกเตอร์แรงดันที่เหมาะสมสำหรับช่วงมุมนี้

เพราะทำให้เส้นทางของ  $\lambda$  เข้าใกล้เส้นทางของ  $\lambda^*$  มากที่สุด  $\lambda^*$  เคลื่อนที่ไปตามส่วนโค้ง  $p-q$  ไม่วากกรณีใดๆทั้งสิ้น อีกทั้งห้ามมีเหตุเปลี่ยนแปลงเนื้อหา และต้องอ้างอิงถึงเจ้าของเอกสารทุกประการ

ด้วยอัตราเร็ว  $(2/\sqrt{3})ME$  ในขณะที่  $\lambda$  เคลื่อนที่ด้วยอัตราที่เร็วกว่า คือ  $|V_{\perp}| = (4/3)E$ ;  $n = 1, 2, 3, \dots, 6$  เพื่อให้การใช้เวลาในการเคลื่อนที่ของ  $\lambda^*$  และ  $\lambda$  เท่ากับ  $\Delta T$  เท่ากัน (ตามเงื่อนไข 1)) จึงจำเป็นต้องเลือกใช้เวกเตอร์ที่ขนาดเป็นศูนย์สำหรับ  $\lambda$  ในช่วงเริ่มต้นและช่วงสิ้นสุดของแต่ละช่วงมุม

คาบการลู่  $\Delta T$  ถูกแบ่งย่อยออกเป็น 4 ช่วงย่อย สำหรับเวกเตอร์แรงดัน 4 เวกเตอร์ ดังแสดงในรูปที่ 2.5 (ข) และโลกลูก  $\lambda$  ของแต่ละช่วงย่อยสามารถเขียนเป็นรูปสมการดังนี้

ช่วงย่อยที่ 1 :  $t_0 \leq t \leq t_1$ , เลือก  $V_7$

$$\lambda(t) = \lambda^*(t_0)$$

ช่วงย่อยที่ 2 :  $t_1 \leq t \leq t_2$ , เลือก  $V_1$

$$\lambda(t) = \lambda^*(t_0) + (4/3)E(t-t_1)$$

ช่วงย่อยที่ 3 :  $t_2 \leq t \leq t_3$ , เลือก  $V_2$

$$\lambda(t) = \lambda^*(t_0) + (4/3)E(t-t_1) + (2/3+j2/\sqrt{3})E(t-t_2)$$

ช่วงย่อยที่ 4 :  $t_3 \leq t \leq t_4$ , เลือก  $V_7$

$$\lambda(t) = \lambda(t_3) = \lambda^*(t_4) = \lambda^*(t+\Delta T)$$

นิยามความกว้างพัลส์สำหรับ  $V_1$  และ  $V_2$  ดังนี้  $\alpha_2 = t_2 - t_1$  และ  $\alpha_1 - \alpha_2 = t_3 - t_2$  ตามลำดับ และตำแหน่งพัลส์  $\beta = t_1 - t_0$  (รูปที่ 2.5 (ข))  
ไม่ว่ากรณีใดๆทั้งสิ้น อีกทั้งห้ามมิให้ตัดแปลงเนื้อหา และต้องอ้างอิงถึงเจ้าของเอกสารทุกครั้งที่มีการนำไปใช้

โดยการเชื่อมสมการของช่วงย่อยที่ 3 เข้ากับช่วงย่อยที่ 4 และจัดรูปสมการใหม่ จะได้

$$\lambda''(t_0 + \Delta T) - \lambda''(t_0) = [(2/3)(\alpha_1 + \alpha_2) + j(2/\sqrt{3})(\alpha_1 - \alpha_2)]E \quad (2.10)$$

จากสมการ (2.8) และ (2.9) จะได้

$$\begin{aligned} \lambda''(t_0 + \Delta T) - \lambda''(t_0) &= (2/\sqrt{3})(ME/\omega) [\sin \omega(t_0 + \Delta T) - \sin(\omega t_0)] \\ &\quad - j[\cos \omega(t_0 + \Delta T) - \cos(\omega t_0)] \\ &= (4/\sqrt{3})(ME/\omega) [2\cos \omega(t_0 + \Delta T/2) \sin(\omega \Delta T/2) \\ &\quad + j\{2\sin \omega(t_0 + \Delta T/2) \sin(\omega \Delta T/2)\}] \\ &= (4/\sqrt{3})(ME/\omega) \sin(\omega \Delta T/2) [\cos \omega(t_0 + \Delta T/2) \\ &\quad + j\sin \omega(t_0 + \Delta T/2)] \end{aligned} \quad (2.11)$$

ในทางปฏิบัติ เนื่องจาก  $\omega \Delta T/2$  เป็นมุมที่เล็กมาก ดังนั้น

$$\sin(\omega \Delta T/2) \approx \omega \Delta T/2$$

และกำหนดให้ มุมเฟส  $\theta_0$  ใช้แทนมุมการลู่  $\Delta\theta$  ใดๆ ที่กำลังพิจารณา นั่นคือ

$$\theta_0 = \theta_0 + \Delta\theta/2 = \omega(t_0 + \Delta T/2)$$

เอกสารนี้เป็นเอกสารที่สงวนไว้สำหรับการใช้งานเพื่อการศึกษาเท่านั้น ไม่อนุญาตให้นำไปใช้ประโยชน์ด้านการค้า  
แทนค่าเหล่านี้ลงใน สมการ (2.11) จะได้  
ไม่ว่ากรณีใดๆทั้งสิ้น อีกทั้งห้ามมิให้ตัดแปลงเนื้อหา และต้องอ้างอิงถึงเจ้าของเอกสารทุกครั้งที่มีการนำไปใช้

$$\lambda^*(t_0 + \Delta T) - \lambda^*(t_0) = (2/\sqrt{3})ME\Delta T[\cos(\theta_r) + jsfn(\theta_r)] \quad (2.12)$$

เชื่อมสมการ (2.10) เข้ากับ (2.12)

$$[(2/3)(\alpha_1 + \alpha_2) + j(2/\sqrt{3})(\alpha_1 - \alpha_2)]E = (2/\sqrt{3})ME\Delta T[\cos(\theta_r) + jsfn(\theta_r)] \quad (2.13)$$

เมื่อทำการแก้สมการ (2.13) จะได้ค่า  $\alpha_1$  และ  $\alpha_2$  ดังนี้

$$\alpha_1 = K_1(\theta_r)M$$

$$\alpha_2 = K_2(\theta_r)M$$

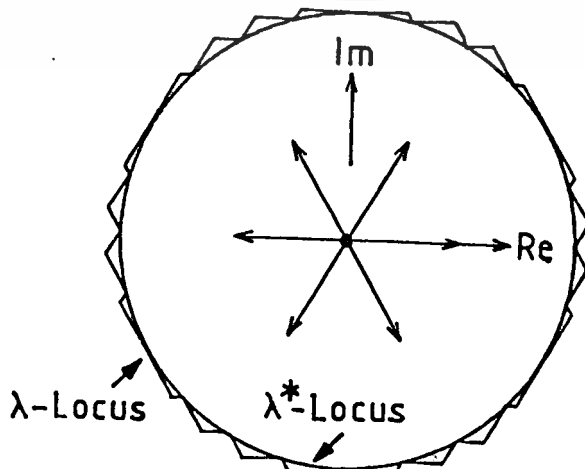
(2.14)

โดยที่กำหนด

$$K_1(\theta_r) = \Delta T \cos(\theta_r - \pi/6)$$

และ

$$K_2(\theta_r) = \Delta T \cos(\theta_r + \pi/6)$$



เอกสารนี้เป็นเอกสารที่สงวนไว้สำหรับการใช้งานเพื่อการศึกษาเท่านั้น ไม่อนุญาตให้นำไปใช้ประโยชน์ด้านการค้า  
รูปที่ 2.6 โลกัของ  $\lambda^*$  และ  $\lambda$  ที่ครบรอบสมบูรณ์ที่  $\Delta\theta = 15$  องศา  
ไม่ว่ากรณีใด ๆ ทั้งสิ้น อีกทั้งห้ามมิให้คัดแปลงเนื้อหา และต้องอ้างอิงถึงเจ้าของเอกสารทุกครั้งที่มีการนำไปใช้

ตารางที่ 2.2

การเลือกเวกเตอร์แรงดัน เมื่อค่ามุมเฟส  $\theta_n$  อยู่ในช่วงมุมต่างๆ

ช่วงมุมที่	$\theta_n$	ชุด $V_n$ ที่ถูกเลือกเมื่อ $\lambda^*$ มีเส้นทางในทิศ	
		ทวนเข็มนาฬิกา	ตามเข็มนาฬิกา
1	0 - 60 องศา	$V_1, V_2, V_7$	$V_1, V_6, V_0$
2	60 - 120 องศา	$V_2, V_3, V_0$	$V_6, V_5, V_7$
3	120 - 180 องศา	$V_3, V_4, V_7$	$V_5, V_4, V_0$
4	180 - 240 องศา	$V_4, V_5, V_0$	$V_4, V_3, V_7$
5	240 - 300 องศา	$V_5, V_6, V_7$	$V_3, V_2, V_0$
6	300 - 360 องศา	$V_6, V_1, V_0$	$V_2, V_1, V_7$

รูปที่ 2.6 แสดงตัวอย่างโลกัสนอง  $\lambda^*$  และ  $\lambda$  ที่  $\Delta\theta = 15$  องศา สำหรับการเลือกใช้ชุดเวกเตอร์แรงดันที่เหมาะสม จะขึ้นอยู่กับตำแหน่งมุมเฟส  $\theta_n$  ที่วางอยู่ในช่วงมุมต่างๆ ดังแสดงในตารางที่ 2.2

ในแต่ละช่วง  $\Delta T$  ใดๆที่พิจารณา จะพบว่ามี การสวิตช์เกิดขึ้นสองเฟสและหยุดการสวิตช์หนึ่งเฟสดังในรูปที่ 2.5 (ข) ในขณะที่วิธีการ SHM มีการสวิตช์เกิดขึ้นทั้งสามเฟส ดังนั้น สามารถกล่าวได้ว่า วิธีนี้ทำให้จำนวนการสวิตช์ลดลงประมาณ 30 เปอร์เซ็นต์ เมื่อเทียบกับวิธีการ SHM ที่ความถี่สลับ (หรือความถี่พาร์) เท่ากัน

เนื่องจากโลกัสนอง  $\lambda_n$  มีลักษณะคล้ายวงกลม (Quasi circle) ซึ่งไม่ได้แนบทับกับโลกัสนองปลั๊กแม่เหล็กอ้างอิง  $\lambda^*$  ตลอดเวลา ส่วนที่คลาดเคลื่อนออกไปนี้ ทำให้เกิดส่วนอาร์โมนิกส์ขึ้นที่แรงดันเอาต์พุตของอินเวอร์เตอร์ ส่วนของอาร์โมนิกส์ที่เกิดขึ้นควรจะลดให้เหลือน้อยที่สุด ซึ่งมีวิธีการดังต่อไปนี้

เอกสารนี้เป็นเอกสารที่สงวนไว้สำหรับใช้ประโยชน์เพื่อการศึกษาค้นคว้าเท่านั้น

ไม่ว่ากรณีใดๆทั้งสิ้น อีกทั้งห้ามมิให้ตัดแปลงเนื้อหา และต้องอ้างอิงถึงเจ้าของเอกสารทุกครั้งที่มีการนำไปใช้

กำหนดให้  $\epsilon$  เป็นเวกเตอร์คลาดเคลื่อน (Error vector) โดยที่

$$\epsilon = \lambda^* - \lambda \tag{2.15}$$

เวกเตอร์คลาดเคลื่อนนี้เป็นฟังก์ชันของการวางตำแหน่งพัลส์  $\beta$  ( $= t_p - t_0$ ) เท่านั้น เนื่องจาก  $\alpha_p$  และ  $\alpha_n$  สามารถหาได้จากสมการ (2.14)

นิยาม ดัชนีสมรรถนะ (Performance index) สำหรับเซกเตอร์ที่  $m$  ใด ๆ ดังนี้

$$J_m(\beta_m) = \int_{t_0}^{t_0 + \Delta T} |\epsilon|^2 dt \tag{2.16}$$

ดังนั้นผลรวมของดัชนีสมรรถนะ คือ

$$J = \sum_{m=0}^M J_m \tag{2.17}$$

ค่าของ  $J$  นี้ ควรถูกลดให้มีค่าน้อยที่สุด นั่นคือค่า  $J_m$  ในแต่ละช่วงการสุ่ม  $\Delta T$  ใดๆ ควรจะลดให้เหลือน้อยที่สุด เนื่องจาก  $J_m$  ประกอบขึ้นเป็น  $J$  อย่างอิสระ ดังนั้น

$$\text{minimize } J_m(\beta_m) \quad \text{สำหรับ } 0 < \beta_m < \Delta T - \alpha_{n,m} \tag{2.18}$$

จะให้ค่าตำแหน่งพัลส์  $\beta_m$  ที่ดีที่สุด สำหรับเซกเตอร์ที่  $m$  ใดๆ การคำนวณนี้ค่อนข้างยุ่งยากซับซ้อนมาก อย่างไรก็ตาม เนื่องจากมุมการสุ่ม  $\Delta\theta$  มีค่าเล็กมากในทางปฏิบัติ จึงอาจประมาณโลกัส  $\lambda^*$  ด้วยเส้นตรงที่ต่อระหว่างจุด  $p-q$  (อ้างอิงรูปที่ 2.5 (ก)) เพื่อให้ตำแหน่งพัลส์  $\beta_m$  สามารถหาค่าได้ในเชิงวิเคราะห์ จากการประมาณดังกล่าว สามารถคำนวณหาโลกัส  $\lambda^*$  ได้ดังนี้

เอกสารนี้เป็นเอกสารที่สงวนไว้สำหรับการใช้งานเพื่อการศึกษาเท่านั้น ไม่อนุญาตให้นำไปใช้ประโยชน์ด้านการค้า  
 $\lambda^*(t) = E(2/\sqrt{3})(t-t_0) \exp(j\theta_p) + \lambda^*(t_0)$  (2.19)  
 ไม่ว่ากรณีใดๆทั้งสิ้น อีกทั้งห้ามมิให้ดัดแปลงเนื้อหา และต้องอ้างอิงถึงเจ้าของเอกสารทุกครั้งที่มีการนำไปใช้

เนื่องจากโลกซ์ของ  $\lambda$  ในช่วงมุม  $\Delta\theta$  ใดๆ ถูกแบ่งออกเป็น 4 ช่วงย่อย ดังนั้น สมการ (2.16) สามารถเขียนใหม่ได้ดังนี้

$$J_{\text{un}}(\beta_{\text{un}}) = \left. \begin{aligned} & \int_{t_0}^{t_1} |\epsilon|^2 dt + \int_{t_1}^{t_2} |\epsilon|^2 dt + \int_{t_2}^{t_3} |\epsilon|^2 dt + \int_{t_3}^{t_4} |\epsilon|^2 dt \\ & = J_{\text{un1}} + J_{\text{un2}} + J_{\text{un3}} + J_{\text{un4}} \end{aligned} \right\} \quad (2.20)$$

ทำการคำนวณในแต่ละเทอมของสมการ (2.20) จะได้ผลลัพธ์ดังนี้

$$J_{\text{un1}} = E^2 [(4/9)M^2\beta^2]$$

$$J_{\text{un2}} = E^2 [(4/9)M^2\{(\beta+\alpha_2)^2 - \beta^2\} + (16/27)\alpha_2^2 - (8/9/3)M\alpha_2^2(3\beta+2\alpha_2)\cos(\theta_r)]$$

$$J_{\text{un3}} = E^2 [(4/9)M^2\{(\beta+\alpha_1)^2 - (\beta+\alpha_2)^2\} + (4/27)(\alpha_1 - \alpha_2)(4\alpha_1 + 7\alpha_1\alpha_2 + 10\alpha_2^2) - (4/9)M(\alpha_1 - \alpha_2)(2\alpha_1^2 + 3\beta\alpha_1 - \alpha_2^2 - \alpha_1\alpha_2 - 3\beta\alpha_2)\sin(\theta_r) - (4/9/3)M(\alpha_1 - \alpha_2)(2\alpha_1^2 + 3\beta\alpha_1 + 5\alpha_2^2 + 9\beta\alpha_2 + 12\alpha_2 t_0 + 5\alpha_1\alpha_2)\cos(\theta_r)]$$

$$J_{\text{un4}} = E^2 [(4/9)M^2(\Delta T - \beta - \alpha_1)]$$

ทำการหาค่า  $\beta$  ที่ทำให้  $J_{\text{un}}(\beta_{\text{un}})$  ใดๆมีค่าน้อยที่สุด โดยการกำหนดให้

$$\frac{dJ_{\text{un}}(\beta_{\text{un}})}{d\beta} = \frac{dJ_{\text{un1}}}{d\beta} + \frac{dJ_{\text{un2}}}{d\beta} + \frac{dJ_{\text{un3}}}{d\beta} + \frac{dJ_{\text{un4}}}{d\beta} = 0 \quad (2.21)$$

ไม่ว่ากรณีใดๆทั้งสิ้น อีกทั้งห้ามมิให้ตัดแปลงเนื้อหา และต้องอ้างอิงถึงเจ้าของเอกสารทุกครั้งที่มีการนำไปใช้

โดยการแทนค่า  $J_{\theta_1}$ ,  $J_{\theta_2}$ ,  $J_{\theta_3}$ , และ  $J_{\theta_4}$  ลงใน สมการ (2.21) แล้วทำการคำนวณจะได้

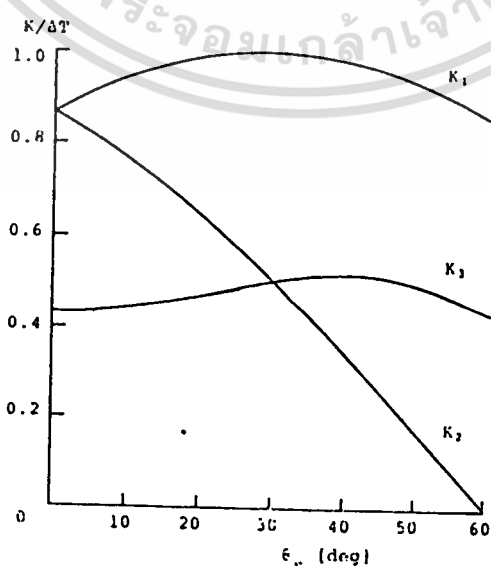
$$\beta = (\Delta T/2) - K_{\theta}(\theta_{\theta})M \quad (2.22)$$

โดยที่

$$K_{\theta}(\theta_{\theta}) = [(\sqrt{3}/2)\Delta T][\{5\cos(\theta_{\theta})/6\} - \{\cos\theta_{\theta}\cos(2\theta_{\theta})/3\}]$$

เมื่อสมการ (2.18) ให้ค่า  $\beta$  ที่เป็นลบ ซึ่งไม่สามารถนำมาใช้ได้จะกำหนดให้  $\beta = 0$

จะเห็นว่า ค่าของ  $K_1$ ,  $K_2$  และ  $K_3$  เป็นฟังก์ชันของมุมเฟส  $\theta_{\theta}$  เพียงตัวแปรเดียวเท่านั้นเพราะ  $\Delta T$  เป็นค่าคงที่ และเนื่องจากความสมมาตรในทุกๆ 60 องศา จึงพิจารณาค่า  $K$  เหล่านี้ภายในช่วงมุม  $0 < \theta_{\theta} < 60$  องศา ร่วมกับการเลือกชุดเวกเตอร์แรงดัน(ตารางที่ 2.2) ก็ครอบคลุมทุกๆค่าของมุมเฟส  $\theta_{\theta}$  รูปที่ 2.7 แสดงเส้นโค้งความสัมพันธ์ระหว่างค่าของ  $K_1$ ,  $K_2$  และ  $K_3$  กับมุมเฟส  $\theta_{\theta}$



เอกสารนี้เป็นเอกสารที่สงวนลิขสิทธิ์ไว้เพื่อการศึกษาเท่านั้น ไม่อนุญาตให้นำไปใช้ประโยชน์ด้านการค้า  
รูปที่ 2.7 ความสัมพันธ์ระหว่างค่าของ  $K_1$ ,  $K_2$  และ  $K_3$  กับมุมเฟส  $\theta_{\theta}$   
ไม่ว่ากรณีใดๆทั้งสิ้น อีกทั้งห้ามมิให้ตัดแปลงเนื้อหา และต้องอ้างอิงถึงเจ้าของเอกสารทุกครั้งที่มีการนำไปใช้

ในการสร้างสัญญาณพัลส์บิตบลิเอ็มแบบทันเวลา (Real time) บนฐานของไมโครโปรเซสเซอร์นั้น จะต้องประมวลผลให้เสร็จสิ้นภายในทุกๆ ช่วงเวลาสั้น  $\Delta T$  เพื่อให้เวลาประมวลผลสั้น ค่าของ  $K_1$ ,  $K_2$  และ  $K_3$  ภายในช่วงมุม  $0 < \theta_n < 60$  องศา และการเลือกชุดเวกเตอร์แรงดัน ตามตารางที่ 2.2 ควรเก็บไว้ในหน่วยความจำถาวร (ROM) ในรูปของตาราง เพื่อให้การคำนวณหาค่าความกว้างพัลส์  $\alpha_1$ ,  $\alpha_2$  และ  $\beta$  ซึ่งเป็นฟังก์ชันของ  $M$  สามารถคำนวณได้ง่ายขึ้น และการเลือกชุดเวกเตอร์แรงดันก็สามารถทำได้อย่างรวดเร็ว สำหรับรายละเอียดในการสร้างรูปคลื่นพัลส์บลิเอ็มทั้งในส่วนซอฟต์แวร์และฮาร์ดแวร์ได้อธิบายไว้ในบทที่ 4



## บทที่ 3

## ไบมอสอินเวอร์เตอร์และวงจรรับไบมอสสวิทช์

## 3.1 นำบท

ในการออกแบบวงจรรีเลย์อินเวอร์เตอร์กำลังนั้น การเลือกตัวสวิทช์กำลังที่เหมาะสมเป็นสิ่งสำคัญมาก เนื่องจากมีผลกระทบต่อประสิทธิภาพและความน่าเชื่อถือของระบบโดยรวม สวิทช์กำลังที่ดีนั้นควรมีการสูญเสียขณะสวิทช์ (Switching losses) ต่ำ และการสูญเสียขณะนำกระแส (On-state losses) ต่ำด้วย ในวงจรรีเลย์อินเวอร์เตอร์ที่ขนาดพิกัดกำลังต่ำจนถึงปานกลางนั้น นิยมใช้ทรานซิสเตอร์กำลังชนิดไบโพลาร์ (Power bipolar junction transistor) เป็นสวิทช์กำลังเนื่องจากมีพิกัดกำลังอยู่ในช่วงที่เหมาะสม ควบคุมการสวิทช์ได้ค่อนข้างง่าย และมีการสูญเสียในสถานะนำกระแสต่ำ อย่างไรก็ตาม การที่ทรานซิสเตอร์กำลังมีเวลาสะสม (Storage times) ค่อนข้างยาวนาน มีผลให้การสูญเสียการสวิทช์ในขณะสวิทช์หยุดนำกระแสสูง เพื่อจำกัดการสูญเสียพลังงานโดยรวม จึงจำเป็นต้องจำกัดความถี่การใช้งานของทรานซิสเตอร์กำลังด้วย นอกจากนี้ เมื่อนำมาใช้ในวงจรรีเลย์อินเวอร์เตอร์เพื่อสร้างกระแสคลื่นไซน์ เวลาสะสมเป็นสิ่งสำคัญที่ทำให้ต้องควบคุมช่วงหยุดการสวิทช์ (Blanking times) ในระดับที่ไม่อาจจะละเลยได้ จึงมีผลให้กระแสคลื่นไซน์ที่สร้างขึ้นผิดเพี้ยนไปจากที่ต้องการมาก

มอสเฟตกำลัง (Power MOSFET) เป็นอุปกรณ์อีกชนิดหนึ่งซึ่งอาจนำมาใช้เป็นสวิทช์กำลังได้เนื่องจากมีคุณสมบัติที่ดีหลายอย่างคือ มีความเร็วในการสวิทช์สูงมาก (เวลาในการเปลี่ยนสถานะอยู่ในระดับนาโนวินาที) ทำให้เกิดการสูญเสียการสวิทช์ต่ำมาก ควบคุมการสวิทช์ได้ง่าย และในพิกัดแรงดันต่ำจะมีการสูญเสียขณะนำกระแสต่ำ อย่างไรก็ตาม ในพิกัดที่พิกัดแรงดันสูงจะมีค่าความต้านทานขณะนำกระแส ( $r_{DS(on)}$ ) สูง ทำให้การสูญเสียขณะนำกระแสค่อนข้างสูง และสวิทช์กำลังตระกูลนี้มีพิกัดกำลังค่อนข้างจำกัด ทำให้มอสเฟตกำลังถูกนำมาใช้งานเป็นสวิทช์กำลัง ในระดับพิกัดกำลังต่ำ ๆ เท่านั้น

เพื่อที่จะลดข้อบกพร่องของอุปกรณ์ทั้งสองชนิดที่กล่าวมา วิธีการหนึ่งที่สามารถนำมาใช้ได้คือการจัดรวมทรานซิสเตอร์กำลังและมอสเฟตกำลังเข้าด้วยกันเป็นสวิทช์กำลัง โดยเรียกวสวิทช์กำลังนี้ว่า ไบมอสสวิทช์ (BIMOS switch) การจัดรวมแบบคาสโคด (Cascode combination) เป็นแบบหนึ่งในการจัดรวม

เอกสารนี้เป็นเอกสารที่สงวนไว้สำหรับการใช้เรียนเพื่อการศึกษาเท่านั้น ไม่อนุญาตให้นำไปใช้ประโยชน์ด้านการค้าหลายแบบ [9] ที่มีคุณสมบัติที่น่าสนใจ สำหรับการนำมาประยุกต์ใช้งานในวงจรรีเลย์อินเวอร์เตอร์ไม่ว่ากรณีใดๆทั้งสิ้น อีกทั้งห้ามมิให้คัดแปลงเนื้อหา และต้องอ้างอิงถึงเจ้าของเอกสารทุกครั้งที่มีการนำไปใช้

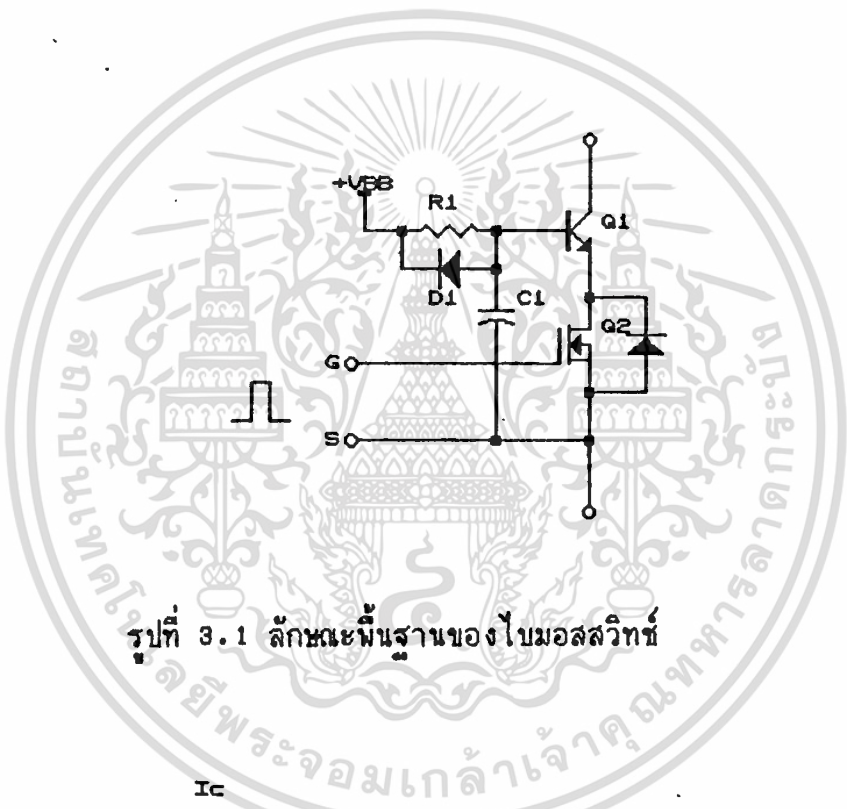
ในบทนี้ ต้องการอธิบายถึงลักษณะและคุณสมบัติของไบมอสสวิทช์แบบคาสโคด ลักษณะของวงจรวอร์อินเวอร์เตอร์ที่ใช้ไบมอสสวิทช์เป็นอุปกรณ์สวิทช์กำลัง และการตรวจจับกระแสและแรงดันผิดปกติซึ่งอาจเกิดขึ้นในวงจรวอร์อินเวอร์เตอร์ รวมทั้งวงจรสำหรับขับไบมอสสวิทช์ในวงจรวอร์อินเวอร์เตอร์

### 3.2 ไบมอสสวิทช์แบบคาสโคด

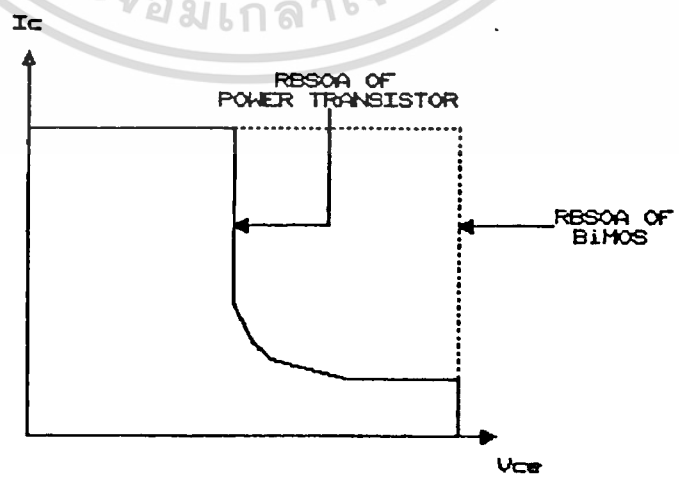
ลักษณะของไบมอสสวิทช์แบบคาสโคดเป็นการนำเอาทรานซิสเตอร์กำลังชนิดทนแรงดันสูงต่ออนุกรมกับมอสเฟตกำลังแรงดันต่ำ และต่อแรงดันไฟตรงบวกเลี้ยงไว้ที่ขั้วเบสของทรานซิสเตอร์ โดยใช้ขั้วซอร์สของมอสเฟตเป็นจุดอ้างอิง ดังแสดงในรูปที่ 3.1 การควบคุมการสวิทช์ จะกระทำที่ขั้วเกตของมอสเฟต กล่าวคือ เมื่อต้องการสวิทช์นำกระแสจะต้องป้อนแรงดันไฟบวกที่ขั้วเกต (เทียบกับขั้วซอร์ส) ทำให้มอสเฟตนำกระแส ดังนั้นกระแสจากขั้วเบสจะสามารถไหลได้ และทำให้ทรานซิสเตอร์เข้าสู่สภาวะนำกระแส นั่นคือไบมอสสวิทช์เข้าสู่สภาวะนำกระแสอย่างสมบูรณ์ และเมื่อต้องการสวิทช์หยุดนำกระแสจะต้องป้อนแรงดันศูนย์หรือลบที่ขั้วเกต ซึ่งจะทำให้มอสเฟตหยุดนำกระแส มีผลให้กระแสอิมิตเตอร์หยุดไหลอย่างทันที และกระแสคอลเลคเตอร์จะถูกเบี่ยง (diverted) ให้ไหลออกทางขั้วเบสเข้าอัดประจุตัวเก็บประจุ  $C_1$  แรงดันตกคร่อมตัวเก็บประจุ  $V_{C_1}$  นี้ จะถูกจำกัดด้วยไฟเลี้ยงขั้วเบสซึ่งอาจทำให้กระแสบางส่วนไหลผ่านไดโอด  $D_1$  เข้าสู่ไฟเลี้ยงขั้วเบส กระแสเบสลบซึ่งมีขนาดเท่ากับกระแสคอลเลคเตอร์นี้เองที่ทำให้ พหุส่วเกินต่างๆ (Excessive carriers) ถูกกวาดออกจากขั้วเบสอย่างรวดเร็ว เป็นผลให้เวลาสะสมและเวลาไต่ลงของกระแสสั้น แรงดันตกคร่อมมอสเฟต  $V_{DS}$  ในขณะที่หยุดนำกระแส จะถูกจำกัดด้วยไฟเลี้ยงขั้วเบส และแรงดัน  $V_{C_1}$  ที่ถูกอัดประจุในกระบวนการหยุดนำกระแส มีส่วนช่วยให้สวิทช์นำกระแสได้รวดเร็วขึ้นเมื่อทำการสวิทช์นำกระแสในครั้งต่อไป เนื่องจากใช้วิธีการสวิทช์หยุดนำกระแสด้วยการเปิดวงจรวอร์อินเวอร์เตอร์ จึงอาจเรียกไบมอสสวิทช์แบบคาสโคดได้อีกอย่างหนึ่งว่า สวิทช์แบบเปิดวงจรวอร์อินเวอร์เตอร์ (Open-emitter switch)

การหยุดนำกระแสแบบเปิดวงจรวอร์อินเวอร์เตอร์นี้ เปรียบเสมือนกับการหยุดนำกระแสของไดโอดกำลังที่ประกอบขึ้นจากรอยต่อ C-B ของทรานซิสเตอร์กำลัง มีผลให้ทรานซิสเตอร์กำลังสามารถทนแรงดันที่จำกัด  $BV_{CBO}$  ซึ่งโดยทั่วไปมีค่าประมาณสองเท่าของ  $BV_{CEO}$  (จำกัด  $BV_{CEO}$  เป็นจำกัดแรงดัน ที่ใช้เลือกทรานซิสเตอร์กำลัง เมื่อสวิทช์หยุดนำกระแสด้วยวิธีไบอัสกลับรอยต่อ B-E) และยังทำให้ ปรากฏการณ์เซคคันด์ไมวาร์กรมใดๆ ทั้งสิ้น ยกทั้งห้ามมิให้เกิดขึ้น และต้องอ้างอิงถึงเจ้าของเอกสารทุกครั้งที่มีกรนำไปใช้

เบรกดาวน์ (Second breakdown) หายไปด้วย รูปที่ 3.2 แสดงถึงการเปรียบเทียบพื้นที่การทำงานที่ปลอดภัยขณะไบแอสกลับ หรือ RBSOA (Reverse Bias Safe Operating Area) ของการสวิตช์หยุดนำกระแสด้วยวิธีไบอัสกลับรอยต่อ B-E กับการสวิตช์หยุดนำกระแสแบบเปิดวงจรอิมิตเตอร์ โดยใช้ทรานซิสเตอร์กำลังชนิดเดียวกัน จากรูปจะเห็นว่า การสวิตช์หยุดนำกระแสแบบเปิดวงจรอิมิตเตอร์จะให้ RBSOA เป็นลักษณะสี่เหลี่ยมผืนผ้าขนาดใหญ่ ผลลัพธ์ที่ตามมาคือทำให้ลดจำนวนและขนาดของวงจรสับเบอร์

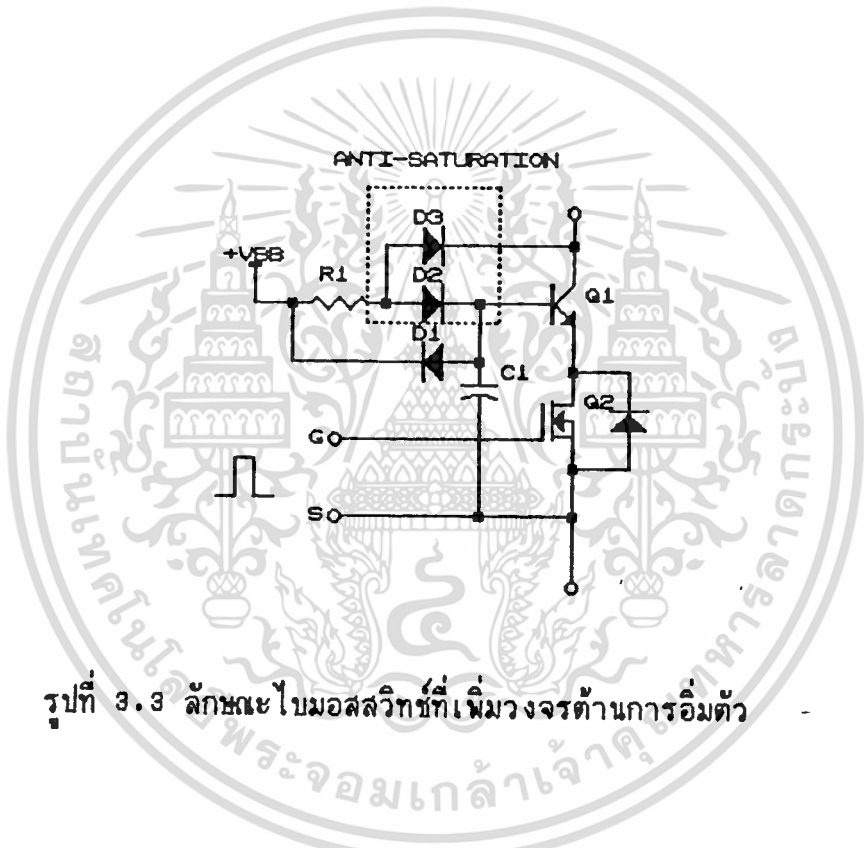


รูปที่ 3.1 ลักษณะพื้นฐานของไบมอสสวิตช์

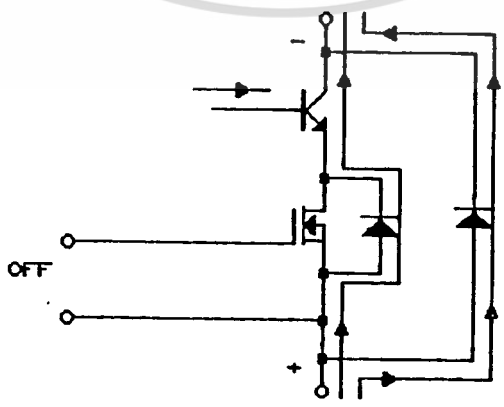


เอกสารนี้เป็นเอกสารที่สงวนไว้สำหรับการใช้งานเพื่อการศึกษาเท่านั้น ไม่อนุญาตให้นำไปใช้ประโยชน์ด้านการค้า  
 รูปที่ 3.2 แสดง RBSOA ของทรานซิสเตอร์กำลังและไบมอสสวิตช์  
 ไม่ว่าจะกรณีใดๆทั้งสิ้น อีกทั้งห้ามมีเหตุดัดแปลงเนื้อหา และต้องอ้างอิงถึงเจ้าของเอกสารทุกครั้งที่มีการนำไปใช้

แม้ว่าไบนอสสวิตช์ที่มีลักษณะดังในรูปที่ 3.1 จะมีเวลาสะสมสั้น แต่ในการนำไบนอสสวิตช์ไปใช้ใน วงจรบริดจ์อินเวอร์เตอร์ ควรลดเวลาสะสมให้เหลือน้อยที่สุดเท่าที่เป็นไปได้ โดยอาศัยวงจรต้านการอิ่มตัว (Anti-saturation) เพื่อบังคับให้ทรานซิสเตอร์อยู่ในสภาวะกึ่งอิ่มตัว (Quasi-saturation) ในขณะที่นำกระแส ลักษณะไบนอสสวิตช์ที่เพิ่มวงจรต้านการอิ่มตัวแสดงดังในรูปที่ 3.3 ถึงแม้ว่าวงจรนี้ จะทำให้การสูญเสียขณะนำกระแสเพิ่มขึ้น แต่ก็ทำให้การสูญเสียขณะสวิตช์ลดลง และความน่าเชื่อถือของ ไบนอสสวิตช์เพิ่มมากขึ้น



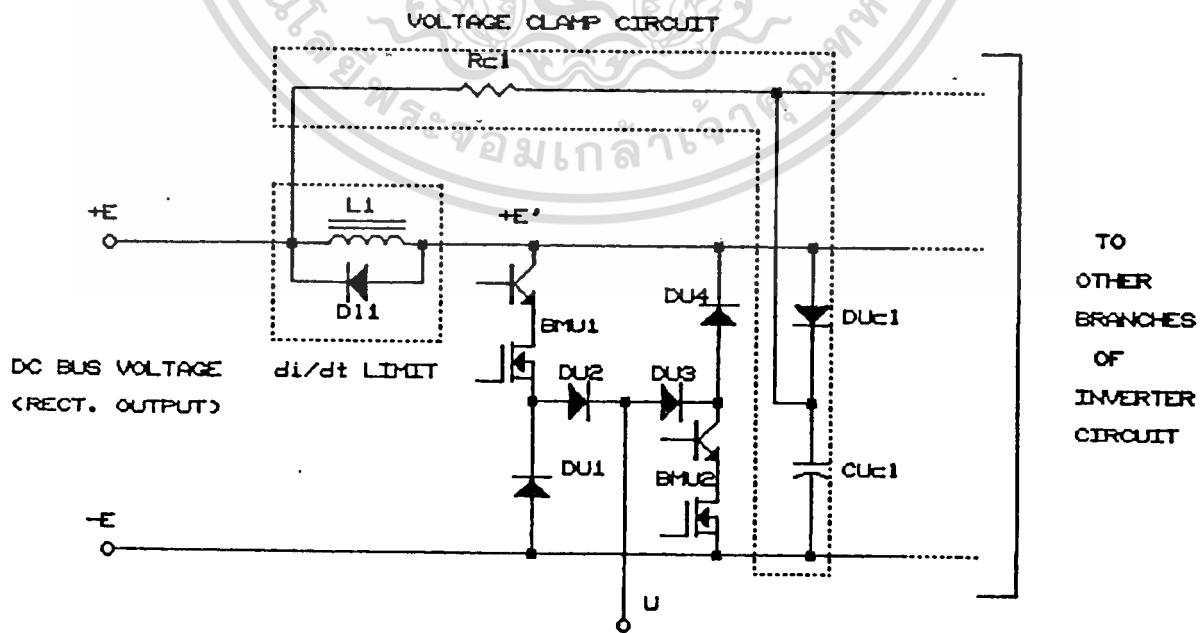
รูปที่ 3.3 ลักษณะไบนอสสวิตช์ที่เพิ่มวงจรต้านการอิ่มตัว



รูปที่ 3.4 ปรัชการการแผ่กระแสไหลกลับทิดในไบนอสสวิตช์

เอกสารนี้เป็นเอกสารที่สงวนไว้สำหรับการใช้งานเพื่อการศึกษาเท่านั้น ไม่อนุญาตให้ไปใช้ประโยชน์ด้านการค้า ไม่ว่ากรณีใดๆทั้งสิ้น อีกทั้งห้ามมิให้ดัดแปลงเนื้อหา และต้องอ้างอิงถึงเจ้าของเอกสารทุกครั้งที่มีการนำไปใช้

อย่างไรก็ดี ไบโมสสวิตช์มีข้อเสียบางประการ จึงไม่สามารถนำไปแทนทรานซิสเตอร์กำลังโดยตรงในวงจรบริดจ์อินเวอร์เตอร์ทั่วไปได้ กล่าวคือ ประการแรก ในขณะที่มีกระแสไหลในไดโอด ที่ต่อขนานสวนกลับ (Antiparallel diode) กับไบโมสสวิตช์ ดังในรูปที่ 3.4 ทำให้เกิดแรงดันกลับที่ค่าต่ำๆตกคร่อมไบโมสสวิตช์ เนื่องจากที่ชั่วขณะมีแรงดันไฟบวกเฉลี่ยไว้ตลอดเวลาจึงทำให้เกิดปรากฏการณ์กระแสกลับทิศขึ้นในไบโมสสวิตช์ นั่นคือ ชั่วคอลเลคเตอร์และชั่วอิมิตเตอร์หน้าที่สลับกัน และเมื่อมีการสวิตช์นำกระแสไบโมสสวิตช์อีกชุดหนึ่งในกิ่งเดียวกัน จะทำให้เกิดการลัดวงจรขึ้นในบัสไฟตรง ซึ่งอาจทำให้เกิดความเสียหายขึ้นกับอุปกรณ์ที่เกี่ยวข้องหากระบบป้องกันไม่มีความไวพอ ประการที่สอง เมื่อกระแสไหลผ่านไบโมสสวิตช์ลดลงผ่านจุดศูนย์ก่อนทำการหยุดนำกระแส ซึ่งเกิดขึ้นในขณะที่กระแสไหลลดเริ่มไหลกลับทิศ ทำให้ประจุสะสมไม่ถูกกวาดออกทางขั้วเบสของทรานซิสเตอร์กำลัง จึงมีผลให้เวลาสะสมเพิ่มขึ้นอย่างมาก และจะทำให้เกิดการลัดวงจรขึ้นในบัสไฟตรง หากมีการสวิตช์นำกระแสไบโมสสวิตช์ที่อยู่ในกิ่งเดียวกัน เช่นเดียวกับประการแรก



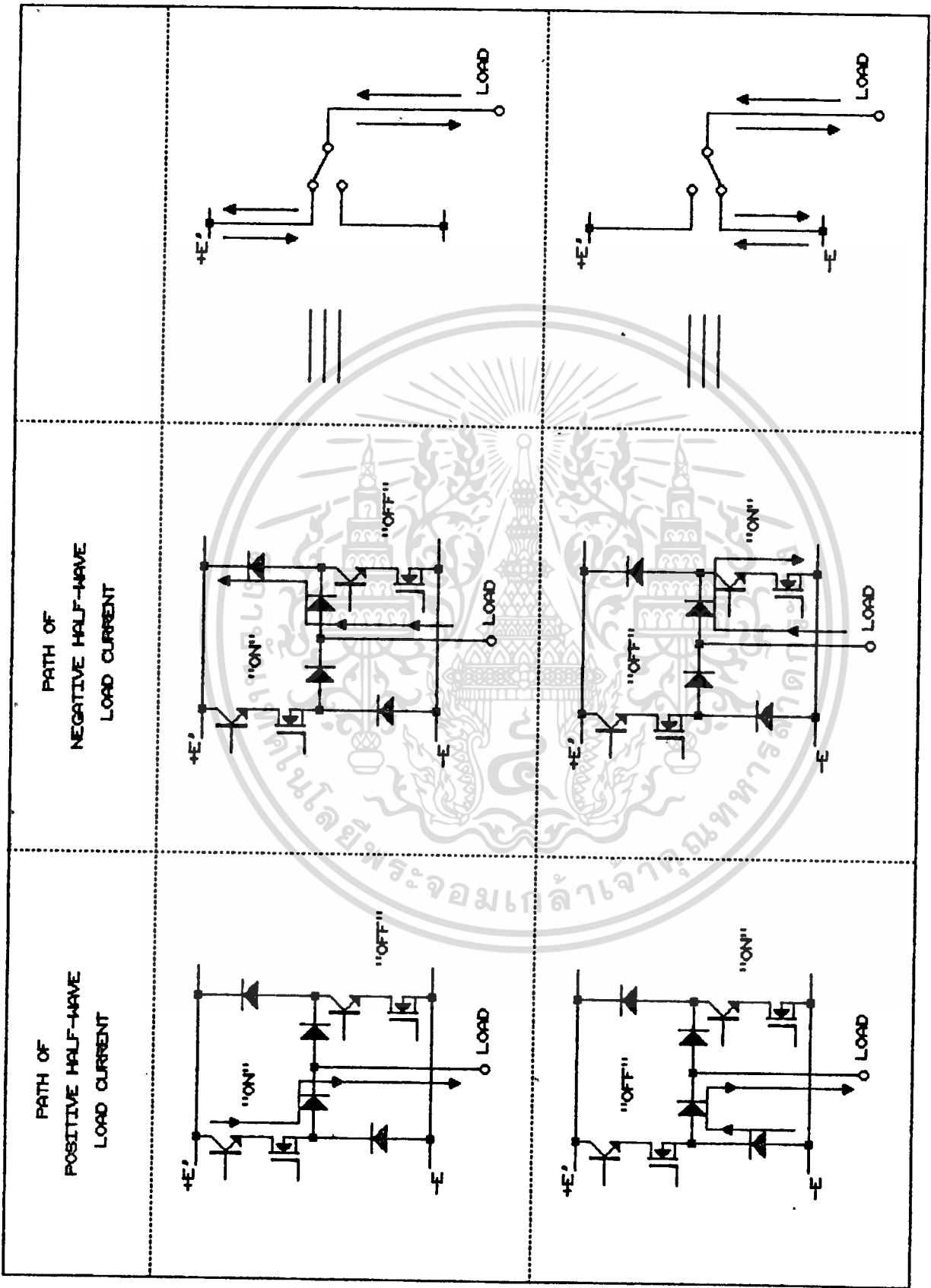
เอกสารนี้เป็นเอกสารที่สงวนไว้สำหรับบริการใช้งานเพื่อการศึกษาเท่านั้น ไม่อนุญาตให้นำไปใช้ประโยชน์ด้านการค้า  
 รูปที่ 3.5 กิ่งหนึ่งของวงจรไบโมสอินเวอร์เตอร์สามเฟส  
 ไม่ว่าจะกรณีใดๆทั้งสิ้น อีกทั้งห้ามมิให้คัดแปลงเนื้อหา และต้องอ้างอิงถึงเจ้าของเอกสารทุกครั้งที่มีการนำไปใช้

### 3.3 วงจรไบมอสอินเวอร์เตอร์

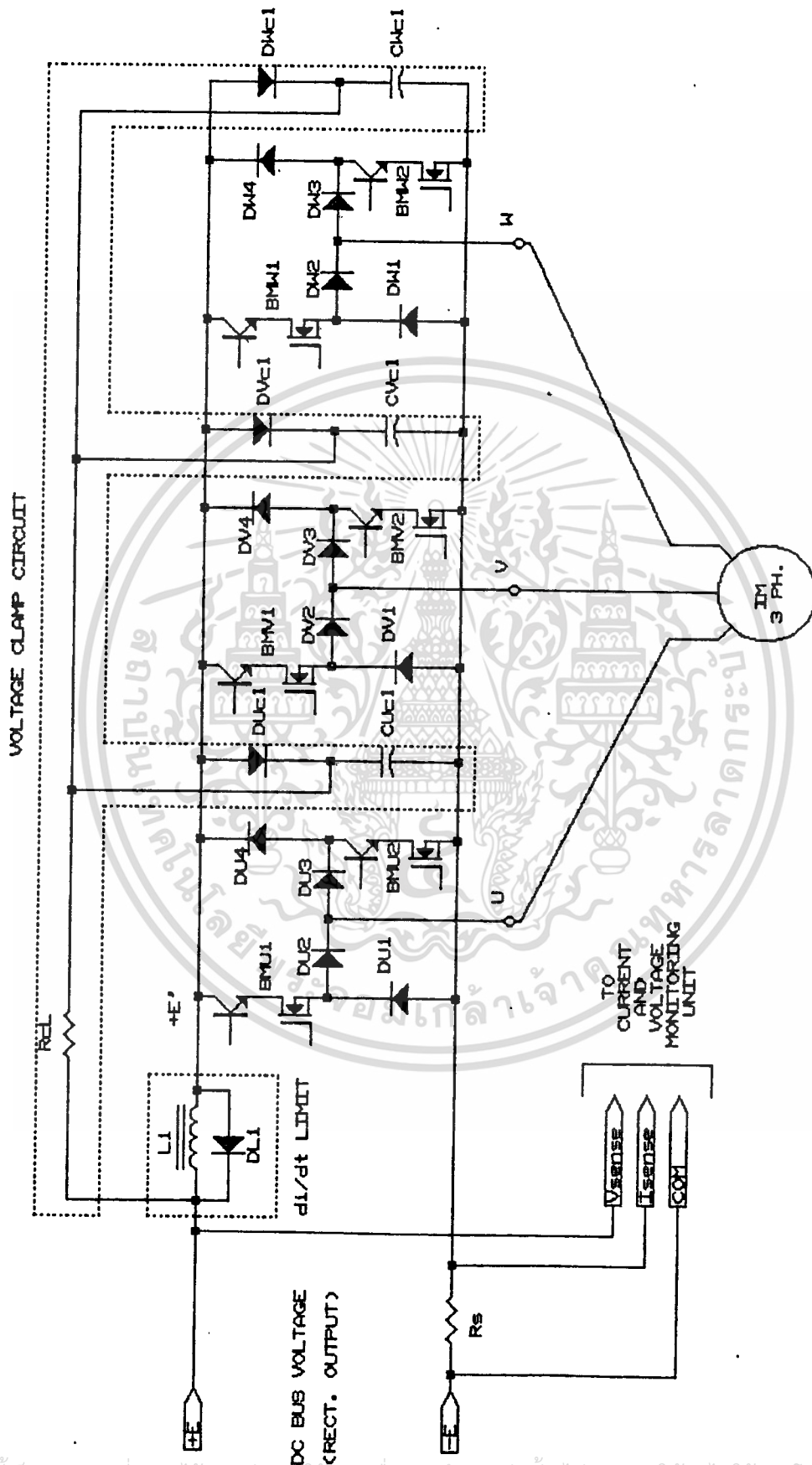
จากลักษณะและคุณสมบัติของไบมอสสวิตช์ดังที่กล่าวมาแล้ว ในหัวข้อที่แล้ว จะเห็นว่าเราไม่สามารถนำไบมอสสวิตช์มาแทนทรานซิสเตอร์กำลังโดยตรงในวงจรบริดจ์อินเวอร์เตอร์โดยทั่วไปได้ จึงต้องมีการดัดแปลงแก้ไขวงจรอินเวอร์เตอร์ตามความเหมาะสม รูปที่ 3.5 แสดงกิ่งหนึ่งของวงจรไบมอสอินเวอร์เตอร์สามเฟสที่นำไปใช้ในการสร้างกระแสคลื่นไซน์เพื่อจ่ายให้กับโหลด (โหลดในที่นี้คือเฟสหนึ่งของมอเตอร์เหนี่ยวนำ) แต่ละกิ่งของอินเวอร์เตอร์จะมีความคล้ายคลึงกัน โดยสามารถอธิบายการทำงานได้ดังนี้ ไดโอด D2 และ D3 ทำหน้าที่แยกส่วน (decoupling) วงจรอินเวอร์เตอร์ ตามทิศทางกระแสของกระแสไหล โดยจะรับกระแสในแต่ละครึ่งคลื่นของความถี่มูลฐานของกระแสไหล และมีผลให้ชุดอุปกรณ์ BM1, D1, D2 และ BM2, D3, D4 แยกกันทำงานอย่างอิสระในแต่ละครึ่งคลื่น รูปที่ 3.6 แสดงการทำงานของชุดอุปกรณ์ตามทิศทางกระแสไหลของกระแสไหล และแทนชุดอุปกรณ์ด้วยตำแหน่งของสวิตช์เทียบเท่า จะเห็นว่า การต่อวงจรอินเวอร์เตอร์ในลักษณะนี้จะไม่มีการเกิดกระแสกลับทิศในไบมอสสวิตช์ได้ ดังนั้น ปรากฏการณ์กระแสกลับทิศจึงถูกขจัดไป

วงจรจำกัดการเพิ่มกระแส ( $di/dt$  limit) ช่วยเพิ่มความน่าเชื่อถือให้กับชุดไบมอสอินเวอร์เตอร์มากขึ้น กล่าวคือ ช่วยป้องกันไม่ให้เกิดการลัดวงจรในบัลไฟตรง เนื่องจากเวลาสะสม ที่เพิ่มขึ้นในไบมอสสวิตช์ เมื่อกระแสไหลเริ่มไหลกลับทิศ ดังที่กล่าวมาแล้ว นอกจากนี้วงจรมีส่วนช่วยป้องกันการเพิ่มอย่างฉับพลันของกระแสเมื่อเกิดเหตุผิดปกติขึ้นในไบมอสอินเวอร์เตอร์ เพื่อให้วงจรป้องกันระบบสามารถทำงานได้ทันทั่วทั้ง และยังช่วยลดการสูญเสียพลังงานในช่วงเวลาคืนตัว (recovery time) ของไดโอด D1 และ D4 ด้วย

วงจรจำกัดแรงดัน (voltage-clamp circuit) ใช้สำหรับลดผลของค่าความเหนี่ยวนำแฝงในสายบัลไฟตรง ค่าความเหนี่ยวนำแฝงนี้ จะทำให้เกิดแรงดันสไปค์ (spike voltage) ในขณะที่การหยุดนำกระแสไบมอสสวิตช์ ซึ่งอาจเกินพิกัดแรงดันของทรานซิสเตอร์กำลังที่จะทนได้ แรงดันสไปค์จะถูกหน่วงด้วยแรงดันตกคร่อม  $C_{ce}$  และแรงดันที่เพิ่มขึ้นใน  $C_{ce}$  จะถูกสลายไปใน  $R_{ce}$  ในทางปฏิบัติ  $D_{ce}$  และ  $C_{ce}$  ควรวางให้ใกล้กับชุดไบมอสอินเวอร์เตอร์ในแต่ละกิ่งมากที่สุดเท่าที่เป็นไปได้



รูปที่ 3.6 แสดงเส้นทางกระแสไหลของกระแสไหลและเปรียบเทียบกับตำแหน่งสวิตช์เทียบเท่า



รูปที่ 3.7 วงจรสมบรูณ์ของไม้ออสลินเวอร์เตอร์สามเฟส

เนื่องจากความถี่การสวิตช์ที่เกิดขึ้นในไมโครสวิตช์ค่อนข้างสูง จึงส่งผลให้ผลให้ไดโอด D1 และ D4 รับกระแสการสวิตช์ความถี่สูงไปด้วย ไดโอดชนิดคืนตัวเร็ว (Fast recovery diode) จึงควรจะถูกเลือกใช้ในตำแหน่งเหล่านี้ สำหรับ ไดโอด D2 และ D3 ซึ่งมีขั้วหนึ่งต่ออยู่กับโหลด เป็นอุปกรณ์ที่รับกระแสที่ความถี่มูลฐานของโหลดซึ่งเป็นความถี่ต่ำ และรับแรงดันตกคร่อมต่ำ จึงอาจเลือกใช้ไดโอดชนิดแรงดันต่ำทั่วไปได้ อย่างไรก็ตาม เพื่อลดการสูญเสียพลังงานในขณะที่ไดโอดนำกระแส ไดโอดเหล่านี้จึงควรเลือกใช้ไดโอดชนิดชอททักกี (Schottky diode) รูปที่ 3.7 แสดงวงจรไมโครอินเวอร์เตอร์สามเฟสที่สมบูรณ์ สำหรับขับเคลื่อนมอเตอร์เหนี่ยวนำ

#### 3.4 ชุดตรวจจับกระแสและแรงดันผิดปกติ

เมื่อนำระบบขับเคลื่อนไปใช้งาน ความเสียหายอาจเกิดขึ้นในระบบได้ด้วยสาเหตุต่างๆ ความเสียหายโดยส่วนใหญ่มักเกิดขึ้นในส่วนวงจรอินเวอร์เตอร์ เนื่องจากเป็นส่วนหนึ่งของวงจรกำลังที่มีความซับซ้อนมากที่สุดทั้งทางด้านจำนวนอุปกรณ์และการทำงาน ดังนั้นการป้องกันความเสียหายในระบบขับเคลื่อนโดยเฉพาะในส่วนอินเวอร์เตอร์จึงเป็นสิ่งจำเป็น ส่วนหนึ่งของวิธีการป้องกันความเสียหายคือ การตรวจจับกระแสสูงเกินพิกัดและแรงดันบัลไฟตรงสูงหรือต่ำกว่าพิกัด สาเหตุของกระแสเกินพิกัดอาจเกิดจากการใช้เวลาในการเร่งความเร็วรอบมอเตอร์สั้นเกินไป หรือเกิดการลัดวงจรขึ้นที่ขั้วต่อของมอเตอร์ แรงดันเกินพิกัดอาจเกิดจากการใช้เวลานานเร่งความเร็วรอบมอเตอร์สั้นเกินไป หรือเกิดจากแหล่งจ่ายไฟหลักสูงเกินพิกัด ส่วนแรงดันต่ำกว่าพิกัดมักเกิดขึ้นจากส่วนของแหล่งจ่ายไฟหลัก สำหรับระบบขับเคลื่อนที่ทดลองสร้างขึ้น การตรวจจับกระแสและแรงดันผิดปกติจะกระทำที่บัลไฟตรงที่ตำแหน่งดังในรูปที่ 3.7 ในการตรวจวัดกระแสจะใช้การวัดแรงดันตกคร่อมความต้านทาน  $R_u$  ซึ่งเป็นความต้านทานค่าต่ำๆ วงจรตรวจจับกระแสและแรงดันผิดปกติมีลักษณะดังในรูปที่ 3.8 เมื่อวงจรนี้ตรวจสอบพบความผิดปกติก็จะส่งสัญญาณ "FAULT" (ต้นตัวในสถานะ "0") ผ่านตัวเชื่อมต่อทางแสง (Optocoupler) OC1 ซึ่งใช้แยกจุดอ้างอิงทางไฟฟ้า ไปยังชุดควบคุมเพื่อทำหน้าที่ป้องกันระบบขับเคลื่อนต่อไป

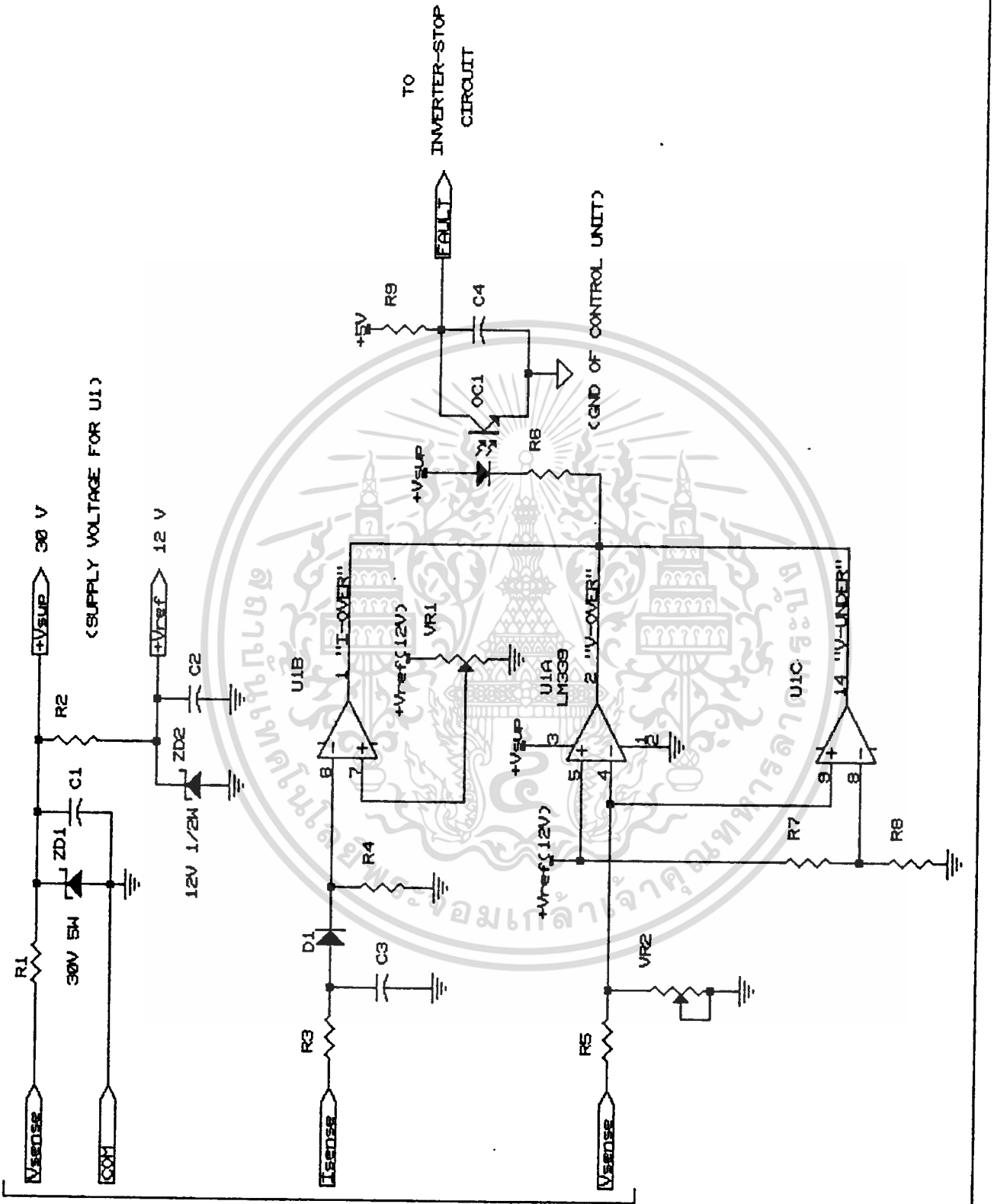


FIG. 3.7

รูปที่ 3.8 วงจรตรวจจ่ายกระแสและแรงดันผิดปกติ

เอกสารนี้เป็นเอกสารที่สงวนลิขสิทธิ์การใช้งานเพื่อการศึกษาเท่านั้น ไม่อนุญาตให้นำไปใช้ประโยชน์ด้วยการ  
 ไม่ว่าจะกรณีใดๆทั้งสิ้น อีกทั้งห้ามมิให้ดัดแปลงเนื้อหา และต้องอ้างอิงถึงเจ้าของเอกสารทุกครั้งที่มีการนำไปใช้

### 3.5 วงจรขับไบมอสสวิทช์

วงจรขับไบมอสสวิทช์ สามารถนำวงจรขับมอสเฟตกำลังมาใช้ขับได้โดยตรง โดยต่อแรงดันไฟตรง +VBB เลี้ยงไว้ที่ขั้วเบสเทียบกับขั้วซอร์สเป็นส่วนที่เพิ่มเติม ดังที่กล่าวมาแล้วในหัวข้อที่ 3.2

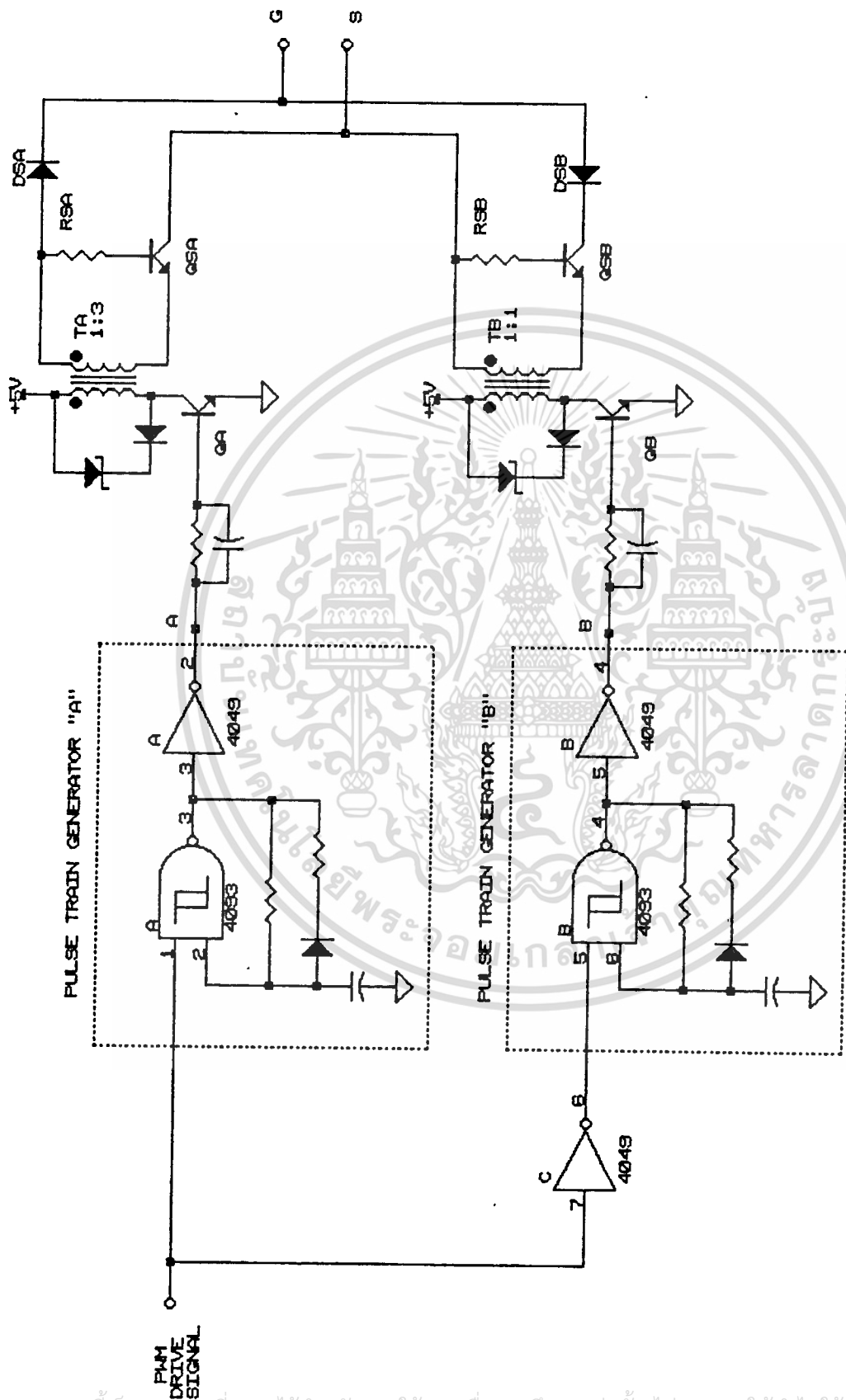
ในชุดต้นแบบวงจรขับมอสเฟตกำลังในไบมอสสวิทช์มีลักษณะดังในรูปที่ 3.9 ข้อดีของวงจรมีดังต่อไปนี้

- แรงดัน  $V_{GS}$  แยกจุดอ้างอิงทางไฟฟ้าโดยอิสระจากชุดควบคุม
- ใช้งานได้ในช่วงความถี่กว้าง จาก 0 Hz ไปจนถึงระดับ 10 KHz
- ในสภาวะหยุดนำกระแสให้แรงดัน  $V_{GS}$  เป็นไฟลบ ทำให้ทนค่า  $dv/dt$  ได้สูงมาก
- เวลาระหว่างระหว่างสัญญาณอินพุตและแรงดันเอาต์พุต  $V_{GS}$  เกิดขึ้นน้อยมาก
- วงจรมีขนาดเล็ก น้ำหนักเบาและต้นทุนต่ำ

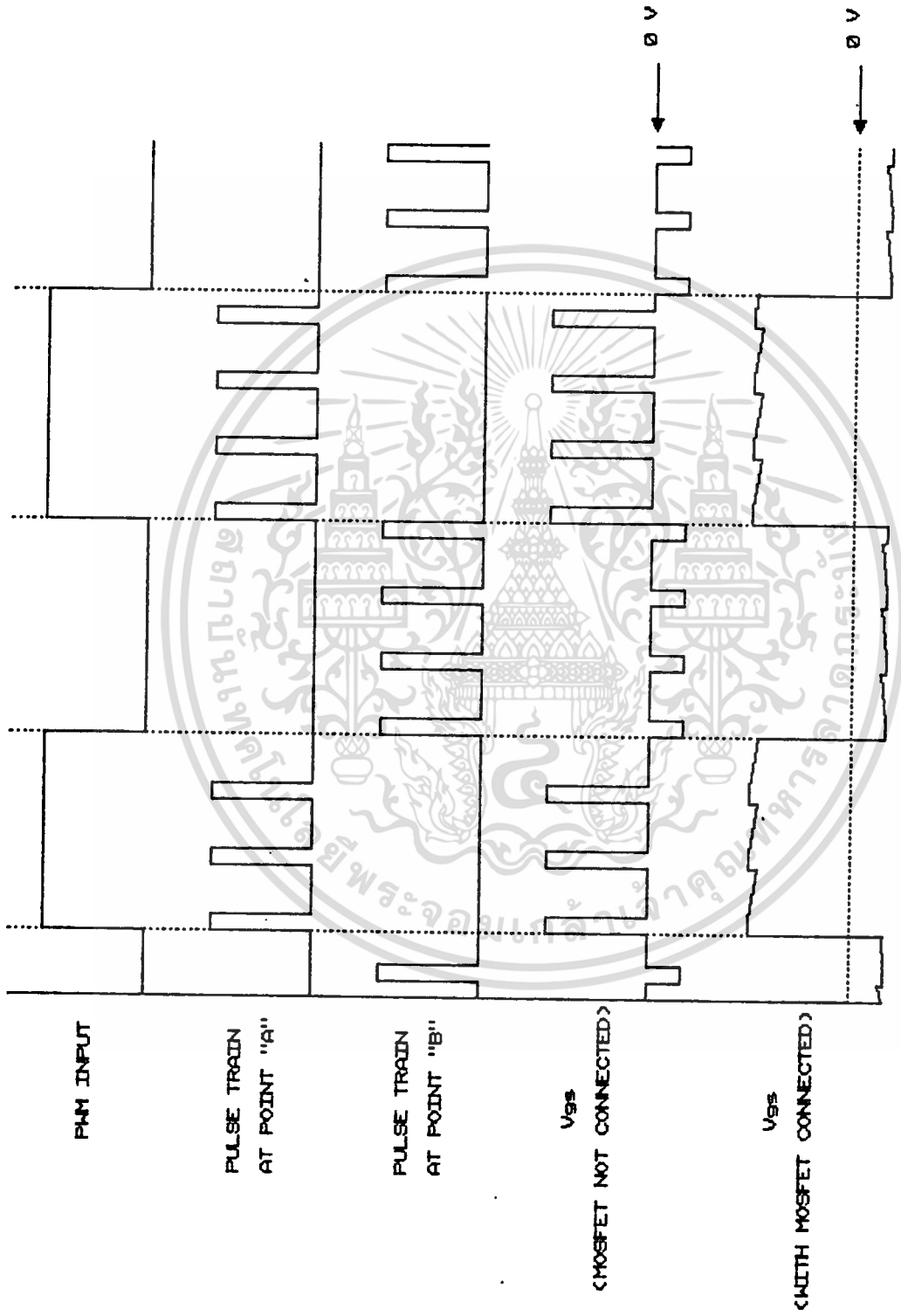
การทำงานของวงจรมีดังนี้ เมื่อสัญญาณอินพุตเข้าสู่สถานะ "1" ทำให้ตัวกำเนิดขบวนสัญญาณพัลส์ "A" (pulse train generator "A") สร้างขบวนพัลส์ความถี่สูงเพื่อขับทรานซิสเตอร์ QA ซึ่งจะขับหม้อแปลงพัลส์เพื่อส่งขบวนสัญญาณพัลส์ไปยังด้านทุติยภูมิของหม้อแปลงพัลส์ ในช่วงที่ขบวนพัลส์เป็นบวกมีผลให้ทรานซิสเตอร์ QSA และไดโอด DSA นำกระแส ทำให้เกิดพัลส์บวกตกคร่อมที่เอาต์พุต

เมื่อสัญญาณอินพุตเข้าสู่สถานะ "0" ตัวกำเนิดขบวนสัญญาณพัลส์ "A" จะหยุดทำงาน และทำให้ตัวกำเนิดขบวนสัญญาณพัลส์ "B" เริ่มทำงาน ขบวนสัญญาณพัลส์จะถูกส่งไปขับทรานซิสเตอร์ QB เพื่อขับหม้อแปลงพัลส์ และทำให้เกิดขบวนสัญญาณพัลส์ทางด้านทุติยภูมิของหม้อแปลงพัลส์ ในช่วงที่ขบวนพัลส์เป็นบวกมีผลให้ทรานซิสเตอร์ QSB และไดโอด DSB นำกระแส ทำให้เกิดขบวนพัลส์ลบตกคร่อมที่เอาต์พุต

เนื่องจากขั้ว เกท-ซอร์ส ของมอสเฟตกำลังมีลักษณะเป็นตัวเก็บประจุค่าต่ำๆ เมื่อต่อสัญญาณเอาต์พุตของวงจรเข้ากับมอสเฟตกำลัง มีผลให้ขบวนสัญญาณพัลส์ที่เอาต์พุตถูกรอง และมีลักษณะรูปคลื่นใกล้เคียงกับสัญญาณอินพุตของวงจร ลักษณะของรูปคลื่นที่จุดต่าง ๆ ของวงจรขับถูกแสดงในรูปที่ 3.10



รูปที่ 3.9 วงจรขับเคลื่อนมอเตอร์เฟดกำลังในโมดสวิตช์



รูปที่ 3.10 แสดงรูปคลื่นที่จุดต่างๆในวงจรขับ

## บทที่ 4

### ชุดควบคุมระบบขับเคลื่อนมอเตอร์เหนี่ยวนำ

#### 4.1 บทนำ

ในบทนี้ กล่าวถึงส่วนประกอบต่างๆของชุดควบคุมระบบขับเคลื่อนมอเตอร์เหนี่ยวนำ ทั้งคุณสมบัติ ลักษณะทางฮาร์ดแวร์ และลักษณะทางซอฟต์แวร์ ชุดควบคุมนี้ออกแบบโดยการใช้ ไมโครโปรเซสเซอร์ อินเทล 8031 เป็นฐาน ซึ่งไมโครโปรเซสเซอร์ตระกูลนี้นิยมนำมาประยุกต์ใช้งานอย่างแพร่หลาย สำหรับข้อมูลต่างๆเกี่ยวกับไมโครโปรเซสเซอร์เบอร์นี้ มีรายละเอียดในเอกสารอ้างอิง[14] ในส่วนท้ายของบทนี้ ยังได้กล่าวถึงผลการวิจัยโดยทำการทดสอบชุดต้นแบบของระบบขับเคลื่อนมอเตอร์เหนี่ยวนำที่ได้ทดลองสร้างขึ้นด้วย

#### 4.2 คุณสมบัติของชุดควบคุม

โครงสร้างของชุดควบคุมระบบขับเคลื่อนมอเตอร์เหนี่ยวนำมีลักษณะดังไดอะแกรมในรูปที่ 4.1 คุณสมบัติต่าง ๆ ของชุดควบคุมถูกกำหนดด้วยซอฟต์แวร์ในระบบพีซี โดยมีจุดประสงค์ที่จะควบคุมการทำงานของชุดไมโครอินเวอร์เตอร์ด้วยสัญญาณพัลส์บวล์เอเอ็มให้ขับเคลื่อนตามความต้องการของผู้ใช้ระบบ และจะต้องไม่ทำให้ระบบขับเคลื่อนเกิดความเสียหาย

##### 4.2.1 สัญญาณอินพุตควบคุม

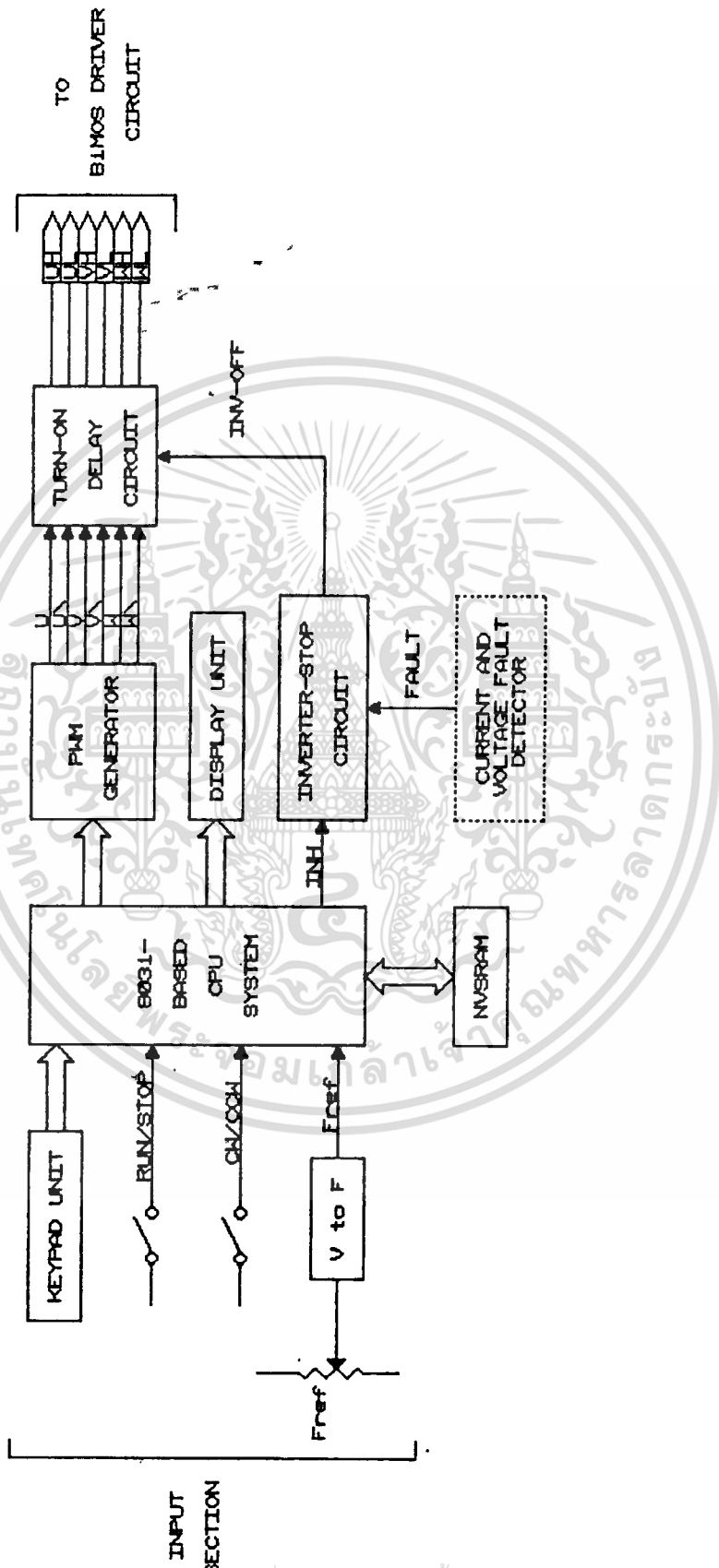
สัญญาณอินพุตที่ใช้ควบคุมการทำงานของระบบมีดังนี้

**RUN/STOP** :- เป็นสัญญาณคำสั่งในรูปสถานะ ("0" หรือ "1") เพื่อควบคุมให้เกิดการหมุนหรือหยุดหมุนมอเตอร์เหนี่ยวนำ

**CW/CCW** :- เป็นสัญญาณคำสั่งในรูปสถานะเพื่อใช้ควบคุมการหมุนของมอเตอร์เหนี่ยวนำให้ไปในทิศทางตามเข็มนาฬิกา (CW) หรือทวนเข็มนาฬิกา (CCW)

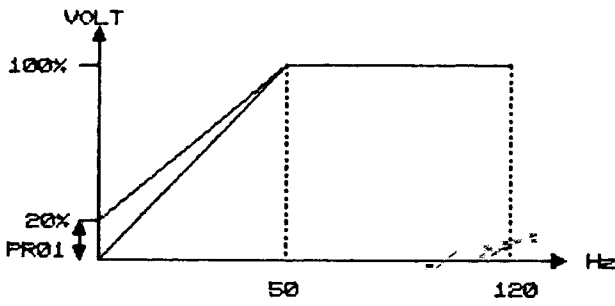
**Fref** :- เป็นสัญญาณอนาล็อกในรูปแรงดัน ซึ่งใช้สำหรับปรับเปลี่ยนค่าความถี่อ้างอิงที่ผู้ใช้ระบบต้องการป้อนให้กับมอเตอร์เหนี่ยวนำ อย่างไรก็ตามสัญญาณนี้อาจ

เอกสารนี้เป็นเอกสารที่สงวนไว้สำหรับการศึกษาเท่านั้น ไม่อนุญาตให้นำไปใช้ประโยชน์ด้านการค้า  
 ถูกละเลยในกรณีที่คุณใช้ระบบที่กำหนดให้อ่านค่าความถี่อ้างอิงจากชุดป้อนกด  
 ไม่ว่าจะกรณีใดๆทั้งสิ้น อีกทั้งห้ามมิให้ตัดแปลงเนื้อหา และต้องอ้างอิงถึงเจ้าของเอกสารทุกครั้งที่มีการใช้

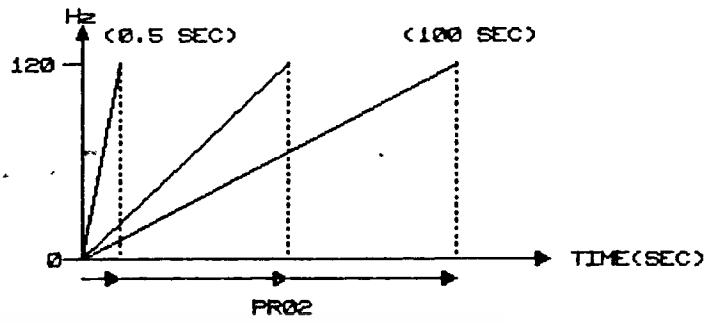


รูปที่ 4.1 ไดอะแกรมโครงสร้างของชุดควบคุมระบบขับเคลื่อนมอเตอร์เหนี่ยวนำ

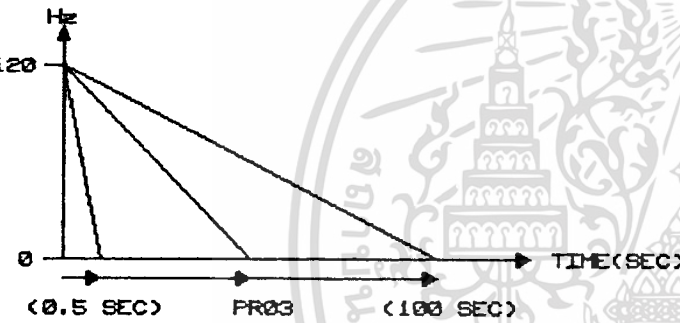
เอกสารนี้เป็นเอกสารที่สงวนไว้สำหรับกรใช้ภายในเพื่อการศึกษาเท่านั้น ไม่อนุญาตให้นำไปใช้ประโยชน์ด้านการค้า  
ไม่ว่ากรณีใดๆทั้งสิ้น อีกทั้งห้ามมิให้ตัดแปลงเนื้อหา และต้องอ้างอิงถึงเจ้าของเอกสารทุกครั้งที่มีการนำไปใช้



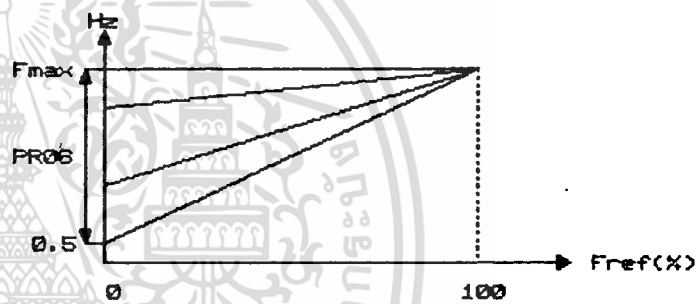
(ก)



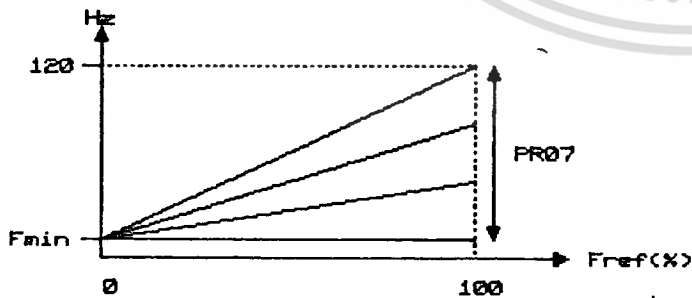
(ข)



(ค)



(ง)



(จ)

เอกสารนี้เป็นเอกสารที่สแกนไว้สำหรับการใช้งานเพื่อการศึกษาเท่านั้น ไม่อนุญาตให้นำไปใช้ประโยชน์ด้านการค้า  
 รูปที่ 4.2 ลักษณะการปรับตั้งค่าพารามิเตอร์ต่างๆ  
 ไม่ว่าจะกรณีใดๆทั้งสิ้น อีกทั้งห้ามมิให้ตัดแปลงเนื้อหา และต้องอ้างอิงถึงเจ้าของเอกสารทุกครั้งที่มีการนำไปใช้

#### 4.2.2 การเข้าถึงค่าพารามิเตอร์

เพื่อให้ระบบขับเคลื่อนสามารถประยุกต์ใช้งานกับโหลดต่างๆ ได้อย่างเหมาะสม การปรับตั้งค่าพารามิเตอร์ของระบบขับเคลื่อนให้เข้ากับลักษณะงานของโหลดแต่ละชนิดจึงเป็นสิ่งจำเป็น การเข้าถึงค่าพารามิเตอร์ต่างๆ ของผู้ให้ระบบสามารถติดต่อผ่านทางชุดปุ่มกดและชุดแสดงผล ชุดปุ่มกดใช้สำหรับเข้าถึงตำแหน่งพารามิเตอร์ และข้อมูลในตำแหน่งพารามิเตอร์ต่าง ๆ ส่วนชุดแสดงผลใช้บอกสถานะของการติดต่อกับพารามิเตอร์แก่ผู้ใช้ระบบ และยังใช้บอกสถานะของระบบขับเคลื่อนมอเตอร์เหนี่ยวนำด้วย

ปุ่มกดในชุดปุ่มกดมีจำนวนสามปุ่มด้วยกันคือ ปุ่มกด "PR", "UP", และ "DWN" ปุ่มกด "PR" ใช้สำหรับสลับเปลี่ยนโหมดการเข้าถึงพารามิเตอร์ ซึ่งมีอยู่สองโหมดคือ โหมดตำแหน่งพารามิเตอร์และโหมดข้อมูลพารามิเตอร์ เมื่ออยู่ในโหมดตำแหน่งพารามิเตอร์ ปุ่มกด "UP" และ "DWN" จะใช้ในการเพิ่มและลดเลขตำแหน่งของพารามิเตอร์ตามลำดับ เพื่อใช้ในการเข้าถึงตำแหน่งพารามิเตอร์ที่ต้องการ และเมื่ออยู่ในโหมดข้อมูลพารามิเตอร์ ปุ่มกด "UP" และ "DWN" จะใช้ในการเพิ่มและลดค่าของข้อมูลพารามิเตอร์ในตำแหน่งพารามิเตอร์ที่เข้าถึง เมื่อเลือกค่าได้ตามต้องการและทำการกดปุ่ม "PR" จะทำให้ข้อมูลที่ถูกปรับตั้งใหม่ถูกนำไปเก็บในหน่วยความจำชนิด NVSRAM พร้อมกับเข้าสู่โหมดตำแหน่งพารามิเตอร์ ซึ่งจะบอกแก่ผู้ใช้ระบบทางชุดแสดงผล พารามิเตอร์ต่างๆ มีความหมายและรายละเอียดดังต่อไปนี้

- PRO0 (System status) เป็นพารามิเตอร์ที่ชุดควบคุมใช้บอกสถานะของระบบแก่ผู้ใช้ระบบผ่านทางชุดแสดงผล เช่น ความถี่เอาต์พุตเป็นต้น
- PRO1 (Voltage boost) เป็นพารามิเตอร์ที่ใช้สำหรับเสริมแรงดัน เพื่อชดเชยการสูญเสียในขดลวดของมอเตอร์เหนี่ยวนำที่ความถี่ต่ำ และ/หรือ ใช้เพื่อเพิ่มค่าแรงบิดในขณะเริ่มหมุน (Starting torque) โดยสามารถตั้งค่าได้ในช่วง 0.0% ถึง 20.0% ของแรงดันที่ป้อนเข้าสู่อินเวอร์เตอร์ และสามารถเพิ่ม/ลดได้ ขึ้นลง 0.4% การปรับตั้งค่ามีลักษณะดังในรูปที่

4.2 (ก)

- PRO2 (Ramp-up time) เป็นพารามิเตอร์ที่ใช้สำหรับปรับตั้งค่าอัตราการเพิ่มความถี่เอาต์พุตเมื่อต้องการเร่งความเร็วของมอเตอร์เหนี่ยวนำ อัตราการเพิ่มที่ต้องการปรับอยู่ในรูปของเวลาที่ใช้เพิ่มความถี่จาก 0.0 Hz จนถึง 120.0 Hz โดยสามารถปรับตั้งค่าได้ในช่วง 0.4

วินาที ถึง 100 วินาที และสามารถเพิ่ม/ลดได้ขึ้นลง 0.4 วินาที การปรับตั้งค่ามีลักษณะดังไม่ว่ากรณีใดๆทั้งสิ้น อีกทั้งห้ามมิให้ตัดแปรงเนื้อหา และต้องอ้างอิงถึงเจ้าของเอกสารทุกครั้งที่มีการนำไปใช้

ในรูปที่ 4.2 (ข)

- PR03 (Ramp-down time) เป็นพารามิเตอร์สำหรับปรับตั้งค่าอัตราการลดความถี่เอาท์พุท เมื่อต้องการหน่วงความเร็วของมอเตอร์เหนี่ยวนำ อัตราการเพิ่มที่ต้องการปรับอยู่ในรูปของ เวลาที่ใช้ลดความถี่จาก 120.0 Hz จนถึง 0.0 Hz โดยสามารถปรับตั้งค่าได้ในช่วง 0.4 วินาที ถึง 100 วินาที และสามารถเพิ่ม/ลดได้ขั้นละ 0.4 วินาที การปรับตั้งค่ามีลักษณะดัง

ในรูปที่ 4.2 (ค)

- PR04 (Frequency control mode) เป็นพารามิเตอร์ที่ใช้เลือกแหล่งการอ่านค่าความถี่ อ้างอิง  $F_{ref}$  ระหว่าง โฟเทนซีโอมิเตอร์ VR1 กับชุดปุ่มกด
- PR05 (Stop mode) เป็นพารามิเตอร์ที่ใช้เลือกวิธีการหยุดการขับเคลื่อนมอเตอร์ เมื่อได้รับคำสั่ง Stop จากผู้ใช้งานโดยสามารถเลือกได้สองโหมดคือ โหมดลดค่าความถี่เอาท์พุท จนความถี่เป็นศูนย์ (Ramp-down mode) และโหมดระงับการทำงานชุดอินเวอร์เตอร์ (Inhibit mode)
- PR06 (Minimum Frequency) เป็นพารามิเตอร์สำหรับปรับตั้งค่าความถี่ต่ำสุดเมื่อระบบอยู่ในสถานะ Run โดยสามารถปรับตั้งค่าได้ในช่วง 0.5 Hz จนถึง 120.0 Hz (แต่จะต้องไม่เกินค่าความถี่สูงสุดที่ตั้งไว้ใน PR07) และสามารถเพิ่ม/ลดได้ขั้นละ 0.5 Hz การปรับตั้งค่ามีลักษณะดังในรูปที่ 4.2 (ง)
- PR07 (Maximum Frequency) เป็นพารามิเตอร์สำหรับปรับตั้งค่าความถี่สูงสุดเมื่อระบบอยู่ในสถานะ Run โดยสามารถปรับตั้งค่าได้ในช่วง 0.5 Hz จนถึง 120.0 Hz (แต่จะต้องไม่ต่ำกว่าค่าความถี่ต่ำสุดที่ตั้งไว้ใน PR06) และสามารถเพิ่ม/ลดได้ขั้นละ 0.5 Hz การปรับตั้งค่ามีลักษณะดังในรูปที่ 4.2 (จ)
- PR08 (Digital set-point frequency) เป็นพารามิเตอร์ที่ใช้สำหรับปรับตั้งค่าความถี่อ้างอิง  $F_{ref}$  เมื่อเลือกโหมดการควบคุมความถี่ด้วยชุดปุ่มกด (ที่ PR04) โดยสามารถปรับตั้งค่าได้จากค่าความถี่ต่ำสุดที่ตั้งไว้ใน PR06 จนถึงความถี่สูงสุดที่ตั้งไว้ใน PR07 และสามารถเพิ่ม/ลดได้ขั้นละ 0.5 Hz

เอกสารนี้เป็นเอกสารที่สงวนไว้สำหรับการใช้งานเพื่อการศึกษาเท่านั้น ไม่อนุญาตให้นำไปใช้ประโยชน์ด้านการค้า ไม่ว่าจะกรณีใดๆทั้งสิ้น อีกทั้งห้ามมิให้ตัดแปลงเนื้อหา และต้องอ้างอิงถึงเจ้าของเอกสารทุกครั้งที่มีการนำไปใช้

การปรับตั้งค่าความถี่ต่ำสุด (ที่ PR06) และความถี่สูงสุด (ที่ PR07) นั้น จะมีผลต่อค่าความถี่อ้างอิง  $F_{ref}$  ที่อ่านค่าจาก VR1 ด้วย ตาราง 4.1 เป็นการสรุป พิสัยและความละเอียดในการปรับตั้งค่าพารามิเตอร์ต่าง ๆ

ตารางที่ 4.1

พิสัยและความละเอียดในการปรับตั้งค่าพารามิเตอร์

หมายเลขพารามิเตอร์	ชื่อพารามิเตอร์	พิสัยการตั้งค่า	ความละเอียดการตั้งค่า
PRO0	System status	-	-
PRO1	Voltage boost	0.0 % - 20.0 %	0.4 %
PRO2	Ramp-up time	0.4 - 100.0 sec	0.4 sec
PRO3	Ramp-down time	0.4 - 100.0 sec	0.4 sec
PRO4	Freq control mode	000 - potentiometer 001 - keypad	-
PRO5	Stop mode	000 - ramp down 001 - inhibit	-
PRO6	Minimum freq.	0.5 - 120.0 Hz	0.5 Hz
PRO7	Maximum freq.	0.5 - 120.0 Hz	0.5 Hz
PRO8	Digital set-point freq.	0.5 - 120.0 Hz	0.5 Hz

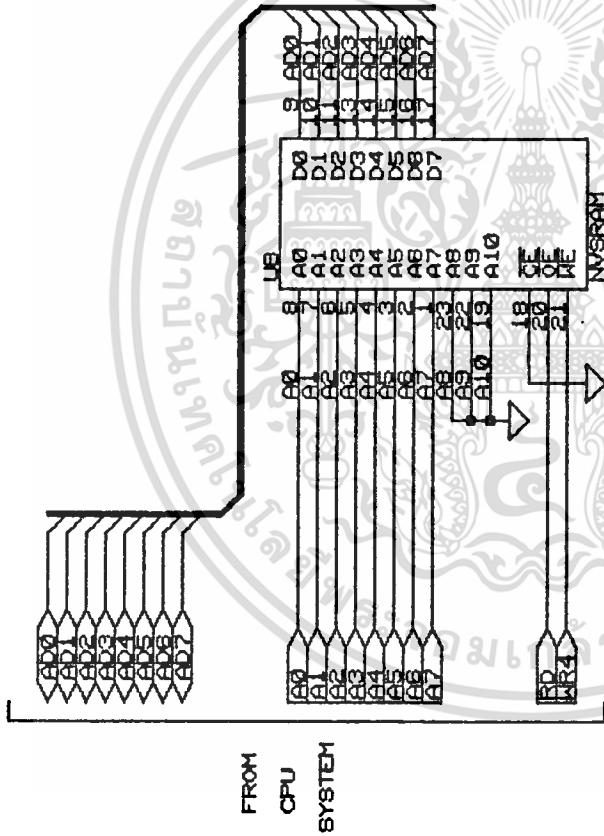
เอกสารนี้เป็นเอกสารที่สงวนไว้สำหรับการใช้งานเพื่อการศึกษาเท่านั้น ไม่อนุญาตให้นำไปใช้ประโยชน์ด้านการค้าไม่ว่ากรณีใดๆทั้งสิ้น อีกทั้งห้ามมิให้ตัดแปลงเนื้อหา และต้องอ้างอิงถึงเจ้าของเอกสารทุกครั้งที่มีการนำไปใช้

#### 4.3 ลักษณะทางฮาร์ดแวร์ของชุดควบคุม

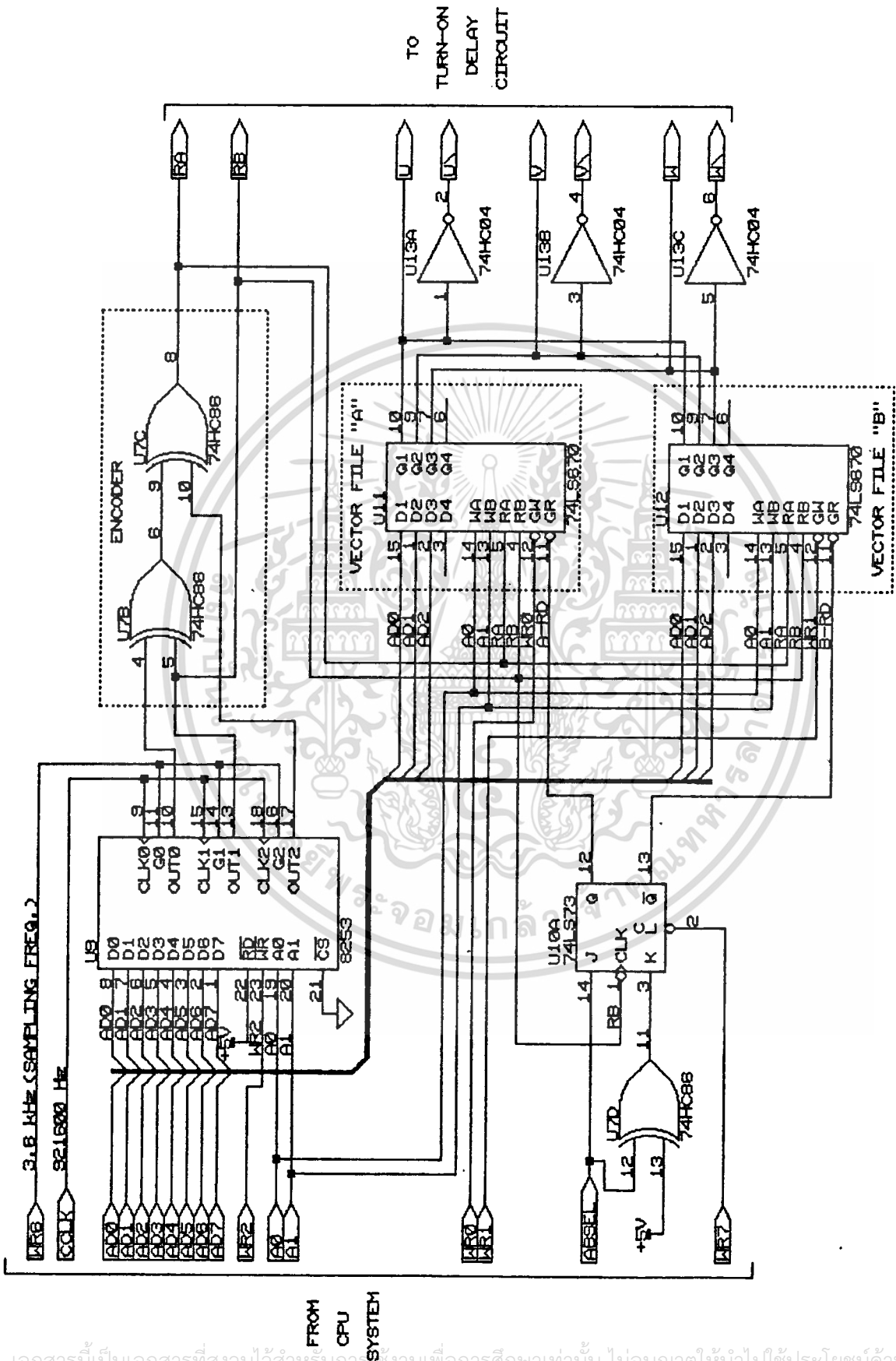
จากโครงสร้างของชุดควบคุมดังแสดงในรูปที่ 4.1 สามารถนำมาเขียนรายละเอียดทางฮาร์ดแวร์ดังในรูปที่ 4.3 ระบบซีพียูซึ่งอยู่บนฐานของไมโครโปรเซสเซอร์ 8031 (รูปที่ 4.3 (ก)) ใช้เป็นศูนย์กลางควบคุมการทำงานของระบบโดยเป้าหมายการทำงานถูกกำหนดด้วยซอฟต์แวร์ สัญญาณอินพุตต่าง ๆ ที่อยู่ในรูปตรรก สามารถป้อนเข้าสู่พอร์ทของ 8031 ได้โดยตรง สำหรับสัญญาณความถี่อ้างอิง Fref ซึ่งเป็นสัญญาณอนาล็อกในรูปแรงดัน จะถูกแปลงให้อยู่ในรูปของพัลส์ความถี่ โดยใช้ไอซี U4 เป็นหลัก แล้วป้อนเข้าสู่ตัวนับภายในทางขา T1 ของ 8031 พัลส์ของพัลส์ความถี่ถูกกำหนดให้อยู่ในช่วง 0-20 KHz รูปที่ 4.3 (ข) แสดงการเชื่อมต่อ NVSRAM เข้ากับระบบซีพียู NVSRAM นี้ใช้เป็นแหล่งเก็บค่าพารามิเตอร์ PRO1 ถึง PROB ซึ่งถูกตั้งค่าให้เหมาะกับโหลดของระบบขับเคลื่อนโดยผู้ใช้ระบบเพื่อจะได้ไม่ต้องทำการตั้งค่าใหม่ทุกครั้งที่มีการเริ่มใช้งานหรือมีการรีเซ็ตระบบ

ส่วนวงจรกำเนิดสัญญาณพิตช์บลิวเอ็ม เป็นส่วนฮาร์ดแวร์ที่สำคัญมากส่วนหนึ่งของชุดควบคุม โดยทำงานร่วมกับซอฟต์แวร์อย่างใกล้ชิด จากรูปที่ 4.3 (ค) ตัวนับภายในไอซี U9 (8253) คือตัวนับ #0, ตัวนับ #1, และตัวนับ #2 ถูกตั้งโปรแกรมให้ทำงานในโหมด 1 (Programmable one-shot) ทั้งหมด และถูกกำหนดให้รับข้อมูลความกว้างพัลส์จากระบบซีพียู คือค่า  $\beta$ ,  $\beta + \alpha_1$ , และ  $\beta + \alpha_2$  ตามลำดับ ส่วนเวกเตอร์ไฟล์ A และ B ใช้เป็นตัวกลางในการเก็บชุดเวกเตอร์แรงดันชั่วคราว ก่อนจะนำไปสร้างรูปคลื่นพิตช์บลิวเอ็ม และจะถูกสลับเปลี่ยนกันใช้งานเมื่อมีการเปลี่ยนชุดเวกเตอร์แรงดันใหม่ในขณะที่เปลี่ยนช่วงมุมของมุมเฟส  $\theta_1$  หลักการคำนวณค่า  $\beta$ ,  $\alpha_2$ , และ  $\alpha_1$  และการเลือกชุดเวกเตอร์แรงดันสำหรับแต่ละช่วงมุมได้อธิบายเอาไว้ในบทที่ 2 และนำมาสร้างในรูปซอฟต์แวร์โดยสับรูนิน PWN-SUB ซึ่งจะได้อีกกล่าวถึงในหัวข้อต่อไป สำหรับการสร้างสัญญาณพิตช์บลิวเอ็มในแต่ละช่วงมุม  $\Delta T$  เริ่มต้นที่ระบบซีพียูส่งสัญญาณ WR6 มากระตุ้นการนับของไอซี U9 โดยสัญญาณ WR6 นี้จะถูกส่งมากระตุ้นในทุก ๆ ช่วงคาบการลุ่ม  $\Delta T$  เอาท์พุทของตัวนับทั้งสามของไอซี U9 จะถูกป้อนเข้าสู่วงจรถ่ายรหัส (Encoder) แล้วนำผลการเข้ารหัสคือสัญญาณ RA และ RB ไปอ่านข้อมูลเวกเตอร์แรงดันในเวกเตอร์ไฟล์ (A หรือ B) ที่ถูกเลือกไว้ ผลของการอ่านจะมีลักษณะของรูปคลื่นพิตช์บลิวเอ็มความต้องการ รูปที่ 4.4 แสดงลักษณะสัญญาณต่างๆ โดยสมมติว่าค่ามุมเฟส  $\theta_1$  อยู่ในช่วงมุมที่ 1 (0-60 องศา) และในระหว่างการอ่านสัญญาณเอาท์พุทนี้ เอลูสารนี้เป็นเอกสารที่สงวนไว้สำหรับครูใช้งานเพื่อการศึกษาเท่านั้น ไม่อนุญาตให้นำไปใช้ประโยชน์ด้านการค้า ระบบซีพียูจะทำการประมวลผลเพื่อนำข้อมูลมาสร้างสัญญาณพิตช์บลิวเอ็มสำหรับช่วงคาบการลุ่มถัดไป



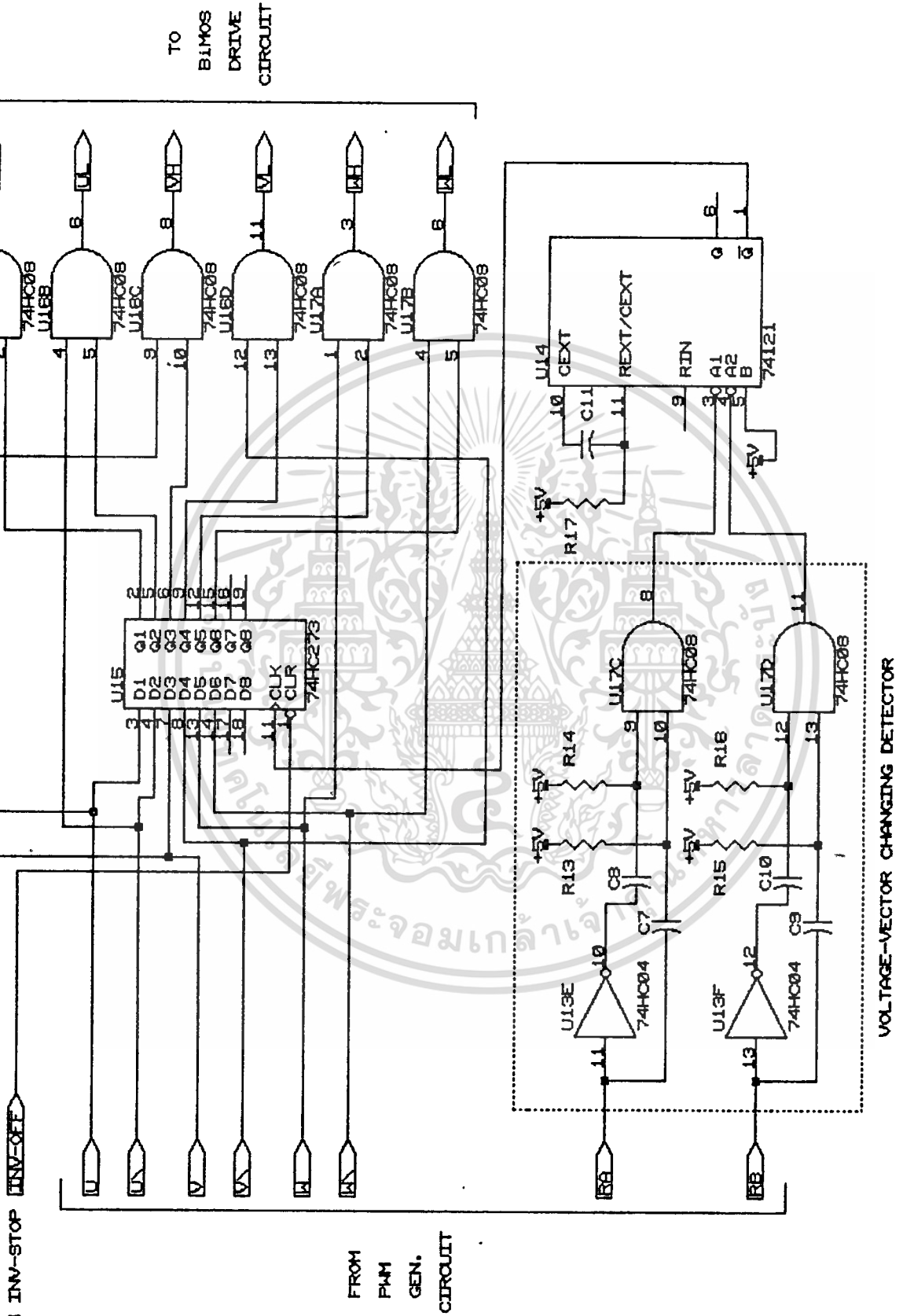


รูปที่ 4.3 (ข) แสดงการต่อ NVSRAM เข้ากับระบบพีซี



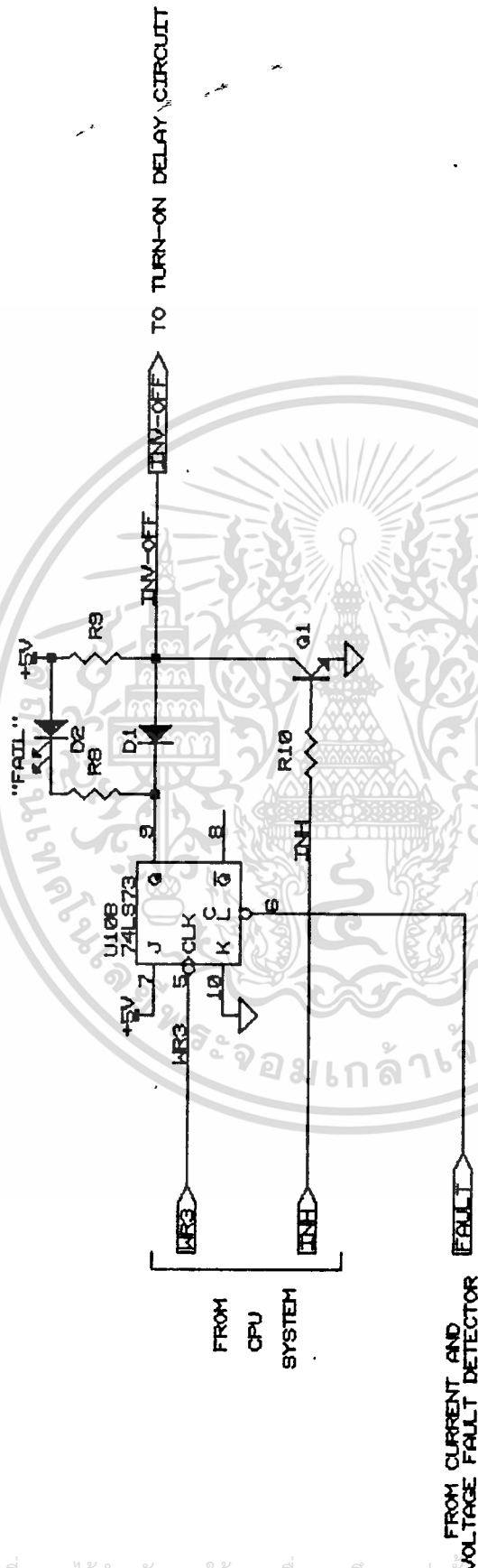
รูปที่ 4.3 (ค) ส่วนวงจรกำเนิดสัญญาณนับเวลา

เอกสารนี้เป็นเอกสารที่สงวนไว้สำหรับการใช้งานเพื่อการศึกษาเท่านั้น ไม่อนุญาตให้นำไปใช้ประโยชน์ด้านการค้า  
ไม่ว่ากรณีใดๆทั้งสิ้น อีกทั้งห้ามมิให้ตัดแปลงเนื้อหา และต้องอ้างอิงถึงเจ้าของเอกสารทุกครั้งที่มีการนำไปใช้

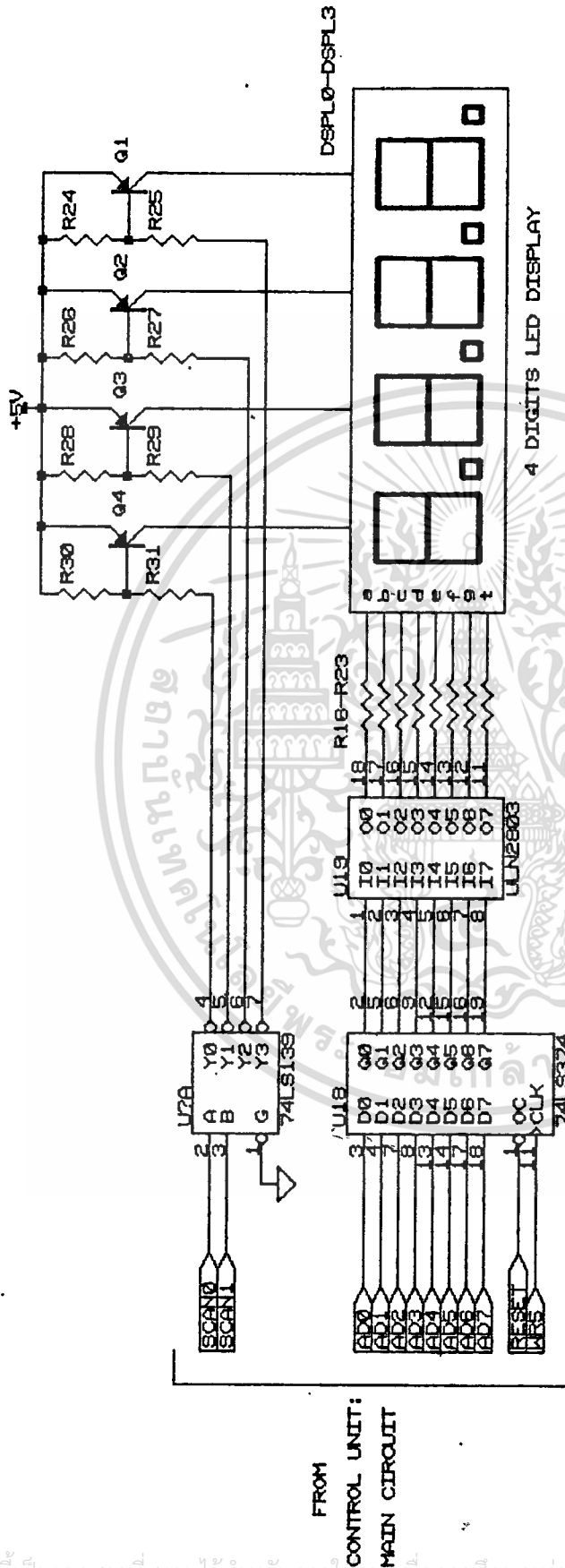


รูปที่ 4.3 (ง) ส่วนวงจรหน่วงเวลาและสวิตช์นำกระแส

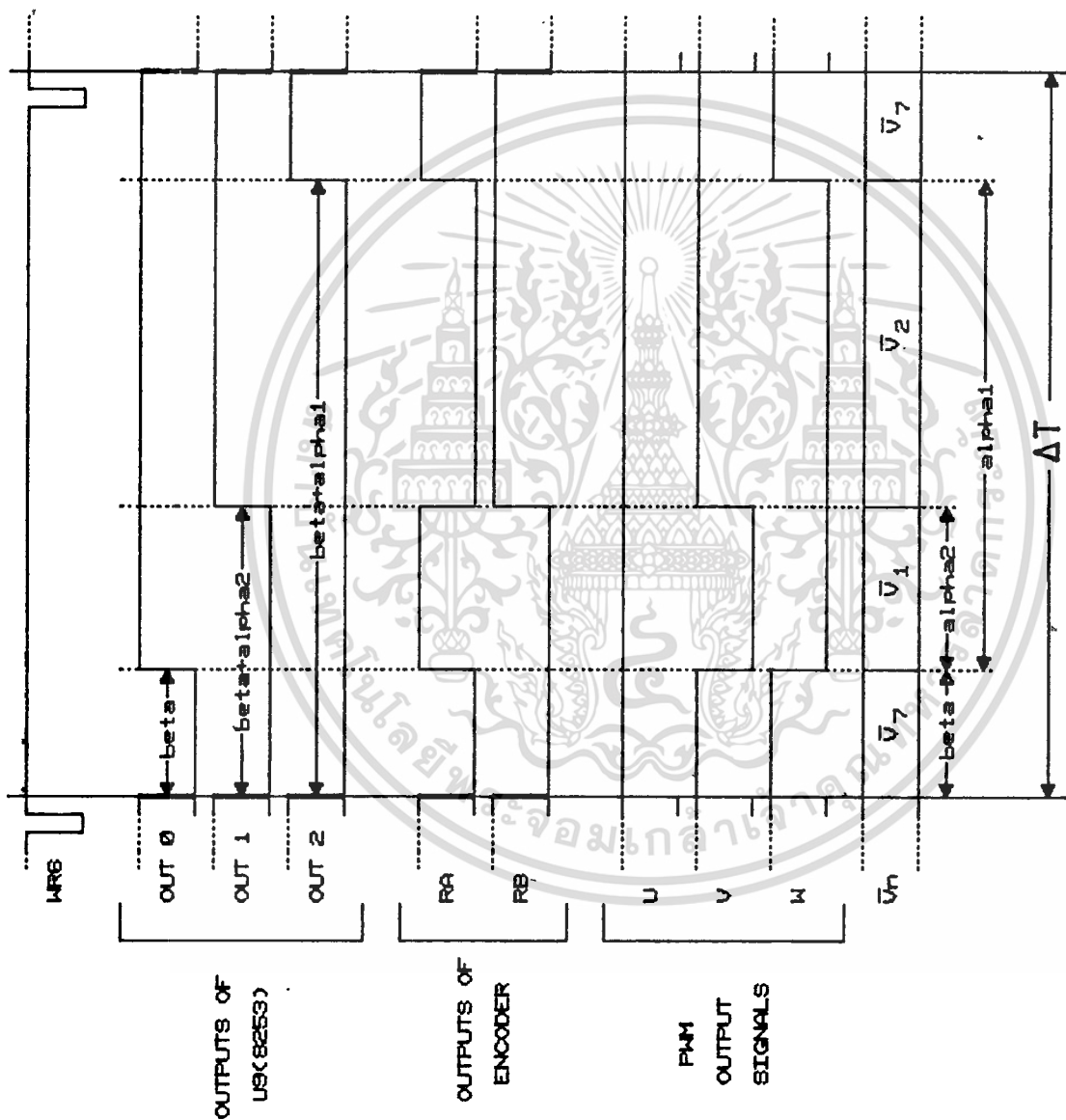
เอกสารนี้เป็นเอกสารที่สงวนไว้สำหรับการใช้งานเพื่อการศึกษาเท่านั้น ไม่อนุญาตให้ทำไปใช้ประโยชน์ด้านการค้า  
ไม่ว่ากรณีใดๆทั้งสิ้น อีกทั้งห้ามมิให้ดัดแปลงเนื้อหา และต้องอ้างอิงถึงเจ้าของเอกสารทุกครั้งที่มีการนำไปใช้



รูปที่ 4.3 (จ) ส่วนวงจรหยุดการทำงานชดอินเวอร์เตอร์



รูปที่ 4.3 (จ) ส่วนวงจรชุดแสดงผล



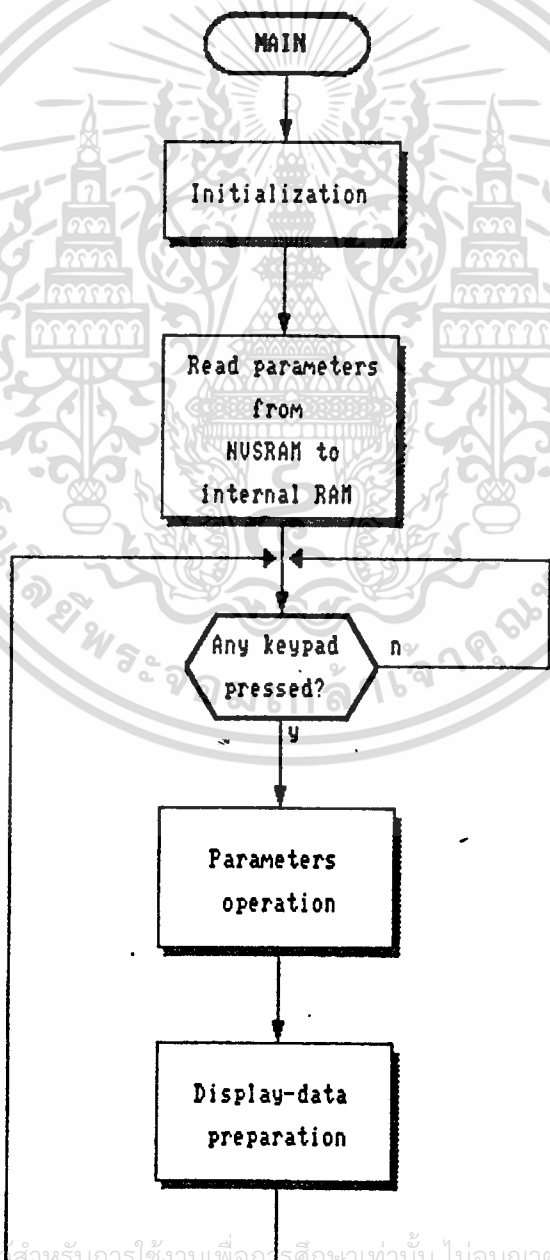
รูปที่ 4.4 แสดงลักษณะสัญญาณที่จุดต่างๆในส่วนวงจรกำเนิดสัญญาณนับเวลาเอม

รูปคลื่นพีดับบลิวเอ็มที่ได้จากวงจรกำเนิดสัญญาณพีดับบลิวเอ็มนี้ ยังไม่สามารถนำไปขับสวิตช์กำลังได้ โดยจะต้องนำมาผ่านกระบวนการหน่วงเวลาที่ขอบขาขึ้นเสียก่อนเพื่อป้องกันการลัดวงจรในบัลไปตรงช่วงเวลาที่ถูหน่วงนี้ จะต้องมากกว่าช่วงเวลาที่ใช้ในการหยุดนำกระแสของตัวสวิตช์กำลังเพื่อให้ชุดอินเวอร์เตอร์ทำงานได้อย่างปลอดภัย วงจรที่ใช้สร้างเวลาหน่วงมีลักษณะดังในรูปที่ 4.3 (ง) วงจรนี้ทำการตรวจจับการเปลี่ยนแปลงสถานะของรูปคลื่นพีดับบลิวเอ็มโดยตรวจจับที่สัญญาณ RA และ RB (สัญญาณเหล่านี้ใช้ในการอ่านข้อมูลเวกเตอร์แรงดันในวงจรกำเนิดสัญญาณพีดับบลิวเอ็ม) และช่วงเวลาที่ถูหน่วงกำหนดโดยค่า R17 และ C11 ในส่วนวงจรโมโนสเตเบิล (U14) การหยุดนำกระแสสวิตช์กำลังทั้งหมดอย่างทันทีทันใดสามารถทำได้ทั้งวงจรนี้เช่นกัน เมื่อสัญญาณ INV-OFF ถูกบังคับให้มีสถานะ "0" โดยแสดงเป็นวงจรดังในรูปที่ 4.3 (จ) ซึ่งเกิดขึ้นได้ในสองกรณี กรณีแรกเมื่อระบบซีพียูบังคับให้สัญญาณ INH มีสถานะ "1" (เกิดขึ้นเมื่อระบบซีพียูได้รับคำสั่ง stop เมื่อค่าใน PR04 เป็น 001) และกรณีหลังเมื่อมีสัญญาณ FAULT จากชุดตรวจจับกระแสและแรงดันผิดปกติ สัญญาณนี้จะถูกคงสถานะ (latch) ด้วยไอซี U10B และบังคับให้ไดโอดเปล่งแสง D2 สว่างขึ้น เพื่อบอกแก่ผู้ใช้ระบบว่ามีสิ่งผิดปกติขึ้นในระบบ การลบล้างสัญญาณ INV-OFF ที่เกิดจากสัญญาณ FAULT นี้ สามารถทำได้เมื่อเริ่มทำการจ่ายไฟใหม่หรือมีการรีเซ็ตระบบเท่านั้น

#### 4.4 ลักษณะทางซอฟต์แวร์ของชุดควบคุม

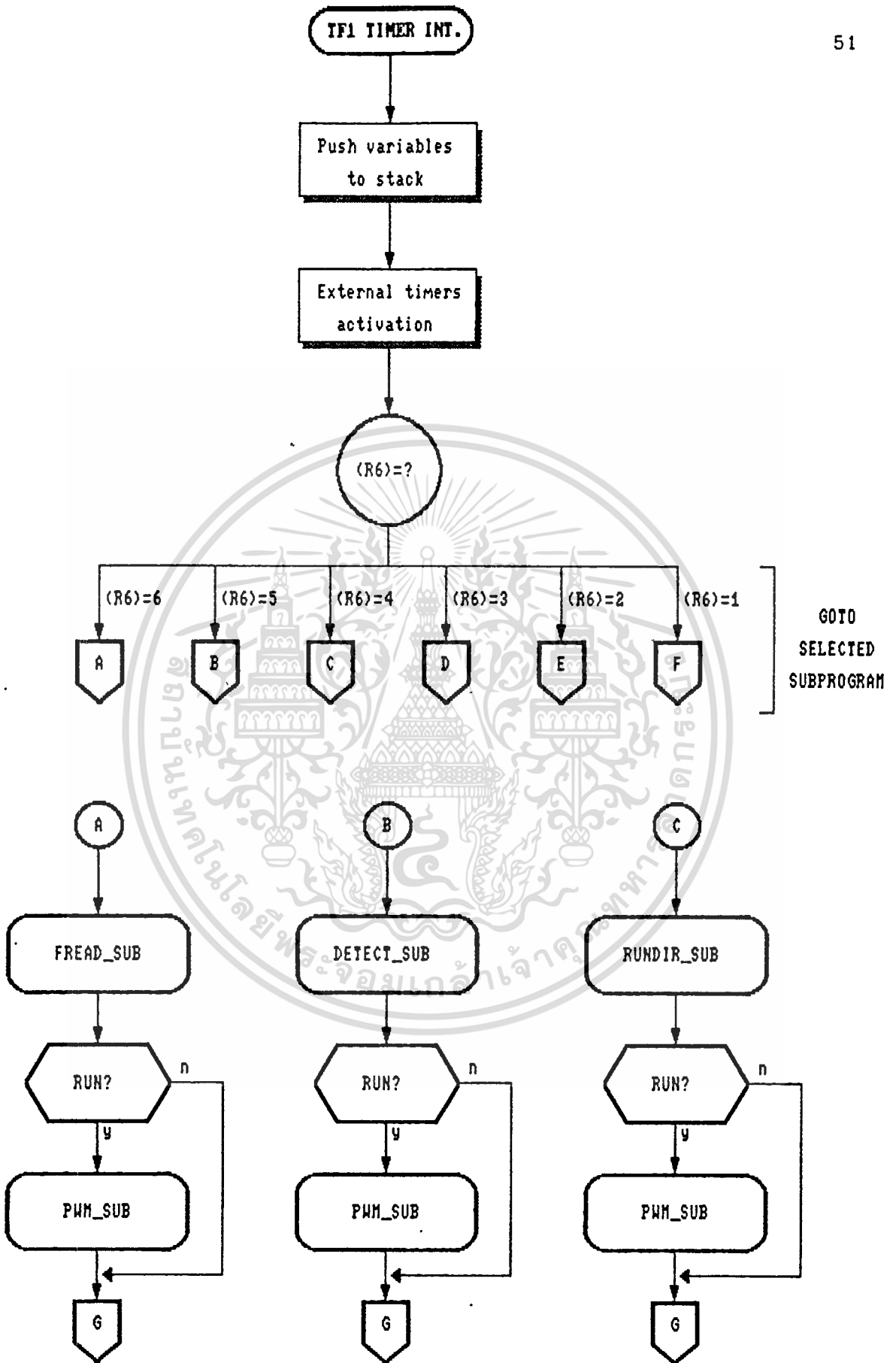
คุณสมบัติต่าง ๆ ของชุดควบคุมดังที่กล่าวมาในหัวข้อที่ 4.2 นั้น ถูกสร้างขึ้นจากซอฟต์แวร์ของชุดควบคุม นอกจากนี้ ซอฟต์แวร์ยังถูกนำมาใช้ในการคำนวณหาค่าความกว้างพัลส์  $\alpha_1$  และ  $\alpha_2$  รวมทั้งตำแหน่งพัลส์  $\beta$  ด้วย โครงสร้างของซอฟต์แวร์ถูกออกแบบให้มีสองส่วนคือ ส่วนโปรแกรมหลัก (Main-program) และส่วนโปรแกรมอินเทอร์รัพท์ที่กระตุ้นด้วยตัวตั้งเวลา (Timer interrupt program) ส่วนโปรแกรมหลักมีลักษณะดังโฟลว์ชาร์ตในรูปที่ 4.5 โดยจะเริ่มทำงานเมื่อเริ่มจ่ายไฟเข้าหรือทำการรีเซ็ตระบบ การทำงานเริ่มจากการกำหนดสถานะเริ่มต้นให้กับระบบ (Initialization) จากนั้นจะทำการโหลดค่าพารามิเตอร์ต่างๆจาก NVSRAM เข้าสู่แรมภายในซีพียูเพื่อให้พร้อมสำหรับการประมวลผลต่อไป การทำงานของส่วนโปรแกรมหลักจะดำเนินต่อไปเมื่อพบว่าการทำงานของชุดโปรแกรม (ตรวจจับโดยเอกสารนี้เป็นเอกสารที่สงวนไว้สำหรับการใช้งานเพื่อการศึกษาเท่านั้น ไม่นอนุญาตให้นำไปใช้ประโยชน์ด้านการค้า สับรุทิน DETECT\_SUB ในส่วนโปรแกรมอินเทอร์รัพท์ ซึ่งจะได้อีกต่อไป) โดยเข้าสู่การทำโปรแกรม

ปฏิบัติการพารามิเตอร์ (Parameter operation) และโปรแกรมจัดเตรียมข้อมูลแสดงผล (Display data preparation) ตามลำดับ โปรแกรมปฏิบัติการพารามิเตอร์นี้เป็นโปรแกรมที่ใช้ควบคุมการปรับเปลี่ยนค่าพารามิเตอร์ต่างๆ รวมทั้งการจัดเก็บค่าพารามิเตอร์ลงใน NVSRAM ส่วนโปรแกรมจัดเตรียมข้อมูลแสดงผล ใช้เตรียมข้อมูลสำหรับนำไปแสดงผล (การนำไปแสดงผล จัดการโดยสับรูทีน DSCAN-SUB ในส่วนโปรแกรมอินเทอร์รัทซึ่งจะได้กล่าวต่อไป) เพื่อแสดงสถานะของระบบขับเคลื่อนแก่ผู้ใช้ระบบและอำนวยความสะดวกในการเข้าถึงค่าพารามิเตอร์ของผู้ใช้ระบบ

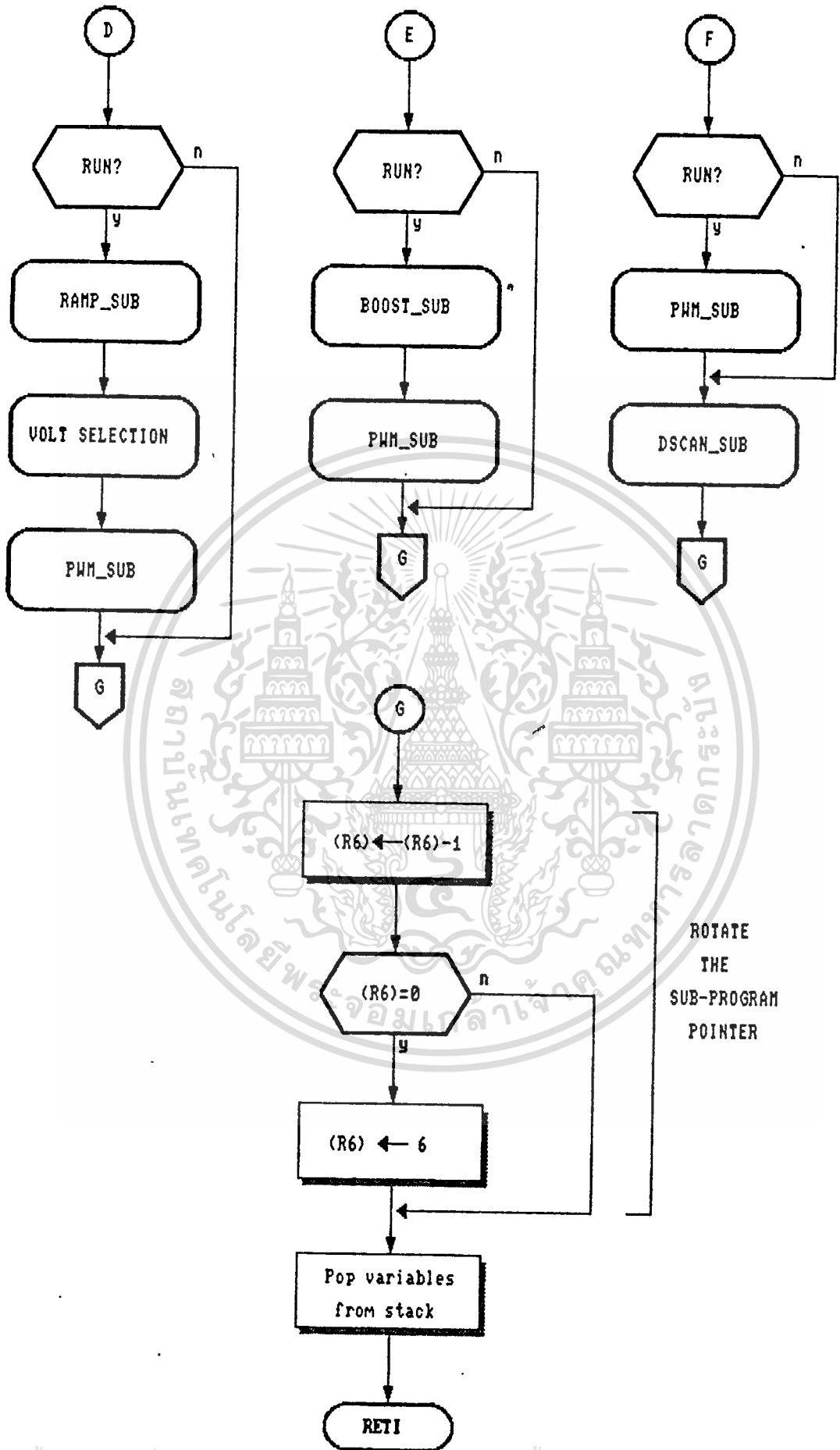


เอกสารนี้เป็นเอกสารที่สงวนลิขสิทธิ์ไว้เพื่อใช้ในการศึกษาเท่านั้น ไม่อนุญาตให้นำไปใช้ประโยชน์ด้านการค้า ไม่ว่ากรณีใดๆทั้งสิ้น อีกทั้งยังมีเหตุตบแต่งเนื้อหา และต้องอ้างอิงถึงเจ้าของเอกสารทุกครั้งที่มีการนำไปใช้

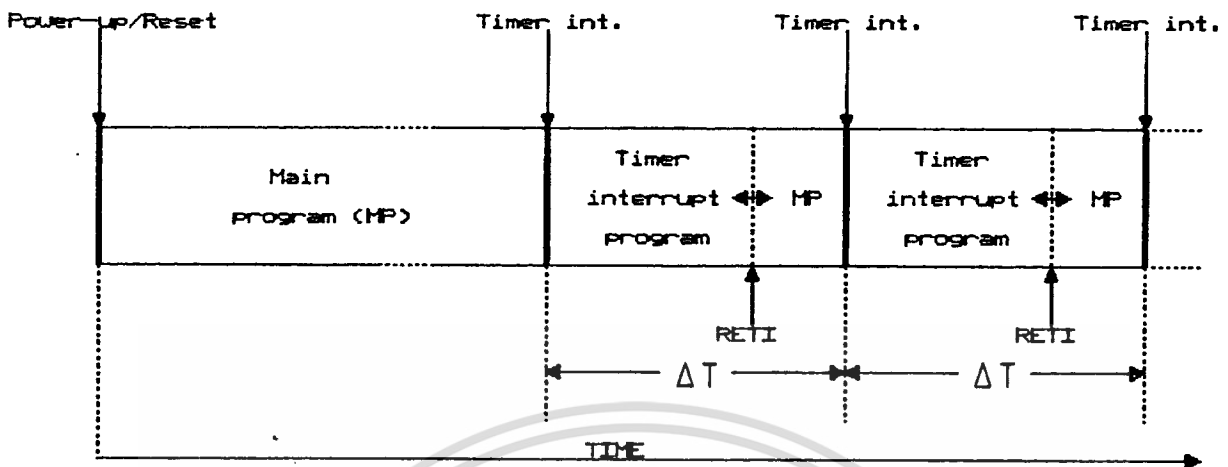
รูปที่ 4.5 โฟลว์ชาร์ตของส่วนโปรแกรมหลัก



เอกสารนี้เป็นเอกสารที่สงวนไว้สำหรับการใช้งานเพื่อการศึกษาเท่านั้น ไม่อนุญาตให้นำไปใช้ประโยชน์ด้านการค้า  
รูปที่ 4.6 โฟลว์ชาร์ตของส่วนโปรแกรมอินเทอร์รัทที่กระตุ้นด้วยตัวตั้งเวลา



เอกสารนี้เป็นเอกสารที่สงวนไว้สำหรับการใช้งานเพื่อการศึกษาเท่านั้น ไม่อนุญาตให้นำไปใช้ประโยชน์ด้านการค้า  
 ไม่ว่ากรณีใดๆทั้งสิ้น อีกทั้งห้ามมิให้ดัดรูปที่ 4.6 (ต่อ) ต้องอ้างอิงถึงเจ้าของเอกสารทุกครั้งที่มีการนำไปใช้

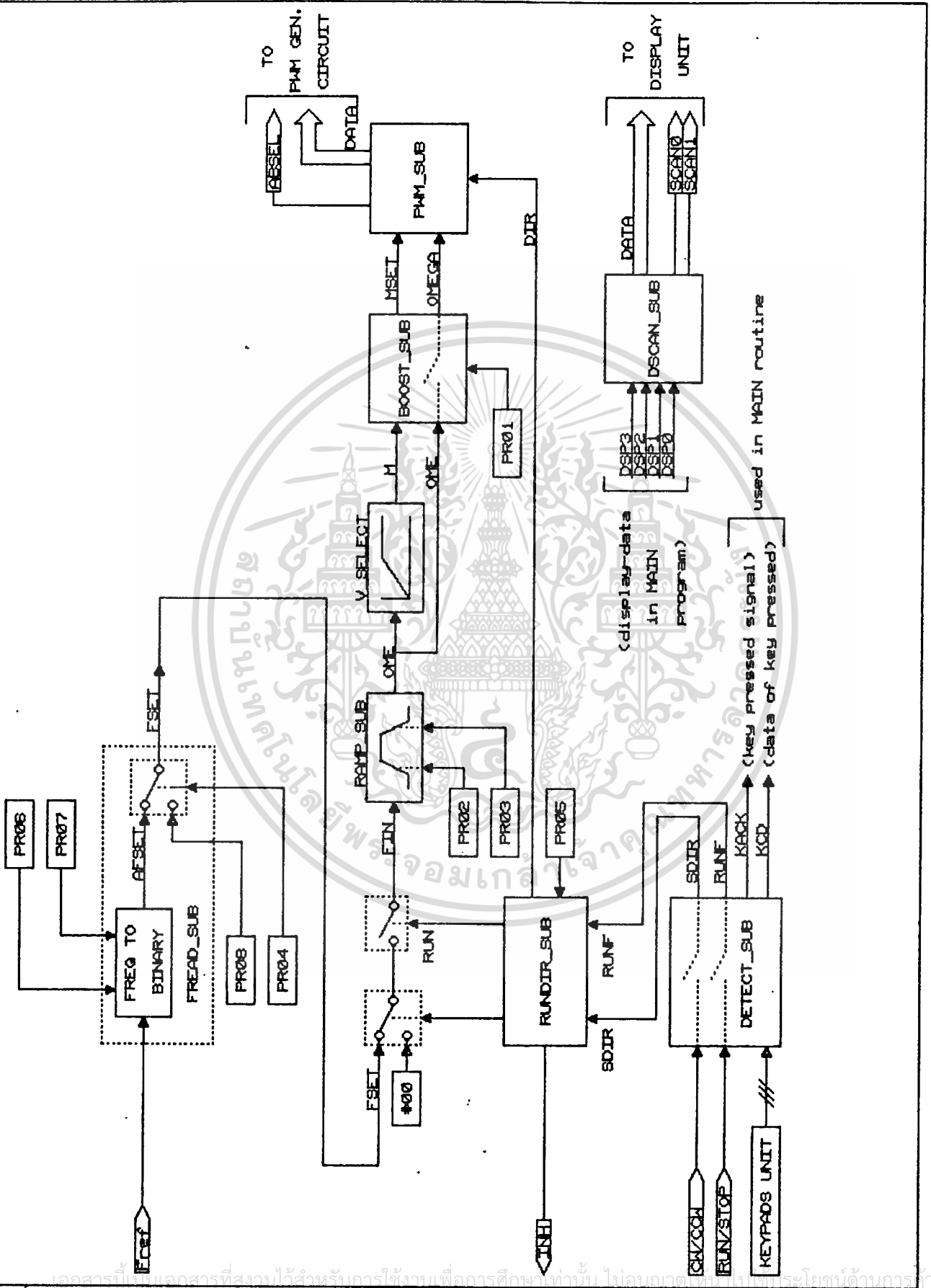


รูปที่ 4.7 แสดงการเข้าทำโปรแกรมของซีพียู

ส่วนโปรแกรมอินเตอร์รัพท์ที่กระตุ้นด้วยตัวตั้งเวลานั้น มีลักษณะดังไฟลว์ชาร์ตในรูปที่ 4.6 เป็นส่วนโปรแกรมที่ถูกกระตุ้นการทำงานด้วยตัวตั้งเวลาภายในซีพียู ในทุกๆช่วงคาบการสลับ  $\Delta T$  ของการสร้างรูปคลื่นพัลส์บลิวเอ็มและการทำงานจะต้องเสร็จสิ้นภายในช่วงเวลาดังกล่าว รูปที่ 4.7 แสดงการเข้าทำงานของซีพียูในแต่ละส่วนโปรแกรม หน้าที่หลักของส่วนโปรแกรมอินเตอร์รัพท์คือการควบคุมการขับเคลื่อนมอเตอร์ให้ทำตามความเหมาะสมตามสถานะของสัญญาณอินพุตและค่าพารามิเตอร์ต่างๆที่กำหนดไว้โดยผู้ใช้ระบบ เนื่องจากการทำส่วนโปรแกรมนี้อาจมีเวลาจำกัด บางส่วนของส่วนโปรแกรมนี้อาจถูกผลัดเปลี่ยนหมุนเวียนกันทำงานโดยใช้คาบเวลาการเข้าสู่โปรแกรมอินเตอร์รัพท์ ( $\Delta T$ ) เป็นฐานเวลา และใช้รีจิสเตอร์ภายใน (R6) เป็นตัวชี้เส้นทางการทำงานสู่โปรแกรมย่อยของซีพียู ความสัมพันธ์ของสับรุตินต่างๆของส่วนโปรแกรมนี้อาจแทนด้วยบล็อกไดอะแกรมดังในรูปที่ 4.8 โดยหน้าที่และการทำงานของสับรุตินต่างๆภายในส่วนโปรแกรมอินเตอร์รัพท์มีดังนี้

**FREAD\_SUB** :- เป็นสับรุตินสำหรับอ่านค่าความถี่อ้างอิง  $F_{ref}$  เข้าสู่ซีพียูโดยความถี่อ้างอิงที่ต้องการใช้งานจะถูกเก็บไว้ในตัวแปร **FSET** การทำงานเริ่มจากการอ่านค่าจำนวนพัลส์จาก **TH1** และ **TL1** ซึ่งเป็นรีจิสเตอร์ภายในซีพียู ซึ่งถูกกำหนดให้เป็นตัวนับจำนวนพัลส์จากวงจรแปลงแรงดันสู่ความถี่ภายในช่วงเวลาที่กำหนดค่าที่อ่านมาได้จะถูกแปลงให้อยู่ในรูปแบบข้อมูลไบนารี การแปลงนี้จะนำค่าใน **PRO6** และ **PRO7**

เอกสารนี้เป็นเอกสารที่สงวนไว้สำหรับการใช้งานเพื่อการศึกษาเท่านั้น ไม่อนุญาตให้นำไปใช้ประโยชน์ด้านการค้า มาทำการคำนวณร่วมกับ ค่าที่ถูกแปลงจะถูกนำมาเก็บไว้ในตัวแปร **AFSET** ก่อน  
ไม่ว่ากรณีใดๆทั้งสิ้น อีกทั้งห้ามเผยแพร่ต่อแบบสงวนเนื้อหา และต้องอ้างอิงถึงเจ้าของเอกสารทุกครั้งที่มีการนำไปใช้



รูปที่ 4.8 ไดอะแกรมแสดงความสัมพันธ์ที่ต่างๆในส่วนโปรแกรมอินเทอร์พาท

เอกสารนี้เป็นเอกสารที่สงวนไว้สำหรับการใช้งานเพื่อการศึกษาเท่านั้น ไม่อนุญาตให้มีการเผยแพร่โดยไม่ได้รับอนุญาตจากหน่วยงานต้นทาง

ไม่ว่ากรณีใดๆทั้งสิ้น อีกทั้งห้ามมิให้ตัดแปลงเนื้อหา และต้องอ้างอิงถึงเจ้าของเอกสารทุกครั้งที่มีการนำไปใช้

จากนั้นจะทำการเลือกค่าความถี่ระหว่างค่าใน AFSET กับ ค่าใน PROB โดยพิจารณาจากค่าใน PRO4 ค่าที่ถูกเลือกจะถูกนำมาเก็บไว้ในตัวแปร FSET เพื่อรอกการนำไปประมวลผลโดยสับรุตินอื่นต่อไป

DETECT\_SUB :- เป็นสับรุตินที่ใช้ในการตรวจจับสถานะของสัญญาณอินพุตควบคุม RUN/STOP และ CW/CCW เพื่อนำไปประมวลผลในสับรุติน RUNDIR-SUB ในรูปของสัญญาณ RUNF และ SDIR ตามลำดับ รวมทั้งตรวจสอบการทำงานของช่างและรับรหัสปุ่มกดจากชุดปุ่มกด เพื่อนำไปทำการประมวลผลในส่วนโปรแกรมหลัก

RUNDIR\_SUB :- เป็นสับรุตินที่ใช้ควบคุม การเดิน/หยุดและทิศทางการขับเคลื่อนมอเตอร์เหนี่ยวนำ โดยนำสัญญาณ RUNF และ SDIR มาทำการประมวลผล รวมทั้งเลือกวิธีการหยุดการทำงานของระบบขับเคลื่อนระหว่างการลดค่าความถี่เอาท์พุตกับการระงับการทำงานชุดอินเวอร์เตอร์ โดยพิจารณาจากค่าใน PRO5 เพื่อควบคุมสัญญาณ INH ซึ่งถูกส่งไปยังวงจรหยุดการทำงานของชุดอินเวอร์เตอร์

RAMP\_SUB :- เป็นสับรุตินที่ควบคุมอัตราการเพิ่ม/ลดความถี่เอาท์พุต เมื่อค่าความถี่เอาท์พุตแตกต่างจากค่าความถี่อ้างอิงโดยการนำค่าใน PRO2 และ PRO3 มาทำการประมวลผล ค่าความถี่เอาท์พุตของสับรุตินนี้จะถูกเก็บไว้ในตัวแปร OME เพื่อใช้เป็นความถี่อินพุตของสับรุติน V\_SELECT และ BOOST\_SUB ต่อไป

V\_SELECT :- เป็นสับรุตินที่ใช้เลือกค่าแรงดัน ซึ่งขึ้นอยู่กับค่าความถี่ในตัวแปร OME โดยเลือกตามลักษณะแรงดันต่อความถี่คงที่ ( $V/f$  constant) เมื่อค่าใน OME มีค่าไม่เกิน 50 Hz และเลือกตามลักษณะแรงดันคงที่ ( $V$  constant) เมื่อค่าใน OME มีค่าในช่วง 50-120 Hz ค่าแรงดันเอาท์พุตที่ถูกเลือก จะถูกเก็บไว้ในตัวแปร M เพื่อใช้เป็นแรงดันอินพุตสำหรับสับรุติน BOOST\_SUB ต่อไป

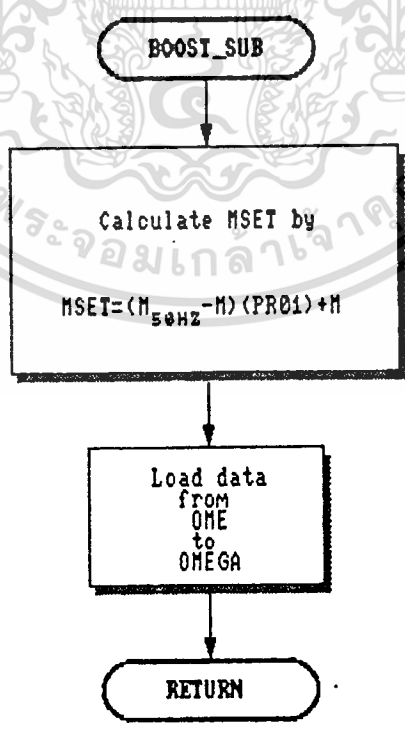
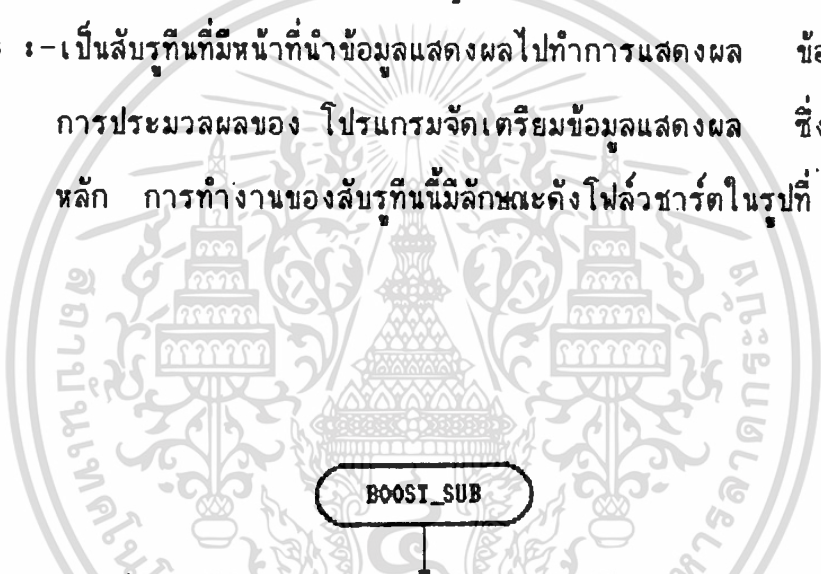
BOOST\_SUB :- เป็นสับรุตินสำหรับเสริมค่าแรงดันที่ความถี่ต่ำ เพื่อชดเชยความสูญเสียจากความต้านทานภายในขดลวด โดยเริ่มจากการนำค่าใน M และ PRO1 มาทำการประมวลผล ผลลัพธ์จะถูกเก็บไว้ในตัวแปร MSET เพื่อเป็นแรงดันอินพุตสำหรับ สับร-

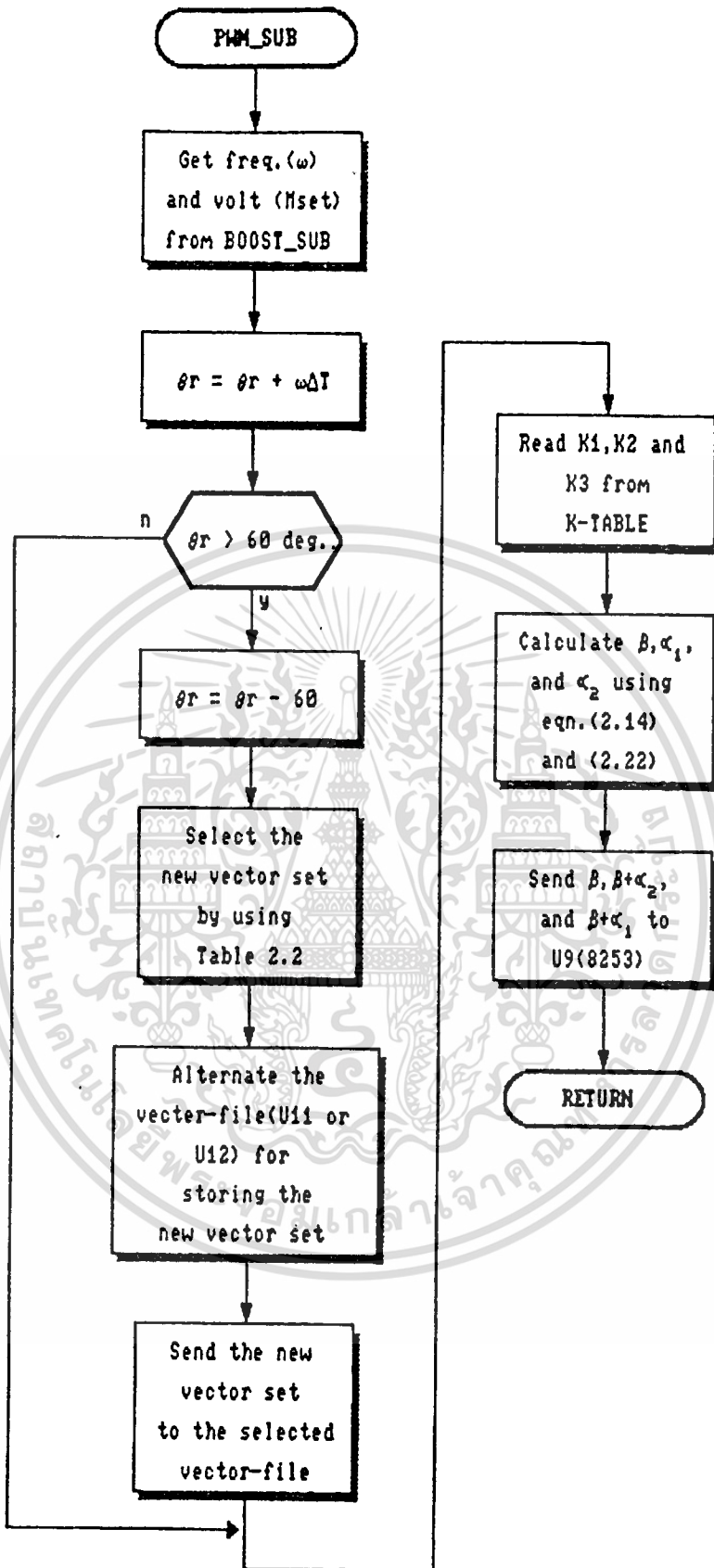
เอกสารนี้เป็นเอกสารที่สงวนไว้สำหรับการใช้งานเพื่อการศึกษาเท่านั้น ไม่อนุญาตให้นำไปใช้ประโยชน์ด้านการค้า  
 ทิน PWM-SUB นอกจากนี้สับรุตินนี้ยังทำหน้าที่เตรียมค่าความถี่อินพุตให้กับสับรุติน  
 ไม่ว่าจะกรณีใดๆทั้งสิ้น อีกทั้งห้ามมิให้ตัดแปลงเนื้อหา และต้องอ้างอิงถึงเจ้าของเอกสารทุกครั้งหากมีใครนำไปใช้

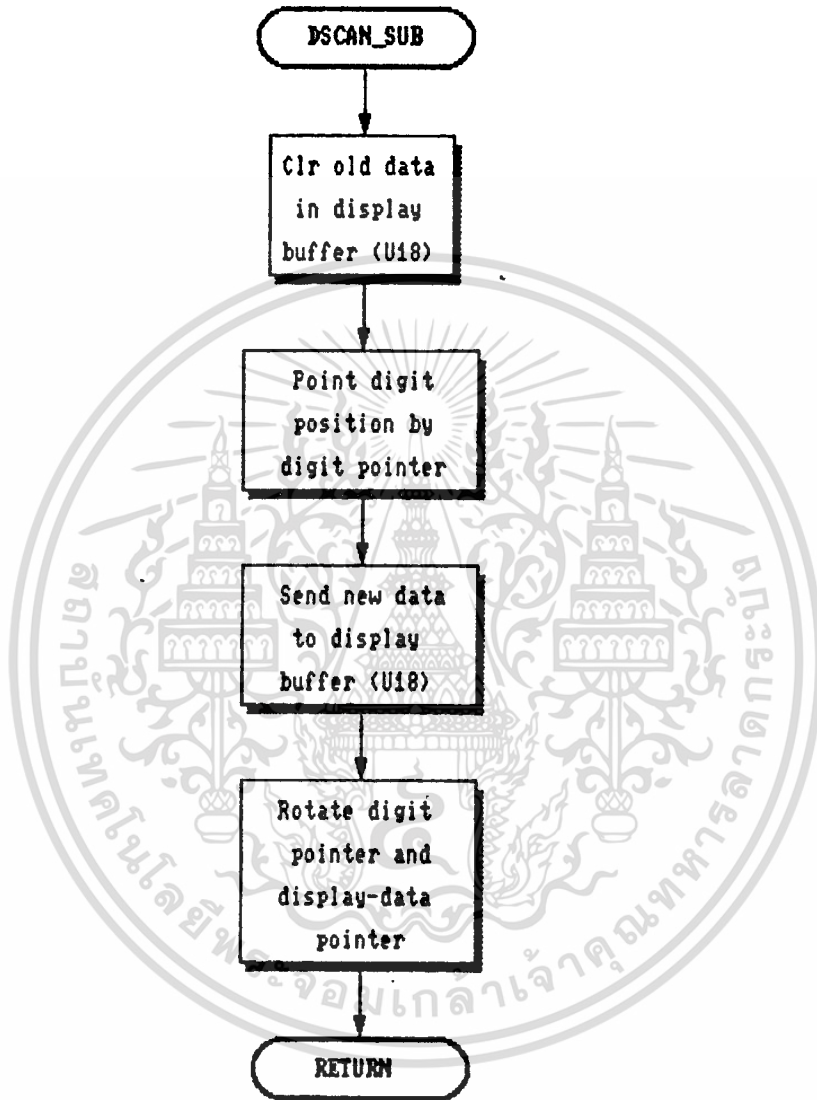
PWM-SUB โดยการไหลค่าจากตัวแปร OME เข้าสู่ตัวแปร OMEGA การทำงานของสับรoutinesนี้มีลักษณะดังไฟล์ชาร์ตในรูปที่ 4.9

PWM\_SUB :- เป็นสับรoutinesที่นำตัวแปร OMEGA และ MSET จาก สับรoutines BOOST-SUB และสัญญาณ DIR จากสับรoutines RUNDIR\_SUB มาทำการประมวลผล เพื่อคำนวณหาความกว้างพัลส์  $\alpha_1$  และ  $\alpha_2$  และตำแหน่งพัลส์  $\beta$  รวมทั้งการเลือกชุดเวกเตอร์แรงดัน แล้วจัดข้อมูลเหล่านี้ให้อยู่ในรูปที่เหมาะสมเพื่อส่งไปยังวงจรกำเนิดสัญญาณพีดับบลิวเอ็ม การทำงานของสับรoutinesนี้มีลักษณะดังไฟล์ชาร์ตในรูปที่ 4.8

DSCAN\_SUB :- เป็นสับรoutinesที่มีหน้าที่นำข้อมูลแสดงผลไปทำการแสดงผล ข้อมูลแสดงผลนี้ได้จากการประมวลผลของ โปรแกรมจัดเตรียมข้อมูลแสดงผล ซึ่งอยู่ในส่วนโปรแกรมหลัก การทำงานของสับรoutinesนี้มีลักษณะดังไฟล์ชาร์ตในรูปที่ 4.9







รูปที่ 4.11 โฟลว์ชาร์ตของลับริน DSCAN\_SUB

#### 4.5 ผลการวิจัย

โดยการนำส่วนประกอบต่างๆของระบบขับเคลื่อนที่ได้กล่าวรายละเอียดมาแล้วในบทต่างๆมาสร้างเป็นชุดต้นแบบซึ่งประกอบตามลักษณะไดอะแกรมในรูปที่ 1.1 ชุดต้นแบบที่ทดลองสร้างขึ้นมีลักษณะดังภาพถ่ายในรูปที่ 4.12 ชุดทดสอบถูกสร้างขึ้นเพื่อใช้ทดสอบคุณสมบัติบางส่วนของชุดต้นแบบซึ่งประกอบด้วยมอเตอร์เหนี่ยวนำกับตัวกำเนิดไฟฟ้าชนิดแม่เหล็กถาวรซึ่งเพลาทิ้งสองเชื่อมต่อกันด้วยสายพานดังภาพถ่ายในรูปที่ 4.13

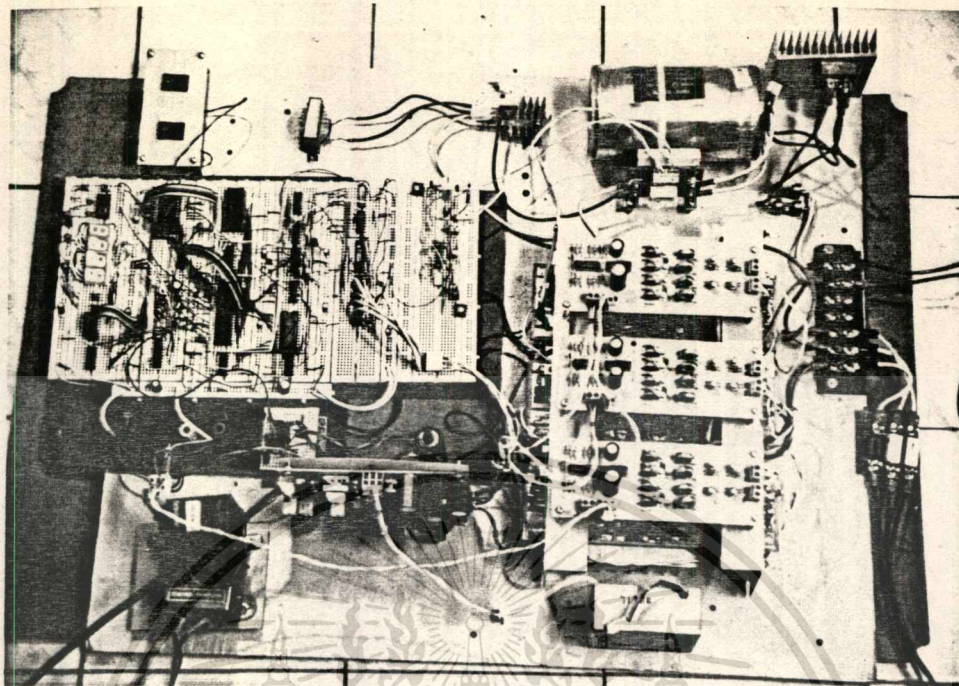
เมื่อทำการเดินระบบ แล้วทำการตรวจวัดลักษณะรูปคลื่นกระแส, แรงดันไลน์ระหว่างขั้วของมอเตอร์เหนี่ยวนำและแรงดันตกคร่อมสวิตช์กำลังที่ความถี่ต่างๆ ผลการวัดแสดงไว้ในรูปที่ 4.14 - 4.16 ซึ่งจากรูปเหล่านี้จะเห็นว่า

-แรงดันไลน์ระหว่างขั้วของมอเตอร์มีลักษณะเป็นรูปคลื่นพิตช์บลิวเอ็ม ที่ขั้วเคลื่อนมอเตอร์ทำให้เกิดกระแสที่มีลักษณะใกล้เคียงคลื่นไซน์

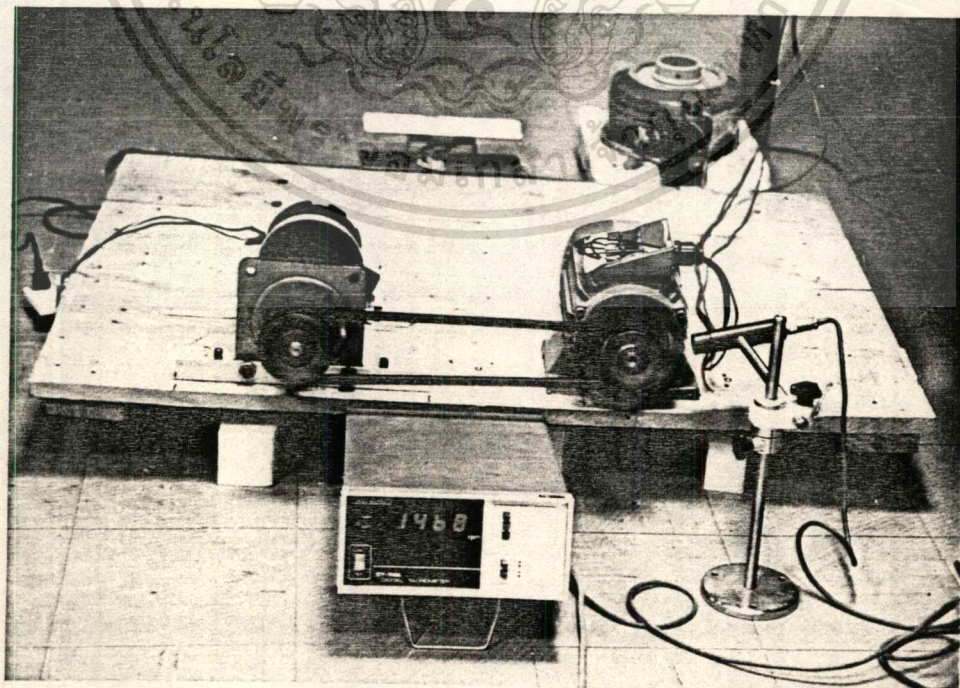
-เมื่อพิจารณาแรงดันที่ตกคร่อมสวิตช์กำลังจะพบว่า เกิดช่วงหยุดการสวิตช์ขึ้นสองช่วงในแต่ละคาบความถี่มูลฐาน คือ ช่วงนำกระแสและช่วงหยุดนำกระแส ซึ่งคิดเป็นประมาณ 30 เปอร์เซ็นต์รอบการทำงาน(Duty cycle)ของคาบความถี่มูลฐาน ดังนั้นสามารถกล่าวได้ว่า การสร้างรูปคลื่นพิตช์บลิวเอ็มด้วยวิธีการนี้ สามารถช่วยลดการสูญเสียจากการสวิตช์ได้

รูปที่ 4.17 - 4.18 แสดงผลของการเสริมแรงดันที่มีต่อกระแสที่ความถี่ต่ำ ซึ่งจากรูปเหล่านี้จะเห็นว่า การเสริมแรงดันจะทำให้ค่ากระแสเพิ่มขึ้น ซึ่งส่งผลให้แรงบิดเพิ่มขึ้นด้วย

เมื่อทำการทดสอบเพื่อวัดประสิทธิภาพของชุดต้นแบบโดยการป้อนความถี่พิกัด (50 Hz) ให้กับชุดทดสอบ และทำการต่อโหลดไฟฟ้าขนาดต่างๆที่เอาท์พุทของตัวกำเนิดไฟฟ้า แล้วทำการวัดกำลังไฟฟ้าทั้งทางด้านอินพุทและเอาท์พุทของชุดต้นแบบ ผลการทดสอบแสดงเป็นกราฟในรูปที่ 4.19

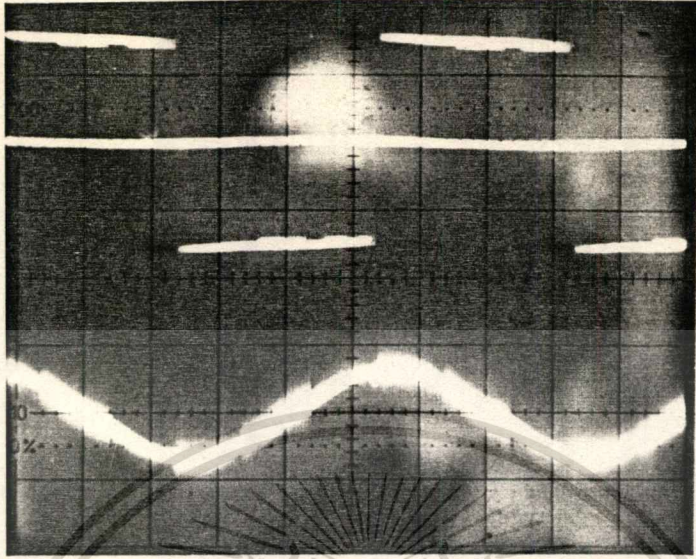


รูปที่ 4.12 ภาพถ่ายชุดต้นแบบของระบบขับเคลื่อนมอเตอร์เหนี่ยวนำ

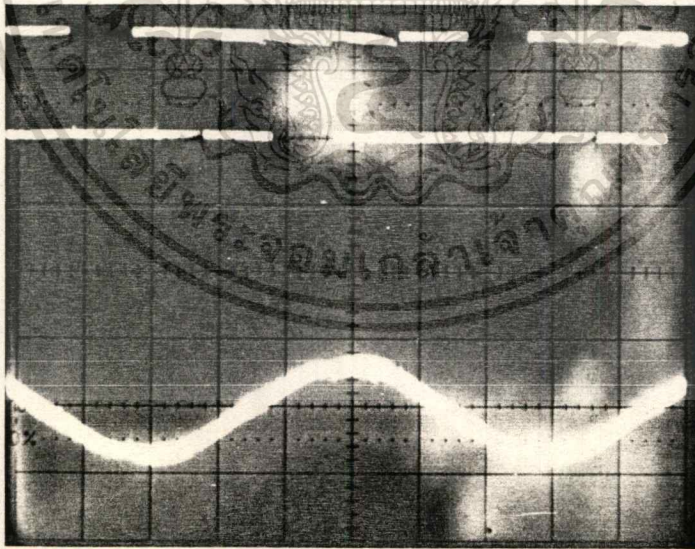


รูปที่ 4.13 ภาพถ่ายชุดทดสอบระบบขับเคลื่อน

เอกสารนี้เป็นเอกสารที่สงวนไว้สำหรับการใช้งานเพื่อการศึกษาเท่านั้น ไม่อนุญาตให้นำไปใช้ประโยชน์ด้านการค้า  
ไม่ว่ากรณีใดๆทั้งสิ้น อีกทั้งห้ามมิให้ตัดแปลงเนื้อหา และต้องอ้างอิงถึงเจ้าของเอกสารทุกครั้งที่มีการนำไปใช้

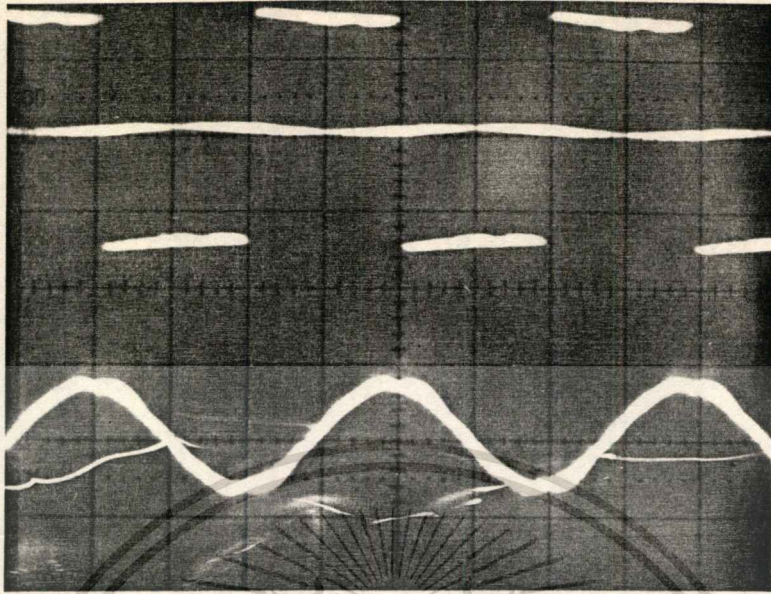


(ก) บนระนาบคลื่นระหว่างขั้ว (200 V/Div), ล่าง: กระแสมอเตอร์ (5 A/Div)

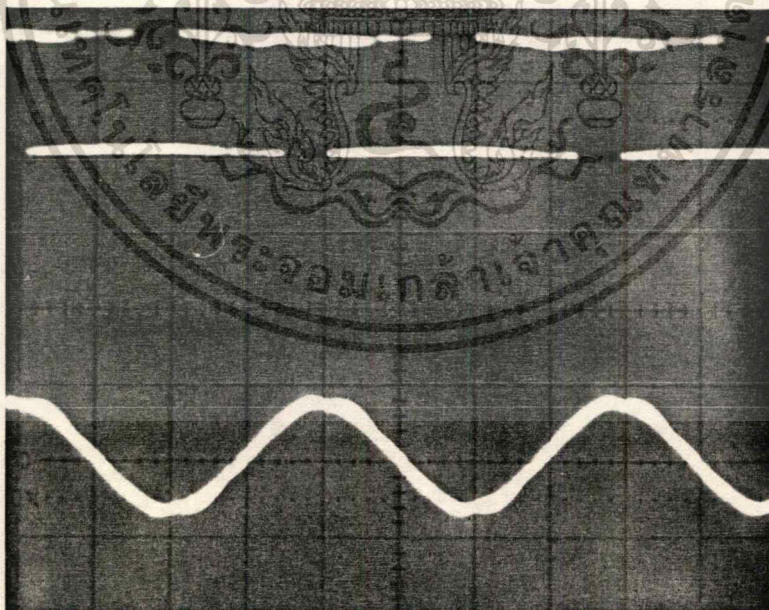


(ข) บน: แรงดันตกคร่อมลิตซ์กำลัง (200 V/Div), ล่าง: กระแสมอเตอร์ (5 A/Div)

เอกสารนี้เป็นเอกสารที่สงวนไว้สำหรับการใช้งานเพื่อการศึกษาเท่านั้น ไม่อนุญาตให้นำไปใช้ประโยชน์ด้านการค้า  
รูปที่ 4.14 แสดงรูปคลื่นต่างๆ ที่ความถี่ 33 Hz (แนวระดับ: 5 ms/Div)  
ไม่ว่ากรณีใดๆ ทั้งสิ้น อีกทั้งห้ามมิให้ตัดแปลงเนื้อหา และต้องอ้างอิงถึงเจ้าของเอกสารทุกครั้งที่มีการนำไปใช้

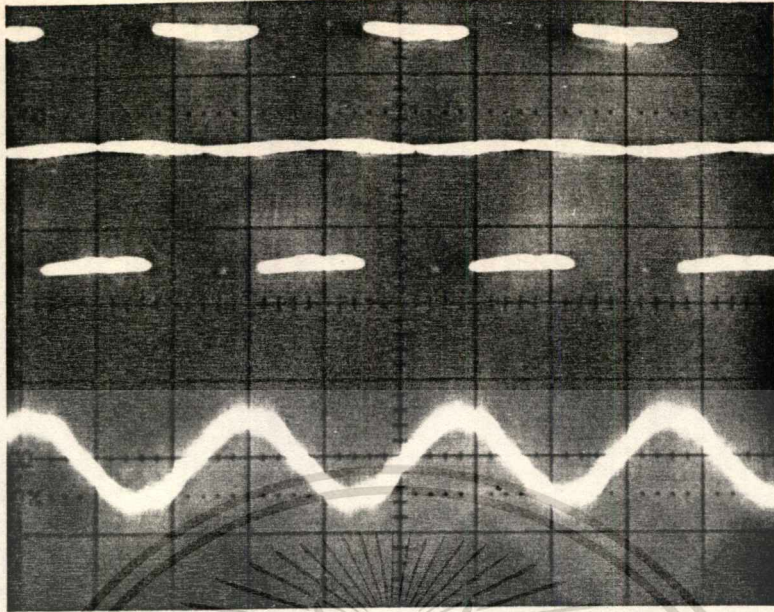


(ก) บนมแรงดันไลน์ระหว่างขั้ว (200 V/Div), ล่าง: กระแสมอเตอร์ (5 A/Div)

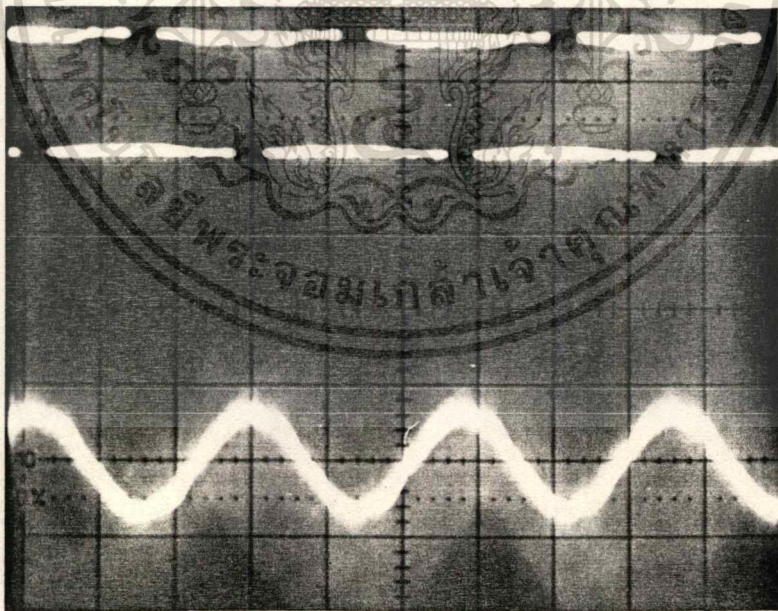


(ข) บนมแรงดันตกคร่อมสวิตช์กำลัง (200 V/Div), ล่าง: กระแสมอเตอร์ (5 A/Div)

เอกสารนี้เป็นเอกสารที่สงวนไว้สำหรับอาจารย์ใช้งานเพื่อการศึกษเท่านั้น ไม่อนุญาตให้นำไปใช้ประโยชน์ด้านการค้า  
รูปที่ 4.15 แสดงรูปคลื่นต่างๆ ที่ความถี่ 50 Hz (แนวระดับ: 5 ms/Div)  
ไม่ว่ากรณีใดๆทั้งสิ้น อีกทั้งห้ามมิให้ตัดแปลงเนื้อหา และต้องอ้างอิงถึงเจ้าของเอกสารทุกครั้งที่มีการนำไปใช้

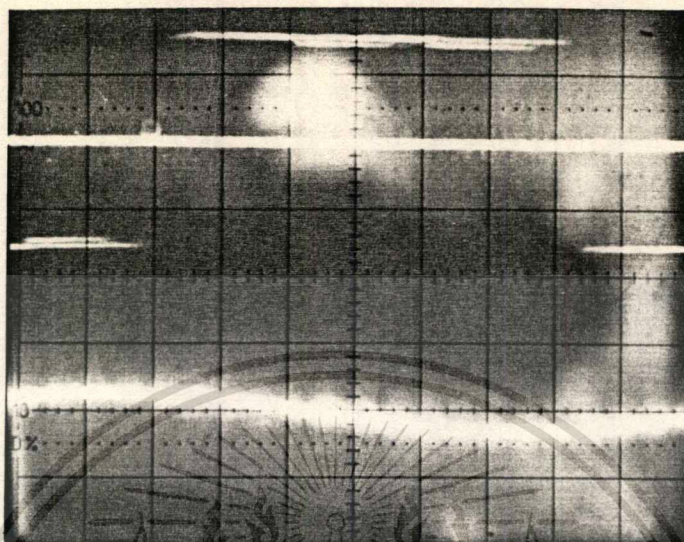


(ก) บน: แรงดันไลน์ระหว่างขั้ว (200 V/Div), ล่าง: กระแสมอเตอร์ (5 A/Div)

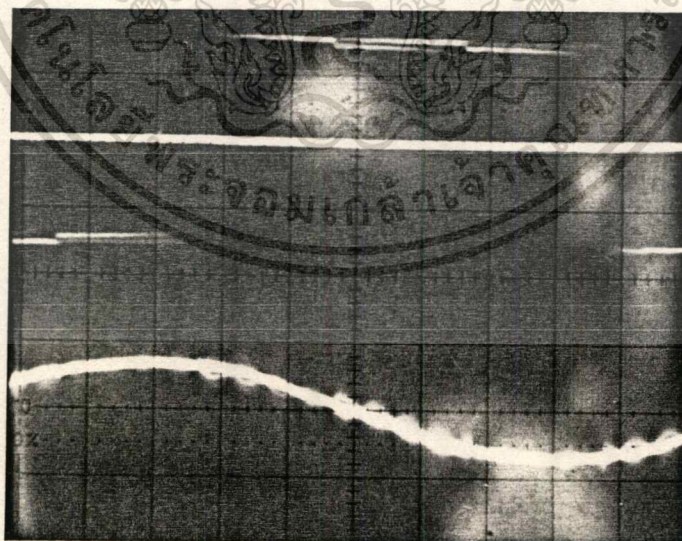


(ข) บน: แรงดันตกคร่อมสวิตช์กำลัง (200 V/Div), ล่าง: กระแสมอเตอร์ (5 A/Div)

เอกสารนี้เป็นเอกสารที่สงวนไว้สำหรับใช้ภายในเพื่อการศึกษาเท่านั้น ไม่อนุญาตให้นำไปใช้ประโยชน์ด้านการค้า  
 รูปที่ 4.16 แสดงรูปคลื่นต่างๆ ที่ความถี่ 70 Hz (แนวระดับ: 5 ms/Div)  
 ไม่ว่าจะกรณีใดๆ ทั้งสิ้น อีกทั้งห้ามมิให้คัดแปลงเนื้อหา และต้องอ้างอิงถึงเจ้าของเอกสารทุกครั้งที่มีการนำไปใช้

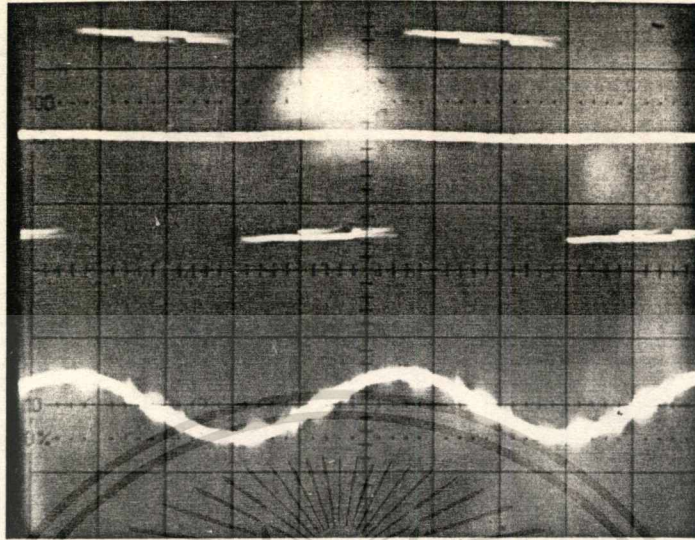


(ก) Voltage boost = 0 %, บน: แรงดันไลน์ระหว่างขั้ว (200 V/Div),  
ล่าง: กระแสมอเตอร์ (5 A/Div)

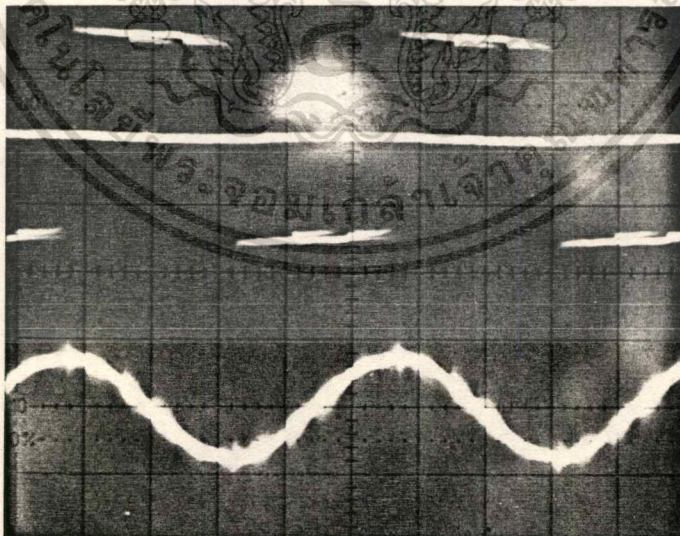


(ข) Voltage boost = 6 %, บน: แรงดันไลน์ระหว่างขั้ว (200 V/Div),  
ล่าง: กระแสมอเตอร์ (5 A/Div)

เอกสารนี้เป็นเอกสารที่สงวนไว้สำหรับการใช้งานเพื่อการศึกษาเท่านั้น ไม่อนุญาตให้ถูกไปใช้ประโยชน์ด้านการค้า  
รูปที่ 4.17 แสดงผลของการเสริมแรงดัน ที่ความถี่ 4 Hz (แนวระดับ: 20 ms/Div)  
ไม่ว่ากรณีใดๆทั้งสิ้น อีกทั้งห้ามมิให้ตัดแปลงเนื้อหา และต้องอ้างอิงถึงเจ้าของเอกสารทุกครั้งที่มีการนำไปใช้

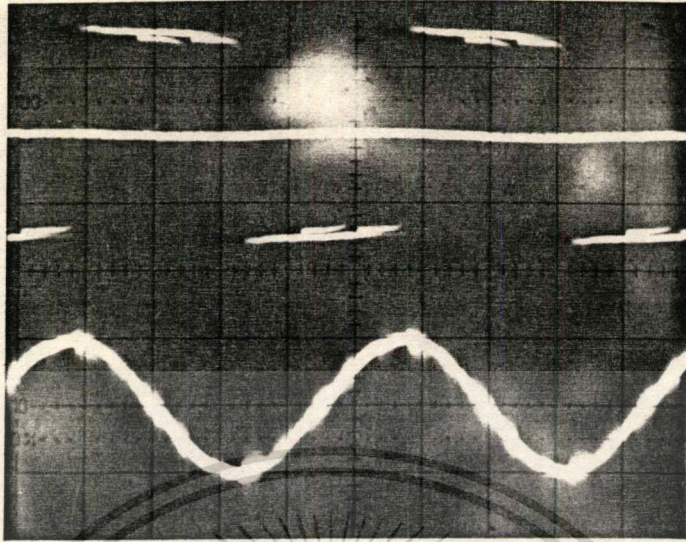


(ก) Voltage boost = 0 %, บน: แรงดันไลน์ระหว่างขั้ว (200 V/Div)  
 ล่าง: กระแสมอเตอร์ (5 A/Div)



(ข) Voltage boost = 6 %, บน: แรงดันไลน์ระหว่างขั้ว (200 V/Div)  
 ล่าง: กระแสมอเตอร์ (5 A/Div)

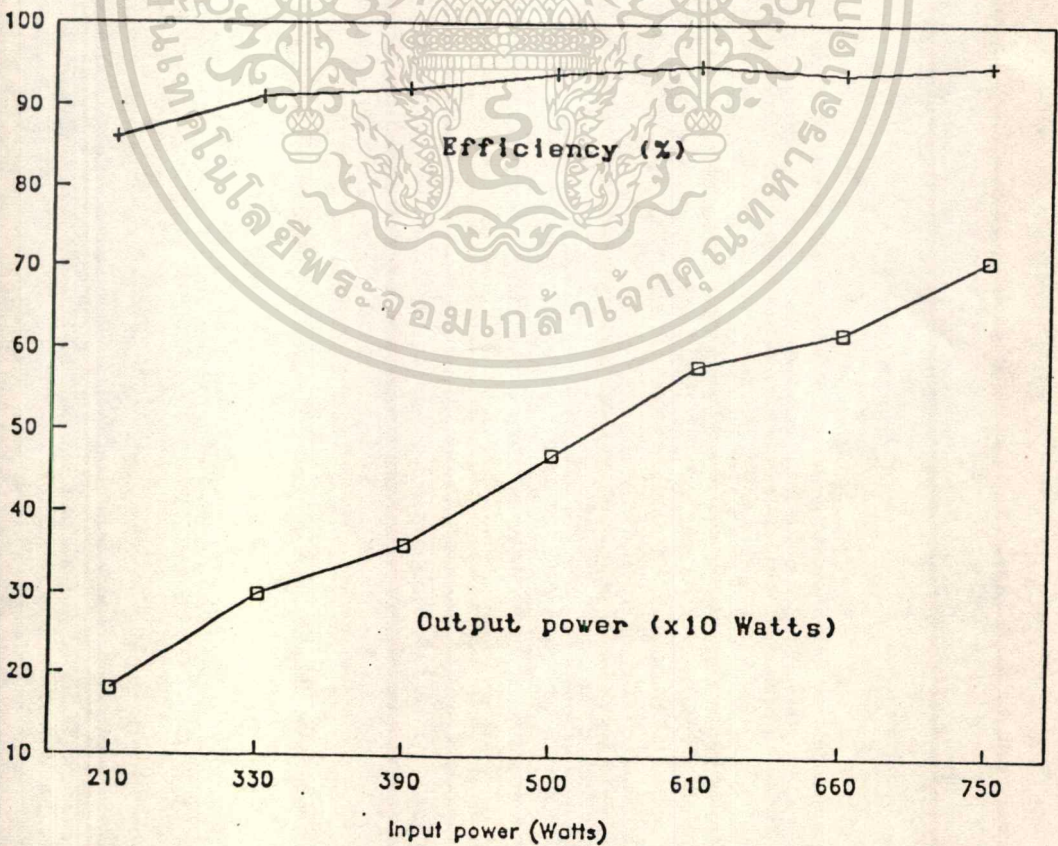
เอกสารนี้เป็นเอกสารที่สงวนไว้สำหรับการใช้งานเพื่อการศึกษาเท่านั้น ไม่อนุญาตให้นำไปใช้ประโยชน์ด้านการค้า  
 รูปที่ 4.18 แสดงผลของการเสริมแรงดัน ที่ความถี่ 10 Hz (แนวระดับ: 20 ms/Div)  
 ไม่ปรากฏใดๆทั้งสิ้น อีกทั้งห้ามมิให้คัดแปลงเนื้อหา และต้องอ้างอิงถึงเจ้าของเอกสารทุกครั้งที่มาใช้งานไปใช้



(ค) Voltage boost = 10 %, บน: แรงดันไลน์ระหว่างขั้ว (200 V/Div)

ล่าง: กระแสมอเตอร์ (5 A/Div)

รูปที่ 4.18 (ต่อ)



เอกสารนี้เป็นเอกสารที่สงวนไว้สำหรับการใช้งานเพื่อการศึกษาเท่านั้น ไม่อนุญาตให้นำไปใช้ประโยชน์ด้านการค้า  
 รูปที่ 4.19 กราฟแสดงกำลังเอาต์พุตและประสิทธิภาพเทียบกับกำลังอินพุต  
 ไม่ว่าจะตีพิมพ์ทั้งสิ้น อีกทั้งห้ามมิให้ตัดแปลงเนื้อหา และต้องอ้างอิงถึงเจ้าของเอกสารทุกครั้งที่มีการนำไปใช้

## บทที่ 5

## บทสรุป

จากข้อมูลที่กล่าวมาทั้งหมดและจากผลการวิจัยที่ได้ทำการทดสอบชุดต้นแบบในหัวข้อที่แล้วพอจะสรุปได้ดังนี้คือ การสร้างรูปคลื่นพิตช์บลิวเอเอ็มโดยการควบคุมพัลส์แม่เหล็กดังที่กล่าวมาในบทที่ 2 สามารถให้แรงดันสูงสุดได้สูงกว่าวิธีการ SHM ประมาณ 15 เปอร์เซ็นต์. และจากการทดสอบได้แสดงให้เห็นว่า กระแสมอเตอร์ที่เกิดขึ้นมีลักษณะใกล้เคียงคลื่นไซน์ ซึ่งหมายถึงแรงดันพิตช์บลิวเอเอ็มที่ป้อนให้กับมอเตอร์มีค่าอาร์โมนิกส์ต่ำและวิธีการนี้สามารถลดจำนวนการสวิตช์ที่เกิดในสวิตช์กำลังได้ประมาณ 30 เปอร์เซ็นต์ เมื่อเทียบกับวิธีการ SHM ที่ความถี่ลุ่มเท่ากัน ซึ่งหมายถึงการสูญเสียจากการสวิตช์ที่เกิดขึ้นจะน้อยกว่าวิธีการ SHM

ลักษณะไบมอสสวิตช์ที่ได้กล่าวไว้ในบทที่ 3 นั้นมีคุณสมบัติที่ดีหลายอย่างคือ มีพื้นที่การทำงานที่ปลอดภัยไบแอสกลับเป็นลักษณะสี่เหลี่ยมผืนผ้าขนาดใหญ่และมีความเร็วการสวิตช์ค่อนข้างสูง การนำไบมอสสวิตช์มาประยุกต์ใช้ในวงจรอินเวอร์เตอร์นั้นสามารถจะทำได้แม้ว่าจะมีวิธีการค่อนข้างยุ่งยากซับซ้อนกว่าสวิตช์กำลังทั่วไป ประสิทธิภาพของไบมอสอินเวอร์เตอร์อาจดูได้จากประสิทธิภาพของระบบขับเคลื่อนดังที่ได้แสดงใน รูปที่ 4.19 ซึ่งผลที่ได้แสดงให้เห็นว่า ไบมอสอินเวอร์เตอร์นี้มีประสิทธิภาพเป็นที่น่าพอใจอย่างยิ่งก็ติ การนำไบมอสสวิตช์มาใช้ในวงจรอินเวอร์เตอร์ ทำให้ต้องใช้อุปกรณ์จำนวนมากกว่าการใช้สวิตช์กำลังแบบอื่น มีผลทำให้เกิดความยุ่งยากและเสียเวลาในการสร้างวงจร

การสร้างชุดควบคุมโดยใช้ไมโครโปรเซสเซอร์เป็นฐาน ดังที่กล่าวไว้ในบทที่ 4 ทำให้ส่วนฮาร์ดแวร์มีขนาดเล็ก ให้ความคล่องตัวในการตัดแปลงแก้ไขซึ่งดูได้จากความสามารถในการตั้งค่าพารามิเตอร์ และยังเหมาะสมกับงานที่มีการคำนวณซับซ้อน เช่นการสร้างรูปคลื่นพิตช์บลิวเอเอ็มเป็นต้น คุณสมบัติต่างๆของชุดควบคุมที่สร้างขึ้นมีดังนี้

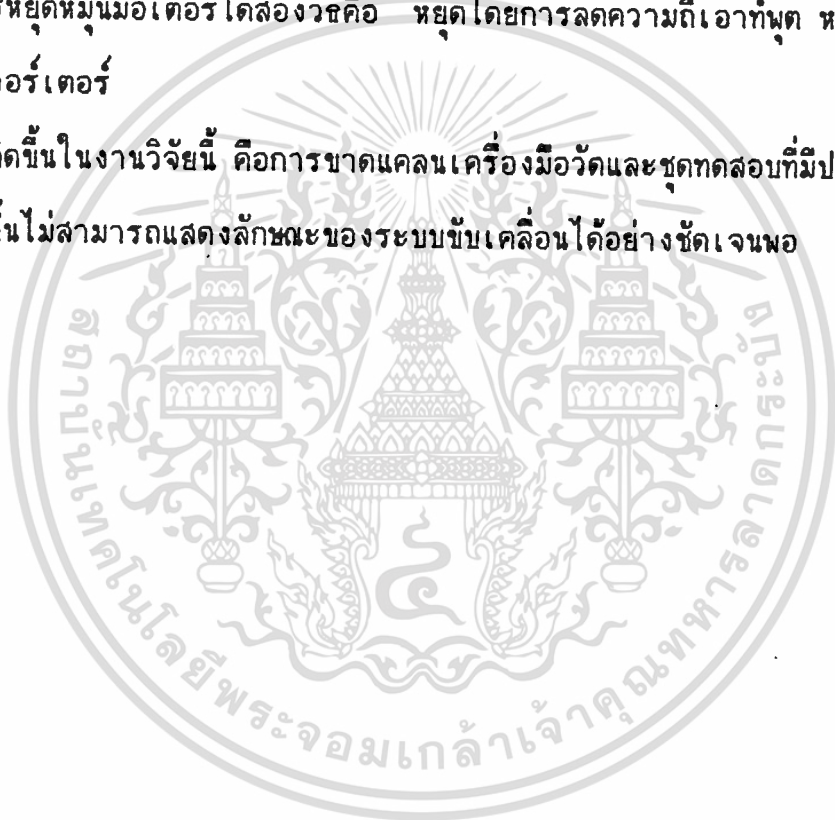
- ควบคุมทิศทางหมุนได้ (โดยผ่านทางสวิตช์ CW/CCW)
- เลือกวิธีการป้องกันความถี่อ้างอิงเข้าสู่ชุดควบคุมได้สองวิธีคือ เลือกป้อนจาก โฟเทนซิโอมิเตอร์ หรือ จากชุดปุ่มกด

— สามารถปรับค่าความถี่เอาท์พุทได้ ในช่วง 0.5-120 Hz โดยปรับได้ละเอียดขั้นละ 0.5 Hz ไม่ว่ากรณีใดๆทั้งสิ้น อีกทั้งยังมีให้ตัดแปลงเนื้อหา และต้องอ้างอิงถึงเจ้าของเอกสารทุกครั้งที่มีการนำไปใช้

พร้อมกับการปรับเปลี่ยนแรงดันระหว่างไลน์ได้ในช่วง 0-214 โวลต์ เมื่อป้อนแรงดันอินพุตให้กับระบบขับเคลื่อนเป็น 220 โวลต์

- สามารถปรับตั้งค่าพารามิเตอร์ต่างๆ(ตามตารางที่ 4.1) ของระบบขับเคลื่อนได้ตามลักษณะของโหลด
- ทำการป้องกันระบบโดยหยุดการทำงานชุดอินเวอร์เตอร์อย่างทันทีทันใดเมื่อกระแสที่บัลไฟตรงมีค่าเกินปกติ หรือเมื่อแรงดันที่บัลไฟตรงสูงหรือต่ำกว่าปกติ
- เลือกการหยุดหมุนมอเตอร์ได้สองวิธีคือ หยุดโดยการลดความถี่เอ้าท์พุท หรือหยุดโดยการหยุดการทำงานชุดอินเวอร์เตอร์

อุปสรรคที่เกิดขึ้นในงานวิจัยนี้ คือการขาดแคลนเครื่องมือวัดและชุดทดสอบที่มีประสิทธิภาพ ทำให้ผลการทดลองที่ทำขึ้นไม่สามารถแสดงลักษณะของระบบขับเคลื่อนได้อย่างชัดเจนพอ



## เอกสารอ้างอิง

- [1] P. C. Sen, "Electric motor drives and control-past, present, and future," IEEE Trans. Ind. Elec., vol. IE-37, no. 6, pp. 562-575, Dec. 1990.
- [2] M. Morimoto, S. Sato, K. Sumito, and K. Oshitani, "Single-chip microcomputer control of the inverter by the magnetic flux control PWM method," IEEE Trans. Ind. Elec., vol. IE-36, no. 1, pp. 42-47, Feb. 1989.
- [3] S. Fukuda, Y. Iwaji, and H. Hasegawa, "PWM technique for inverter with sinusoidal output current," IEEE Trans. Power Elec., vol. 5, no. 1, pp. 54-61, Jan. 1990.
- [4] N. Zorbas, and B. A. Neyland, "Derivation of induction motor equivalent circuit using space phasor concepts," IEEE Trans. Edu., vol. E-30, no. 2, pp. 90-97, May 1987.
- [5] J. Hamman and F. S. van der Merwe, "Voltage harmonics generated by voltage-fed inverters using PWM natural sampling," IEEE Trans. Power Elec., vol. 3, no. 3, pp. 297-302, July 1988.
- [6] H. Y. Zhong, H. P. Messinger, and M. H. Rashid, "A new microcomputer-based direct torque control system for three-phase induction motor," IEEE Trans. Ind. appl., vol. 27, no. 2, pp. 294-298, Mar./April 1991
- [7] B. W. Williams, J. K. Goodfellow, and F. V. P. Robinson, "GTO thyristor and bipolar transistor cascode switches," IEE Proceedings, vol. 137, pt. B, no. 3, pp. 141-153, May 1990.
- [8] D. Y. Chen, and B. Jackson, "Turn-off characteristics of power transistors using emitter-open turn-off," IEEE Trans. Aero, Elec. Systems,

เอกสารนี้เป็นเอกสารที่สงวนไว้สำหรับการใช้งานเพื่อการศึกษาเท่านั้น ไม่อนุญาตให้นำไปใช้ประโยชน์ด้านการค้า  
vol. AES-17, no. 3, pp. 386-390, May 1981.

ไม่ว่ากรณีใดๆทั้งสิ้น อีกทั้งห้ามมิให้ตัดแปลงเนื้อหา และต้องอ้างอิงถึงเจ้าของเอกสารทุกครั้งที่มีการนำไปใช้

- [9] P. Bowler, and D. Jones, "An evaluation of the limitations and capabilities of the cascode-connected bimos switch," Sec. Int. Conf. Power Elec. and Variable-speed Drives, pp. 15-19, 24-26 Nov. 1986.
- [10] K. S. Rajashekara, J. Vithyathil, and V. Rajagopalan, "Protection and switching-aid networks for transistor bridge inverters," IEEE Trans. Ind. Elec, vol. IE-33, no.: 2, pp. 185-192, May 1986.
- [11] A. H. Wienberg, and J. Schreuders, "A high-power high-voltage DC-DC converter for space application," IEEE Trans. Power Elec., vol. PE-1, no. 3, pp. 148-160, July 1986.
- [12] C. F. Christiansen, M. I. Valla, and N. H. Martinez, "Wideband driver for power MOSFETs," Int. J. Elec., vol. 56, no. 3, pp. 429-431, 1984.
- [13] Murphy, J.M.D., and F. G. Turnbull, Power Electronic Control of AC motors, Oxford: Pergamon Press, 1988.
- [14] Intel Microcontroller Handbook, 1985.
- [15] Bose, B.K., Power Electronics and AC Drives, Englewood Cliffs, N.J.: Prentice-Hall, 1986.



**ส่วนโปรแกรมสำหรับชุดควบคุมระบบขับเคลื่อน  
มอเตอร์เหนี่ยวนำ**

เอกสารนี้เป็นเอกสารที่สงวนไว้สำหรับการใช้งานเพื่อการศึกษาเท่านั้น ไม่อนุญาตให้นำไปใช้ประโยชน์ด้านการค้า  
ไม่ว่ากรณีใดๆทั้งสิ้น อีกทั้งห้ามมิให้ดัดแปลงเนื้อหา และต้องอ้างอิงถึงเจ้าของเอกสารทุกครั้งที่มีการนำไปใช้

```

;-----;
;  DEFINED BYTE VARIABLE  ;
;-----;
;
HRF          EQU      020H
DSTAT       EQU      03AH
PSTAT       EQU      022H
PSET        EQU      023H
OMEGA       EQU      030H
M           EQU      031H
LTHETA      EQU      032H
HTHETA      EQU      033H
BUFFER      EQU      034H
VL          EQU      035H
BETA        EQU      037H
ALPH1       EQU      038H
ALPH2       EQU      039H
DSPO        EQU      040H
DSP1        EQU      041H
DSP2        EQU      042H
DSP3        EQU      043H
SCAN        EQU      025H
FIN         EQU      045H
FSET        EQU      046H
BSET        EQU      051H
RUP         EQU      052H
RDWN        EQU      053H
FCMOD       EQU      054H
STPMOD      EQU      055H
FMN         EQU      056H

```

FMX	EQU	057H
DFSET	EQU	058H
AFSET	EQU	059H
KCD	EQU	026H
KRD	EQU	03CH
KCT	EQU	03DH
KSMP	EQU	04EH
PDSPO	EQU	060H
PDSP1	EQU	061H
PDSP2	EQU	062H
PDSP3	EQU	063H
CON	EQU	047H
VERT	EQU	048H
CONVERT	EQU	049H
QUAT	EQU	04AH
DCD	EQU	04BH
ROMAIN	EQU	064H
ROINT	EQU	065H
FRD	EQU	066H
STUP	EQU	068H
STDWN	EQU	069H
DSMP	EQU	06AH
PNO	EQU	06BH
MBUF	EQU	06CH
HIM	EQU	06DH
MSET	EQU	06EH
K1	EQU	071H
K2	EQU	072H
K3	EQU	073H
OME	EQU	074H

เอกสารนี้เป็นเอกสารที่สงวนไว้สำหรับการใช้งานเพื่อการศึกษาเท่านั้น ไม่อนุญาตให้นำไปใช้ประโยชน์ด้านการค้า  
ไม่ว่ากรณีใดๆทั้งสิ้น อีกทั้งห้ามมิให้ตัดแบบลงเนื้อหา และต้องอ้างอิงถึงเจ้าของเอกสารทุกครั้งที่มีการนำไปใช้

```

CNTH          EQU      075H

CNTL          EQU      076H

FSMP          EQU      077H

;-----;

;  DEFINED BIT FLAGS  ;

;-----;

SCANO         EQU      090H      ;Def P1.0
SCAN1         EQU      091H      ;Def P1.1
FR            EQU      092H      ;Def P1.2
RST           EQU      093H      ;Def P1.3
PR            EQU      094H      ;Def P1.4
UP            EQU      095H      ;Def P1.5
DOWN          EQU      096H      ;Def P1.6
INHO          EQU      097H      ;Def P1.7
FLTO          EQU      0B0H      ;Def P3.0 (RX PIN)
VFSEL         EQU      0B4H      ;Def P3.4 (TO PIN)
RACK          EQU      010H      ;Def bit address
MDAT          EQU      011H      ;of PSTAT
DIR           EQU      012H      ;
PRDY          EQU      013H      ;
PCHK          EQU      014H      ;
DSPEN         EQU      015H      ;
DIX           EQU      016H      ;
KACK          EQU      017H      ;
RUNF          EQU      018H      ;Def bit address
STPF          EQU      019H      ;of PSET
SDIR          EQU      01AH      ;
FCF           EQU      01BH      ;
RMPF          EQU      01CH      ;
KENF          EQU      01DH      ;

```

เอกสารนี้เป็นเอกสารที่สงวนไว้สำหรับการใช้งานเพื่อการศึกษาเท่านั้น ไม่อนุญาตให้นำไปใช้ประโยชน์ด้านการค้า  
ไม่ว่ากรณีใดๆทั้งสิ้น อีกทั้งห้ามมิให้ตัดแปลงเนื้อหา และดัดแปลงอ้างอิงถึงเจ้าของเอกสารทุกครั้งที่มีการนำไปใช้

```

;-----;
;      END OF DEFINITION      ;
;-----;

;=====;
;                               ;
;      MAIN START      ;
;                               ;
;=====;

```

ORG 0000H

```
LJMP INIT
```

```

;=====;
;      MAIN      ;
;=====;

```

ORG 0040H

INIT:

```

CLR VFSEL ;Select the vector file "A"
MOV DPTR,#1C00H ;for beginning.
MOVX @DPTR,A ;
;
CLR RMPF
CLR A
;
MOV CNTH,A ;Init the pulse counter.
MOV CNTL,A ;
;
MOV DPTR,#0000H ;Clr data in the vector
MOVX @DPTR,A ;file "A".
INC DPL ;
MOVX @DPTR,A ;
INC DPL ;

```

เอกสารนี้เป็นเอกสารทสลงวนวิชาสำหรับการใช้งานเพื่อการศึกษาเท่านั้น ไม่อนุญาตให้นำไปใช้ประโยชน์ด้านการค้า  
ไม่ว่ากรณีใดๆทั้งสิ้น อีกทั้งห้ามมิให้ตัดแปลงเนื้อหา และต้องอ้างอิงถึงเจ้าของเอกสารทุกครั้งที่มีการนำไปใช้

```

MOVX @DPTR,A          ;
INC DPL                ;
MOVX @DPTR,A          ;
;
MOV DPTR,#0C00H       ;Reset fault latch.
MOVX @DPTR,A          ;
;
MOV DCD,#01H
MOV RO1NT,#043H
MOV R6,#06H           ;Define R6 to be subprogram
                       ;selector.
MOV OMEGA,A
MOV OME,A
MOV FIN,A
MOV HRF,A
;
MOV LTHETA,A          ;Init the phase angle.
MOV HTHETA,#010H     ;
;
MOV PSTAT,A           ;Init the parameter status.
MOV PSET,A
MOV DSTAT,A           ;Init display status.
MOV VL,A
SETB DSPEN            ;Enable display unit
CLR FCONT
MOV KSMP,#0AH
MOV SCAN,#03H
MOV RO,#043H
MOV A,#07H
MOV KCD,A

```

```

MOV KRD,A
MOV KCT,A
MOV FSMP,#10H ;Sampling value of V/F
INIT8253: MOV A,#00010010B
MOV DPTR,#0803H
MOVX @DPTR,A
MOV A,#01010010B
MOVX @DPTR,A
MOV A,#10010010B
MOVX @DPTR,A
CLR A
MOV DPTR,#0800H
MOVX @DPTR,A
INC DPL
MOVX @DPTR,A
INC DPL
MOVX @DPTR,A
INITSFR: MOV TMOD,#01010011B ;Def T1 to be 16 bit freq.
;counter for counting freq.
;from V/F.
ORL IP,#00001000B ;Set T1 INT. to be
;higher piority interrupt.
ORL IE,#10001000B ;Enable flag TR1 for overflow
;interrupt.
;
ACALL PREAD_SUB ;Read para.s from NVSRAM to
;internal RAM
ORL TCON,#01000000B ;Start freq. counter (TIMER 0)
;and interrupt timer (TIMER 1).

```

เอกสารนี้เป็นเอกสารที่สงวนไว้สำหรับการใช้งานเพื่อการศึกษาเท่านั้น ไม่นิยมนำไปใช้ประโยชน์ด้านการค้า  
ไม่ว่ากรณีใดๆทั้งสิ้น อีกทั้งห้ามมิให้ดัดแปลงเนื้อหา และต้องอ้างอิงถึงเจ้าของเอกสารทุกครั้งที่มีกรนำไปใช้

KPRESS: JNB KACK,KPRESS

77

;

ACALL PARA\_SUB ;Call subroutine

; PARAMETER OPERATION

ACALL DSPLY\_SUB ;Call subroutine

; DISPLAY-DATA PREPARATION

SJMP KPRESS

-----

-----;

; END OF MAIN ;

-----;

=====;

-----;

; START OF TF1 INTERRUPTION ;

-----;

=====;

ORG 001BH

LJMP T1\_INT

=====;

; TF1 INTERRUPTION ;

=====;

ORG 0100H

T1\_INT: PUSH ACC

PUSH PSW

PUSH B

PUSH DPL

PUSH DPH

MOV ROMAIN,RO

MOV RO,ROINT

เอกสารนี้เป็นเอกสารที่สงวนลิขสิทธิ์การใช้งานเพื่อการศึกษาเท่านั้น ไม่อนุญาตให้นำไปใช้ประโยชน์ด้านการค้า  
ไม่ว่ากรณีใดๆทั้งสิ้น อีกทั้งห้ามมิให้ตัดแปลงเนื้อหา และต้องอ้างอิงถึงเจ้าของเอกสารทุกครั้งที่มีการนำไปใช้

```

;-----
EXACT:  MOV DPTR,#1800H

        MOVX @DPTR,A

;-----

PPTR:   MOV A,R6

        RL A

        MOV DPTR,#PROCDN

        JMP @A+DPTR

PROCDN: NOP

        NOP

        AJMP PROCD1
        AJMP PROCD2
        AJMP PROCD3
        AJMP PROCD4
        AJMP PROCD5
        AJMP PROCD6

;-----

PROCD6: ACALL FREAD_SUB

;-----

        JNB RACK,ROTR6

;-----

        ACALL PWM_SUB

;-----

        SJMP ROTR6

;-----

PROCD5: ACALL DETECT_SUB

;-----

        JNB RACK,ROTR6

```

```
ACALL PWM_SUB
```

```
;-----  
SJMP ROTR6  
;-----
```

```
PROCD4: ACALL RUNDIR_SUB
```

```
;-----  
JNB RACK,ROTR6  
;-----
```

```
ACALL PWM_SUB
```

```
;-----  
SJMP ROTR6  
;-----
```

```
PROCD3: JNB RACK,ROTR6
```

```
;-----  
ACALL RAMP_SUB  
;-----
```

```
;*** V_SELECT ***;
```

```
MOV A,OME
```

```
MOV DPTR,#OFOOH
```

```
MOVC A,@A+DPTR
```

```
MOV M,A
```

```
;-----  
ACALL PWM_SUB  
;-----
```

```
SJMP ROTR6
```

```
;-----
```

```
PROCD2: JNB RACK,ROTR6
```

```
;-----
```

เอกสารนี้เป็นเอกสารที่สงวนไว้สำหรับการใช้งานเพื่อการศึกษาเท่านั้น ไม่อนุญาตให้นำไปใช้ประโยชน์ด้านการค้า  
ไม่ว่ากรณีใดๆทั้งสิ้น ACALL BOOST\_SUB เนื้อหา และต้องอ้างอิงถึงเจ้าของเอกสารทุกครั้งที่มีการนำไปใช้

```

;-----
      ACALL PWM_SUB
;-----

SJMP ROTR6

;-----

PROCD1:  JNB RACK,DSCAN

;-----

      ACALL PWM_SUB

;-----

DSCAN:   ACALL DSCAN_SUB

;-----
;-----

ROTR6:   DJNZ R6,POPVAR
          MOV R6,#06H

;-----

POPVAR:  MOV ROINT,RO
          MOV RO,ROMAIN
          POP DPH
          POP DPL
          POP B
          POP PSW
          POP ACC

          RETI

;-----;
;  END OF TF1 INTERRUPTION  ;
;-----;

```

```

;=====;
;
; SUBROUTINE USED IN MAIN ;
;
;=====;

```

ORG 0200H

```

;-----;
;; PARAMETERS READING ;;
;-----;

```

```

PREAD_SUB: MOV DPTR,#1000H
           MOV R1,#050H
PRD:      MOVX A,@DPTR
           MOV @R1,A
           CJNE R1,#058H,RDLOOP1
           MOV A,FCMOD
           SETB FCF
           JNZ PRDO
           CLR FCF
PRDO:     MOV A,STPMOD
           SETB STPF
           JNZ PRD1
           CLR STPF
PRD1:     RET
RDLOOP1:  INC R1
           INC DPTR
           SJMP PRD

```

```

;-----;
;-----;
;; PARAMETER OPERATION ;;

```

เอกสารนี้เป็นเอกสารที่สงวนไว้สำหรับการใช้งานเพื่อการศึกษาเท่านั้น ไม่อนุญาตให้นำไปใช้ประโยชน์ด้านการค้า  
ไม่ว่ากรณีใดๆทั้งสิ้น อีกทั้งห้ามมิให้ดัดแปลงเนื้อหา และต้องอ้างอิงถึงเจ้าของเอกสารทุกครั้งที่มีการนำไปใช้

```

PARA_SUB:  MOV A,KCD
              CLR KACK
              CJNE A,#00000110B,INVSTAT
              MOV KCT,#00H
              SJMP KCON

```

82

```

INVSTAT:  JNB RACK,KUPDWN
              JB MDAT,KUPDWN
              MOV R4,DSTAT

```

```

              CJNE R4,#08H,KNO
KUPDWN:    CJNE A,#00000101B,KDWN0
              MOV KCT,#01H
              SJMP KCON

```

```

KDWN0:    CJNE A,#00000011B,KNO
              MOV KCT,#02H
              SJMP KCON

```

```

KNO:      MOV KCT,#07H
              RET

```

```

KCON:     MOV A,KCT
              MOV R3,DSTAT
              JNB MDAT,DAT
              JNZ PRUPDWN
              CPL MDAT
              RET

```

```

PRUPDWN: CJNE A,#01H,PRDWN
              CJNE R3,#08H,PRINC
              MOV DSTAT,#00H
              RET

```

```

PRINC:   INC DSTAT

```

RET

เอกสารนี้เป็นเอกสารที่สงวนไว้สำหรับการใช้งานเพื่อการศึกษาเท่านั้น ไม่อนุญาตให้นำไปใช้ประโยชน์ด้านการค้า  
**PRDWN:** CJNE R3,#00H,PRDEC นี้หา และต้องอ้างอิงถึงเจ้าของเอกสารทุกครั้งที่มีการนำไปใช้

```

MOV DSTAT,#08H
RET
PRDEC: DEC DSTAT
RET
DAT: MOV B,#09H
MUL AB
ADD A,DSTAT
RL A
MOV DPTR,#DTBL
JMP @A+DPTR
;
DTBL: AJMP DPO
AJMP DP1
AJMP DP2
AJMP DP3
AJMP DP4
AJMP DP5
AJMP DP6
AJMP DP7
AJMP DP8
AJMP DU0
AJMP DU1
AJMP DU2
AJMP DU3
AJMP DU4
AJMP DU5
AJMP DU6
AJMP DU7
AJMP DU8
AJMP DU9

```

เอกสารนี้เป็นเอกสารที่สงวนไว้สำหรับการใช้งานเพื่อการศึกษาเท่านั้น ไม่อนุญาตให้นำไปใช้ประโยชน์ด้านการค้า  
ไม่ว่ากรณีใดๆ หากมีให้ตัดแปลงเนื้อหา และต้องอ้างอิงถึงเจ้าของเอกสารทุกครั้งที่มีการนำไปใช้

AJMP DD1

AJMP DD2

AJMP DD3

AJMP DU4

AJMP DU5

AJMP DD6

AJMP DD7

AJMP DD8

;

DPO: CPL MDAT

RET

;

DP1: MOV DPTR,#1001H

MOV A,BSET

MOVX @DPTR,A

CPL MDAT

RET

;

DP2: MOV DPTR,#1002H

MOV A,RUP

MOVX @DPTR,A

CPL MDAT

RET

;

DP3: MOV DPTR,#1003H

MOV A,RDWN

MOVX @DPTR,A

CPL MDAT

RET

เอกสารนี้เป็นเอกสารที่สงวนไว้สำหรับการใช้งานเพื่อการศึกษาเท่านั้น ไม่อนุญาตให้นำไปใช้ประโยชน์ด้านการค้า  
ไม่ว่ากรณีใดๆทั้งสิ้น อีกทั้งห้ามมิให้ตัดแปลงเนื้อหา และต้องอ้างอิงถึงเจ้าของเอกสารทุกครั้งที่มีการนำไปใช้

```

DP4:      MOV DPTR,#1004H

          MOV A,FCMOD

          MOVX @DPTR,A

          CPL MDAT

          RET

          ;

```

```

DP5:      MOV DPTR,#1005H

          MOV A,STPMOD

          MOVX @DPTR,A

          CPL MDAT

          RET

          ;

```

```

DP6:      MOV DPTR,#1006H

          MOV A,FMN

          MOVX @DPTR,A

          CPL MDAT

          RET

          ;

```

```

DP7:      MOV DPTR,#1007H

          MOV A,FMX

          MOVX @DPTR,A

          CPL MDAT

          RET

          ;

```

```

DP8:      MOV DPTR,#1008H

          MOV A,DFSET

          MOVX @DPTR,A

          CPL MDAT

          RET

```

เอกสารนี้เป็นเอกสารที่สงวนไว้สำหรับการใช้งานเพื่อการศึกษาเท่านั้น ไม่อนุญาตให้นำไปใช้ประโยชน์ด้านการค้า  
ไม่ว่ากรณีใดๆทั้งสิ้น อีกทั้งห้ามมิให้ตัดแปลงเนื้อหา และต้องอ้างอิงถึงเจ้าของเอกสารทุกครั้งที่มีการนำไปใช้

DU0: RET

86

;

DU1: MOV A,BSET

CJNE A,#032H,BSO

RET

BSO: INC BSET

RET

;

DU2: MOV A,RUP

CJNE A,#0FAH,RUO

RET

RUO: INC RUP

RET

;

DU3: MOV A,RDWN

CJNE A,#0FAH,RDNO

RET

RDNO: INC RDWN

RET

;

DU4: MOV A,FCMOD

ANL A,#00000001B

CPL ACC.0

MOV FCMOD,A

CPL FCF

RET

;

DU5: MOV A,STPMOD

ANL A,#00000001B

CPL ACC.0

เอกสารนี้เป็นเอกสารที่สงวนไว้สำหรับการใช้งานเพื่อการศึกษาเท่านั้น ไม่อนุญาตให้นำไปใช้ประโยชน์ด้านการค้า  
ไม่ว่ากรณีใดๆทั้งสิ้น อีกทั้งห้ามมิให้ตัดแปลงเนื้อหา และต้องอ้างอิงถึงเจ้าของเอกสารทุกครั้งที่มีการนำไปใช้

```

MOV STPMOD,A
CPL STPF
RET
;
DU6:  MOV A,FMN
      CJNE A,#OFOH,FMNO
      RET
FMNO:  INC FMN
      RET
;
DU7:  MOV A,FMX
      CJNE A,#OFOH,FMXO
      RET
FMXO:  INC FMX
      RET
;
DU8:  CLR C
      MOV A,DFSET
      SUBB A,FMX
      JC DFSO
      MOV DFSET,FMX
      RET
DFSO:  INC DFSET
      RET
;
DD1:  MOV A,BSET
      JZ NOTO
      DEC BSET

```

**NOTO:** RET  
 เอกสารนี้เป็นเอกสารที่สงวนไว้สำหรับการใช้งานเพื่อการศึกษาเท่านั้น ไม่อนุญาตให้นำไปใช้ประโยชน์ด้านการค้า  
 ไม่ว่าจะกรณีใดๆทั้งสิ้น อีกทั้งห้ามมิให้ดัดแปลงเนื้อหา และต้องอ้างอิงถึงเจ้าของเอกสารทุกครั้งที่มีการนำไปใช้

```

DD2:      MOV A,RUP
          CJNE A,#01H,RU1
          RET
RU1:      DEC RUP
          RET
          ;
DD3:      MOV A,RDWN
          CJNE A,#01H,RD1
          RET
RD1:      DEC RDWN
          RET
          ;
DD6:      MOV A,FMN
          CJNE A,#01H,FMN1
          RET
FMN1:     DEC FMN
          RET
          ;
DD7:      MOV A,FMX
          CJNE A,#01H,FMX1
          RET
FMX1:     DEC FMX
          RET
          ;
DD8:      CLR C
          MOV A,FMN
          SUBB A,DFSET
          JC DFO
          MOV DFSET,FMN
          RET

```

เอกสารนี้เป็นเอกสารที่สงวนไว้สำหรับการใช้งานเพื่อการศึกษาเท่านั้น ไม่อนุญาตให้นำไปใช้ประโยชน์ด้านการค้า  
 ไม่ว่ากรณีใดๆทั้งสิ้น อีกทั้งห้ามมิให้ดัดแปลงเนื้อหา และต้องอ้างอิงถึงเจ้าของเอกสารทุกครั้งที่มีการนำไปใช้

DFO: DEC DFSET

89

RET

;

;;-----;;

;; DISPLAY-DATA PREPARATION ;;

;;-----;;

DSPLY\_SUB: JNB DSPEN,DISO

JNB MDAT,DATDSP

CLR DIX

MOV DSP3,#073H

MOV DSP2,#050H

MOV DSP1,#03FH

MOV DPTR,#1F10H

MOV A,DSTAT

MOVC A,@A+DPTR

MOV DSPO,A

RET

DATDSP: MOV DPTR,#DSPTBL

MOV A,DSTAT

RL A

JMP @A+DPTR

;

DSPTBL: AJMP DSPLO

AJMP DSPL1

AJMP DSPL2

AJMP DSPL3

AJMP DSPL4

AJMP DSPL5

AJMP DSPL6

AJMP DSPL7

เอกสารนี้เป็นเอกสารที่สงวนลิขสิทธิ์สำหรับการใช้งานเพื่อการศึกษาเท่านั้น ไม่อนุญาตให้นำไปใช้ประโยชน์ด้านการค้า  
ไม่ว่ากรณีใดๆที่ผู้รับอนุญาตให้คัดแปลงเนื้อหา และต้องอ้างอิงถึงเจ้าของเอกสารทุกครั้งที่มีการนำไปใช้

```

AJMP DSPL8

DIS0:   CLR A

        MOV DSP3,A
        MOV DSP2,A
        MOV DSP1,A
        MOV DSPO,A

        RET

        ;

DSPLO:  MOV A,DCD

        JNZ DSPL01

        MOV CONVERT,OMEGA
        ACALL CONVERT1
        ACALL BCD2DSP
        SETB DIX
        RET

DSPL01: CJNE A,#01H,DSPL02

        MOV DSP3,#00H
        MOV DSP2,#050H
        MOV DSP1,#05EH
        MOV DSPO,#06EH

        CLR DIX

        RET

DSPLO2: CJNE A,#02H,DSPL03

        MOV DSP3,#00H

        MOV DSP2,#06H

        MOV DSP1,#054H

        MOV DSPO,#074H

        CLR DIX

        RET

```

เอกสารนี้เป็นเอกสารที่สงวนไว้สำหรับการใช้งานเพื่อการศึกษาเท่านั้น ไม่อนุญาตให้นำไปใช้ประโยชน์ด้านการค้า  
 DSPLO3: MOV DSP3,#073H เปลี่ยนเนื้อหา และต้องอ้างอิงถึงเจ้าของเอกสารทุกครั้งที่มีการนำไปใช้

```
MOV DSP2,#050H
```

```
MOV DSP1,#079H
```

```
MOV DSP0,#050H
```

```
CLR DIX
```

```
RET
```

```
;
```

```
DSPL1: MOV CONVERT,BSET
```

```
ACALL CONVERT2
```

```
ACALL BCD2DSP
```

```
SETB DIX
```

```
RET
```

```
;
```

```
DSPL2: MOV CONVERT,RUP
```

```
ACALL CONVERT2
```

```
ACALL BCD2DSP
```

```
SETB DIX
```

```
RET
```

```
;
```

```
DSPL3: MOV CONVERT,RDWN
```

```
ACALL CONVERT2
```

```
ACALL BCD2DSP
```

```
SETB DIX
```

```
RET
```

```
;
```

```
DSPL4: MOV CON,#00H
```

```
MOV VERT,FCMOD
```

```
ACALL BIN2BCD
```

```
ACALL BCD2DSP
```

```
CLR DIX
```

```
RET
```

```

;
DSPL5:  MOV CON,#00H
        MOV VERT,STPMOD
        ACALL BIN2BCD
        ACALL BCD2DSP
        CLR DIX
        RET
;
DSPL6:  MOV CONVERT,FMN
        ACALL CONVERT1
        ACALL BCD2DSP
        SETB DIX
        RET
;
DSPL7:  MOV CONVERT,FMX
        ACALL CONVERT1
        ACALL BCD2DSP
        SETB DIX
        RET
;
DSPL8:  MOV CONVERT,DFSET
        ACALL CONVERT1
        ACALL BCD2DSP
        SETB DIX
        RET
;-----
;:-----;:
;:  BCD2DSP  ;:
;:-----;:

```

```

MOV RO,#043H
MOV DPTR,#1F10H
CJNE @R1,#00H,BCD1
MOV @RO,#00H
SJMP BCDO

```

```

BCD1:  MOV A,@R1
        MOVC A,@A+DPTR
        CJNE RO,#041H,BCD2
        JNB DIX,BCD2
        SETB ACC.7

```

```

BCD2:  MOV @RO,A
        CJNE RO,#040H,BCDO
        RET

```

```

BCDO:  DEC RO
        DEC R1
        SJMP BCD1
;-----;
;;-----;;
;; BIN2BCD ;;
;;-----;

```

```

BIN2BCD: MOV R1,#060H
          MOV A,VERT
BIN1:    MOV B,#0AH
          DIV AB
          MOV @R1,B
          CJNE R1,#061H,BIN0
          MOV A,CON
BIN2:    INC R1

```

```

          SJMP BIN1

```

เอกสารนี้เป็นเอกสารที่สงวนไว้สำหรับการใช้งานเพื่อการศึกษาเท่านั้น ไม่อนุญาตให้นำไปใช้ประโยชน์ด้านการค้า  
 BIN0: CJNE R1,#063H,BIN2  
 ไม่ว่ากรณีใดๆทั้งสิ้น อีกทั้งห้ามมีเหตุดัดแปลงเนื้อหา และต้องอ้างอิงถึงเจ้าของเอกสารทุกครั้งที่มีการนำไปใช้

RET

94

;------;

;;-----;;

;; CONVERT1 ;;

;;-----;;

CONVERT1: MOV A, CONVERT

MOV B, #080H

MUL AB

MOV QUAT, B

MOV B, #0AH

MUL AB

MOV PDSPO, B

MOV R1, #061H

MOV A, QUAT

CONV1: MOV B, #0AH

DIV AB

MOV @R1, B

CJNE R1, #063H, CONVO

RET

CONVO: INC R1

SJMP CONV1

;------;

;;-----;;

;; CONVERT2 ;;

;;-----;;

CONVERT2: MOV A, CONVERT

MOV B, #04H

MUL AB

MOV CON, #00H

CNVTO: MOV VERT, A

เอกสารนี้เป็นเอกสารที่สงวนไว้สำหรับการใช้งานเพื่อการศึกษาเท่านั้น ไม่อนุญาตให้นำไปใช้ประโยชน์ด้านการค้า  
ไม่ว่ากรณีใดๆทั้งสิ้น อีกทั้งห้ามมิให้ตัดแปลงเนื้อหา และต้องอ้างอิงถึงเจ้าของเอกสารทุกครั้งที่มีการนำไปใช้

```

SUBB A,#064H

JNC CNVT2

MOV R4,B

CJNE R4,#00H,CNVT1

ACALL BIN2BCD

RET

CNVT1:  DEC B

        CLR C

CNVT2:  INC CON

        SJMP CNVTO

;-----;
;  END OF SUBROUTINE USED IN MAIN  ;
;-----;
;=====;
;  SUBROUTINE USED IN FLAG TF1 INTERRUPTION  ;
;=====;
;-----; ;
; ; FREAD_SUB ; ;
;-----; ;

FREAD_SUB: DJNZ FSMP,FRDSUB2

;

MOV CNTH,TH1

MOV CNTL,TL1

CLR A

MOV TH1,A

MOV TL1,A

;

MOV FSMP,#010H

CLR C

```

เอกสารนี้เป็นเอกสารที่สงวนไว้สำหรับการใช้งานเพื่อการศึกษาเท่านั้น ไม่อนุญาตให้นำไปใช้ประโยชน์ด้านการค้า  
ไม่ว่ากรณีใดๆทั้งสิ้น อีกทั้งห้ามมิให้ตัดแปลงเนื้อหา และต้องอ้างอิงถึงเจ้าของเอกสารทุกครั้งที่มีการนำไปใช้

```

RRC A
JNZ MAXF
MOV A,CNTL
RRC A
MOV CNTL,A
JC FRD2
MOV FRD,CNTL
SETB FCONT
RET
FRD2:   INC A
        JZ MAXF
        SETB FCONT
        CJNE A,FRD,FRD3
        RET
FRD3:   MOV FRD,CNTL
        RET
SCALING: MOV A,FMX
        CLR C
        SUBB A,FMN
        MOV B,FRD
        MUL AB
        MOV A,FMN
        ADD A,B
        MOV AFSET,A
FRD1:   MOV FSET,AFSET
        JNB FCF,FRD_END
        MOV FSET,DFSET
FRD_END: RET
MAXF:   MOV AFSET,FMX

```

เอกสารนี้เป็นเอกสารที่สงวนไว้สำหรับการใช้งานเพื่อการศึกษาเท่านั้น ไม่อนุญาตให้นำไปใช้ประโยชน์ด้านการค้า  
 S JMP FRD1  
 ไม่ว่าจะกรณีใดๆทั้งสิ้น อีกทั้งห้ามมิให้ตัดแปลงเนื้อหา และต้องอ้างอิงถึงเจ้าของเอกสารทุกครั้งที่มีการนำไปใช้

FRDSUB2: JNB FCONT,FRD\_END

97

CLR FCONT

SJMP SCALING

;-----

;;-----;;

;; DETECT\_SUB ;;

;;-----;;

DETECT\_SUB: DJNZ KSMP,KLOOPO

MOV KSMP,#OAH

MOV C,RST

MOV RUNF,C

MOV A,P1

MOV C,ACC.2

MOV SDIR,C

SWAP A

JB KENF,KRX

CLR KACK

RET

KRX: ANL .A,#00000111B

CJNE A,#07H,SENO

MOV KRD,A

RET

SENO: CJNE A,KRD,KLOOP1

DEC R2

CJNE R2,#19H,KLOOP2

MOV KCD,A

SETB KACK

RET

KLOOP2: MOV A,R2

เอกสารนี้เป็นเอกสารที่สงวนไว้สำหรับการใช้งานเพื่อการศึกษาเท่านั้น ไม่อนุญาตให้นำไปใช้ประโยชน์ด้านการค้า

ไม่ว่ากรณีใดๆทั้งสิ้น อีกทั้งห้ามมิให้ดัดแปลงเนื้อหา และต้องอ้างอิงถึงเจ้าของเอกสารทุกครั้งที่มีการนำไปใช้

```

MOV R2,#05H
MOV KCD,KRD
SETB KACK
RET
KLOOP1:  MOV KRD,A
MOV R2,#1AH
KLOOP0:  RET
;-----
;;-----;;
;;  RUNDIR_SUB  ;;
;;-----;;
RUNDIR_SUB: SETB KENF
JNB RUNF,STOPMD
JNB PRDY,REND
SETB RACK
CLR INHO ;Enable inv unit
MOV DCD,#00H
MOV A,PSET
XRL A,PSTAT
JNB ACC.2,NCDIR
MOV FIN,#00H
MOV A,OMEGA
JNZ RRET
CPL DIR
NCDIR:  MOV FIN,FSET
RRET:   RET
REND:   CLR RACK
MOV DCD,#03H
RET

```

เอกสารนี้เป็นเอกสารที่สงวนไว้สำหรับการใช้งานเพื่อการศึกษาเท่านั้น ไม่อนุญาตให้นำไปใช้ประโยชน์ด้านการค้า  
 STOPMD: MOV FIN,#00H  
 ไม่ว่ากรณีใดๆทั้งสิ้น อีกทั้งห้ามแก้ไขเปลี่ยนแปลงเนื้อหา และต้องอ้างอิงถึงเจ้าของเอกสารทุกครั้งที่มีการนำไปใช้

MOV A,OMEGA

99

JNZ NOZERO

CLR RACK

SETB INHO ;Disable inv unit

MOV DCD,#01H ;Show "rdy" at display unit

;

ACALL PCHECK\_SUB

;

RET

NOZERO:

CLR MDAT

MOV DSTAT,#00H

CLR KENF ;Disable keypad unit

JB STPF,RMPMD

SETB INHO ;Disable inv unit

MOV DCD,#02H

RET

RMPMD:

CLR INHO ;Enable inv unit

MOV DCD,#00H

RET

;

;;-----;;

;; PARAMETERS CHECKING ;;

;;-----;;

PCHECK\_SUB: CLR C

MOV A,FMX

SUBB A,FMN

CLR PRDY

JC PC1

JNB FCF,PC2

MOV A,FMX

เอกสารนี้เป็นเอกสารที่สงวนไว้สำหรับการใช้งานเพื่อการศึกษาเท่านั้น ไม่อนุญาตให้นำไปใช้ประโยชน์ด้านการค้า  
ไม่ว่ากรณีใดๆทั้งสิ้น อีกทั้งยังมีให้ตัดแปลงเนื้อหา และต้องอ้างอิงถึงเจ้าของเอกสารทุกครั้งที่มีการนำไปใช้

SUBB A,DFSET

100

JC PC1

MOV A,DFSET

SUBB A,FMN

JC PC1

PC2: SETB PRDY

PC1: RET

;

;;-----;;

;; DSCAN\_SUB ;;

;;-----;;

DSCAN\_SUB: CLR A

MOV DPTR,#1400H

MOVX @DPTR,A

MOV C,SCAN.0

MOV SCAN0,C

MOV C,SCAN.1

MOV SCAN1,C

;

MOV A,@RO

MOVX @DPTR,A

MOV A,SCAN

JNZ SCNLP

MOV SCAN,#03H

MOV RO,#043H

RET

SCNLP: DEC SCAN

DEC RO

RET

เอกสารนี้เป็นเอกสารที่สงวนไว้สำหรับการใช้งานเพื่อการศึกษาเท่านั้น ไม่อนุญาตให้นำไปใช้ประโยชน์ด้านการค้า  
ไม่ว่ากรณีใดๆทั้งสิ้น อีกทั้งห้ามมิให้ตัดแบบลงเนื้อหา และต้องอ้างอิงถึงเจ้าของเอกสารทุกครั้งที่มีการนำไปใช้

```

;;-----;;
;;  RAMP_SUB  ;;
;;-----;;

RAMP_SUB:  MOV A,FIN

           CJNE A,OMEGA,RAMPO

           CLR RMPF

           RET

RAMPO:     JB RMPF,RAMPOO

           MOV STUP,RUP

           MOV STDWN,RDWN

           SETB RMPF

RAMPOO:    CLR C

           SUBB A,OMEGA

           JNC RMPUP

           MOV STUP,RUP

           DJNZ STDWN,RAMP1

           DEC OME

           MOV STDWN,RDWN

RAMP1:     RET

RMPUP:     MOV STDWN,RDWN

           DJNZ STUP,RAMP1

           INC OME

           MOV STUP,RUP

           RET

;-----
;;-----;;
;;  BOOST_SUB  ;;
;;-----;;

```

```
BOOST_SUB: CLR C
```

เอกสารนี้เป็นเอกสารที่สงวนไว้สำหรับการใช้งานเพื่อการศึกษาเท่านั้น ไม่อนุญาตให้นำไปใช้ประโยชน์ด้านการค้า

ไม่ว่ากรณีใดๆทั้งสิ้น อีกทั้งห้ามมิให้ตัดแปลงเนื้อหา และต้องอ้างอิงถึงเจ้าของเอกสารทุกครั้งที่มีการนำไปใช้



SUBB A,LTHETA

MOV BUFFER,A

MOV A,#014H

SUBB A,HTHETA

JNC SEC30

CLR C

CPL A

ADD A,#010H

MOV HTHETA,A

MOV A,BUFFER

CPL A

INC A

MOV LTHETA,A

;

;\*\* SELECT NEW VECTOR SET \*\*

;

MOV A,VL

CJNE A,#0AH,SEC20

CLR A

SJMP SEC21

SEC20: ADD A,#02H

SEC21: MOV VL,A

;

;\*\* SEND VECTOR TO VECTOR FILES \*\*

;

MOV A,#01H

MOV DPH,#01FH

JNB DIR,SDPL

MOV DPH,#00EH

SDPL: MOV DPL,VL

เอกสารนี้เป็นเอกสารที่สงวนไว้สำหรับการใช้งานเพื่อการศึกษาเท่านั้น ไม่อนุญาตให้นำไปใช้ประโยชน์ด้านการค้า  
 ใ้มีการแก้ไขใดๆทั้งสิ้น ยกเว้นแต่ผู้มีให้ดัดแปลงเนื้อหา และต้องอ้างอิงถึงเจ้าของเอกสารทุกครั้งที่มีการนำไปใช้

```

MOV C A,@A+DPTR
MOV BUFFER,A
CLR A
MOV C A,@A+DPTR
CPL HRF.2
CPL VFSEL
MOV DPH,HRF
MOV DPL,#00H
MOVX @DPTR,A
SWAP A
INC DPL
MOVX @DPTR,A
MOV A,BUFFER
INC DPL
MOVX @DPTR,A
SWAP A
INC DPL
MOVX @DPTR,A
;
;*** READ CONSTANT K FROM TABLE ***
;

```

SEC90:

```

CLR A
MOV DPL,LTHETA
MOV DPH,HTHETA
MOV C A,@A+DPTR
MOV K1,A
CLR C
MOV A,DPL

```

เอกสารนี้เป็นเอกสารสงวนลิขสิทธิ์สำหรับการใช้งานเพื่อการศึกษาเท่านั้น ไม่อนุญาตให้นำไปใช้ประโยชน์ด้านการค้า  
ไม่ว่ากรณีใดๆที่มีให้ตัดแปลงเนื้อหา และต้องอ้างอิงถึงเจ้าของเอกสารทุกครั้งที่มีการนำไปใช้

```

MOV A,DPH
ADDC A,#04H
MOV DPH,A
CLR A
MOVC A,@A+DPTR
MOV K2,A

```

```

- - CLR C

```

```

MOV A,DPL
ADD A,#0BOH
MOV DPL,A
MOV A,DPH
ADDC A,#04H
MOV DPH,A
CLR A
MOVC A,@A+DPTR
MOV K3,A

```

```

;
```

```

;*** SEC4 PULSEWIDTH CALCULATION ***

```

```

;
```

```

MOV B,MSET
MUL AB

```

```

SEC40: CLR C
MOV A,#080H
SUBB A,B
JNC SEC401
CLR A

```

```

SEC401: JNZ SEC41
INC A

```

```

SEC41: MOV BETA,A

```

```

MOV A,K2

```

เอกสารนี้เป็นเอกสารที่สงวนไว้สำหรับการใช้งานเพื่อการศึกษาเท่านั้น ไม่อนุญาตให้นำไปใช้ประโยชน์ด้านการค้า  
ไม่ว่ากรณีใดๆทั้งสิ้น อีกทั้งยังมีให้ตัดแปลงเนื้อหา และต้องอ้างอิงถึงเจ้าของเอกสารทุกครั้งที่มีการนำไปใช้

```

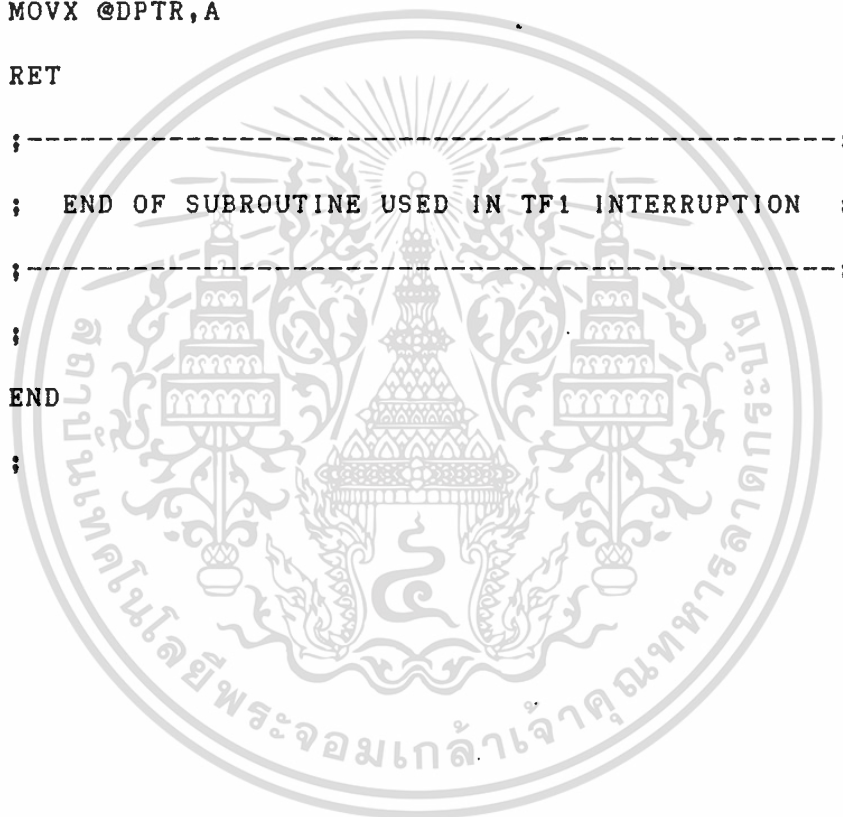
MOV B,MSET
MUL AB
SEC42:  MOV ALPH2,B
        MOV A,K1
        MOV B,MSET
        MUL AB
SEC43:  CLR C
        MOV A,ALPH2
        SUBB A,B
        JC SEC44
        MOV ALPH1,ALPH2
        SJMP SEC50
SEC44:  MOV ALPH1,B
        ;
        ;*** SEC5 FORM TIMER DATA AND OUTPUT TO 8253 ***
        ;
SEC50:  CLR C
        MOV A,BETA
        MOV DPTR,#0800H
        MOVX @DPTR,A
        ADD A,ALPH2
        MOV BUFFER,A
        SUBB A,#252D
        JC SEC51
        MOV BUFFER,#252D
SEC51:  CLR C
        MOV A,BUFFER
        INC DPL
        MOVX @DPTR,A
        MOV A,BETA

```

เอกสารนี้เป็นเอกสารที่สงวนไว้สำหรับการใช้งานเพื่อการศึกษาเท่านั้น ไม่อนุญาตให้นำไปใช้ประโยชน์ด้านการค้า  
ไม่ว่ากรณีใดๆทั้งสิ้น อีกทั้งห้ามมิให้ดัดแปลงเนื้อหา และต้องอ้างอิงถึงเจ้าของเอกสารทุกครั้งที่มีการนำไปใช้

```

ADD A,ALPH1
MOV BUFFER,A
SUBB A,#252D
JC SEC52
MOV BUFFER,#252D
SEC52: CLR C
MOV A,BUFFER
INC DPL
MOVX @DPTR,A
RET
;-----;
; END OF SUBROUTINE USED IN TF1 INTERRUPTION ;
;-----;
;
END
;
```



ORG 1000H

```

;-----;
; K1-TABLE ;
;-----;
;

```

K1TABL:

```

DB ODCH,ODDH,ODDH,ODDH,ODDH,ODDH,ODDH,ODDH,ODDH,ODDH
DB ODDH,ODEH,ODEH,ODEH,ODEH,ODEH,ODEH,ODEH,ODEH,ODEH
DB ODFH,ODFH,ODFH,ODFH,ODFH,ODFH,ODFH,ODFH,ODFH,OE0H
DB OE0H,OE0H,OE0H,OE0H,OE0H,OE0H,OE0H,OE0H,OE0H,OE1H
DB OE1H,OE1H,OE1H,OE1H,OE1H,OE1H,OE1H,OE1H,OE2H,OE2H
;
DB OE2H,OE2H,OE2H,OE2H,OE2H,OE2H,OE2H,OE2H,OE3H,OE3H
DB OE3H,OE3H,OE3H,OE3H,OE3H,OE3H,OE3H,OE3H,OE4H,OE4H
DB OE4H,OE4H,OE4H,OE4H,OE4H,OE4H,OE4H,OE4H,OE5H,OE5H
DB OE5H,OE5H,OE5H,OE5H,OE5H,OE5H,OE5H,OE5H,OE6H,OE6H
DB OE6H,OE6H,OE6H,OE6H,OE6H,OE6H,OE6H,OE6H,OE6H,OE7H
;
DB OE7H,OE7H,OE7H,OE7H,OE7H,OE7H,OE7H,OE7H,OE7H,OE7H
DB OE8H,OE8H,OE8H,OE8H,OE8H,OE8H,OE8H,OE8H,OE8H,OE8H
DB OE8H,OE9H,OE9H,OE9H,OE9H,OE9H,OE9H,OE9H,OE9H,OE9H
DB OE9H,OE9H,OE9H,OE9H,OE9H,OE9H,OE9H,OE9H,OE9H,OE9H
DB OE9H,OE9H,OE9H,OE9H,OE9H,OE9H,OE9H,OE9H,OE9H,OE9H
DB OE9H,OE9H,OE9H,OE9H,OE9H,OE9H,OE9H,OE9H,OE9H,OE9H
DB OE9H,OE9H,OE9H,OE9H,OE9H,OE9H,OE9H,OE9H,OE9H,OE9H
DB OE9H,OE9H,OE9H,OE9H,OE9H,OE9H,OE9H,OE9H,OE9H,OE9H
;*****
DB OEBH,OEBH,OEBH,OEBH,OEBH,OEBH,OEBH,OEBH,OEBH,OEBH
DB OECH,OECH,OECH,OECH,OECH,OECH,OECH,OECH,OECH,OECH
DB OEDH,OEDH,OEDH,OEDH,OEDH,OEDH,OEDH,OEDH,OEDH,OEDH
DB OEEH,OEEH,OEEH,OEEH,OEEH,OEEH,OEEH,OEEH,OEEH,OEEH
DB OEEH,OEEH,OEEH,OEEH,OEEH,OEEH,OEEH,OEEH,OEEH,OEEH
DB OEEH,OEEH,OEEH,OEEH,OEEH,OEEH,OEEH,OEEH,OEEH,OEEH
;
DB OEFH,OEFH,OEFH,OEFH,OEFH,OEFH,OEFH,OEFH,OEFH,OEFH
DB OF0H,OF0H,OF0H,OF0H,OF0H,OF0H,OF0H,OF0H,OF0H,OF0H
DB OF1H,OF1H,OF1H,OF1H,OF1H,OF1H,OF1H,OF1H,OF1H,OF1H

```

DB OF1H, OF1H, OF1H, OF2H, OF2H, OF2H, OF2H, OF2H, OF2H, OF2H, OF2H

DB OF2H, OF2H, OF2H, OF2H, OF2H, OF2H, OF2H, OF2H, OF3H, OF3H, OF3H

;

DB OF3H, OF3H, OF3H, OF3H, OF3H, OF3H, OF3H, OF3H, OF3H, OF3H

DB OF3H, OF3H, OF4H, OF4H, OF4H, OF4H, OF4H, OF4H, OF4H, OF4H

DB OF4H, OF4H, OF4H, OF4H, OF4H, OF4H, OF4H, OF4H, OF5H, OF5H

DB OF5H, OF5H, OF5H, OF5H, OF5H, OF5H, OF5H, OF5H, OF5H, OF5H

DB OF5H, OF5H, OF5H, OF5H, OF5H, OF6H, OF6H, OF6H, OF6H, OF6H

;\*\*\*\*\*

DB OF6H, OF6H, OF6H, OF6H, OF6H, OF6H, OF6H, OF6H, OF6H, OF6H

DB OF6H, OF6H, OF7H, OF7H, OF7H, OF7H, OF7H, OF7H, OF7H, OF7H

DB OF7H, OF7H, OF7H, OF7H, OF7H, OF7H, OF7H, OF7H, OF7H, OF7H

DB OF7H, OF8H, OF8H, OF8H, OF8H, OF8H, OF8H, OF8H, OF8H, OF8H

DB OF8H, OF8H, OF8H, OF8H, OF8H, OF8H, OF8H, OF8H, OF8H, OF8H

;

DB OF8H, OF9H, OF9H, OF9H, OF9H, OF9H, OF9H, OF9H, OF9H, OF9H

DB OF9H, OF9H, OF9H, OF9H, OF9H, OF9H, OF9H, OF9H, OF9H, OF9H

DB OF9H, OF9H, OF9H, OFAH, OFAH, OFAH, OFAH, OFAH, OFAH, OFAH

DB OFAH, OFAH, OFAH, OFAH, OFAH, OFAH, OFAH, OFAH, OFAH, OFAH

DB OFAH, OFAH, OFAH, OFAH, OFAH, OFAH, OFAH, OFBH, OFBH, OFBH

;

DB OFBH, OFBH, OFBH, OFBH, OFBH, OFBH, OFBH, OFBH, OFBH, OFBH

DB OFBH, OFBH, OFBH, OFBH, OFBH, OFBH, OFBH, OFBH, OFBH, OFBH

DB OFBH, OFBH, OFBH, OFBH, OFCH, OFCH, OFCH, OFCH, OFCH, OFCH

DB OFCH, OFCH, OFCH, OFCH, OFCH, OFCH, OFCH, OFCH, OFCH, OFCH

DB OFCH, OFCH, OFCH, OFCH, OFCH, OFCH, OFCH, OFCH, OFCH, OFCH

;\*\*\*\*\*

DB OFCH, OFCH, OFCH, OFCH, OFCH, OFCH, OFDH, OFDH, OFDH, OFDH

DB OFDH, OFDH, OFDH, OFDH, OFDH, OFDH, OFDH, OFDH, OFDH, OFDH

DB OFDH, OFDH, OFDH, OFDH, OFDH, OFDH, OFDH, OFDH, OFDH, OFDH

DB OFDH, OFDH, OFDH, OFDH, OFDH, OFDH, OFDH, OFDH, OFDH, OFDH

DB OFDH, OFDH, OFDH, OFDH, OFDH, OFDH, OFDH, OFDH, OFEH, OFEH

เอกสารนี้เป็นเอกสารที่สงวนไว้สำหรับการใช้งานเพื่อการศึกษาเท่านั้น ไมอนุญาตให้นำไปใช้ประโยชน์ด้านการค้า  
ไม่ว่ากรณีใดๆทั้งสิ้น อีกทั้งห้ามเผยแพร่ต่อผู้อื่น และต้องอ้างอิงถึงเจ้าของเอกสารทุกครั้งที่มาไปใช้

;

DB OFEH, OFEH, OFEH, OFEH, OFEH, OFEH, OFEH, OFEH, OFEH, OFEH

DB OFEH, OFEH, OFEH, OFEH, OFEH, OFEH, OFEH, OFEH, OFEH, OFEH

DB OFEH, OFEH, OFEH, OFEH, OFEH, OFEH, OFEH, OFEH, OFEH, OFEH

DB OFEH, OFEH, OFEH, OFEH, OFEH, OFEH, OFEH, OFEH, OFEH, OFEH

DB OFEH, OFEH, OFEH, OFEH, OFEH, OFEH, OFEH, OFEH, OFEH, OFEH

;

DB OFEH, OFEH, OFEH, OFEH, OFEH, OFEH, OFEH, OFEH, OFEH, OFEH

DB OFEH, OFEH, OFEH, OFEH, OFEH, OFEH, OFEH, OFEH, OFEH, OFEH

DB OFEH, OFEH, OFEH, OFEH, OFEH, OFEH, OFEH, OFEH, OFEH, OFEH

DB OFEH, OFEH, OFEH, OFEH, OFEH, OFEH, OFEH, OFEH, OFEH, OFEH

DB OFEH, OFEH, OFEH, OFEH, OFEH, OFEH, OFEH, OFEH, OFEH, OFEH

;\*\*\*\*\*

DB OFEH, OFEH, OFEH, OFEH, OFEH, OFEH, OFEH, OFEH, OFEH, OFEH

DB OFEH, OFEH, OFEH, OFEH, OFEH, OFEH, OFEH, OFEH, OFEH, OFEH

DB OFEH, OFEH, OFEH, OFEH, OFEH, OFEH, OFEH, OFEH, OFEH, OFEH

DB OFEH, OFEH, OFEH, OFEH, OFEH, OFEH, OFEH, OFEH, OFEH, OFEH

DB OFEH, OFEH, OFEH, OFEH, OFEH, OFEH, OFEH, OFEH, OFEH, OFEH

;

DB OFEH, OFEH, OFEH, OFEH, OFEH, OFEH, OFEH, OFEH, OFEH, OFEH

DB OFEH, OFEH, OFEH, OFEH, OFEH, OFEH, OFEH, OFEH, OFEH, OFEH

DB OFEH, OFEH, OFEH, OFEH, OFEH, OFEH, OFEH, OFEH, OFEH, OFEH

DB OFEH, OFEH, OFEH, OFEH, OFEH, OFEH, OFEH, OFEH, OFEH, OFEH

DB OFEH, OFEH, OFEH, OFEH, OFEH, OFEH, OFEH, OFEH, OFEH, OFEH

;

DB OFEH, OFEH, OFDH, OFDH, OFDH, OFDH, OFDH, OFDH, OFDH, OFDH

DB OFDH, OFDH, OFDH, OFDH, OFDH, OFDH, OFDH, OFDH, OFDH, OFDH

DB OFDH, OFDH, OFDH, OFDH, OFDH, OFDH, OFDH, OFDH, OFDH, OFDH

DB OFDH, OFDH, OFDH, OFDH, OFDH, OFDH, OFDH, OFDH, OFDH, OFDH

DB OFDH, OFDH, OFDH, OFDH, OFCH, OFCH, OFCH, OFCH, OFCH, OFCH

;\*\*\*\*\*

DB OFCH, OFCH, OFCH, OFCH, OFCH, OFCH, OFCH, OFCH, OFCH, OFCH

DB OFCH, OFCH, OFCH, OFCH, OFCH, OFCH, OFCH, OFCH, OFCH, OFCH  
 DB OFCH, OFCH, OFCH, OFCH, OFCH, OFCH, OFBH, OFBH, OFBH, OFBH  
 DB OFBH, OFBH, OFBH, OFBH, OFBH, OFBH, OFBH, OFBH, OFBH, OFBH  
 DB OFBH, OFBH, OFBH, OFBH, OFBH, OFBH, OFBH, OFBH, OFBH, OFBH  
 ;

DB OFBH, OFBH, OFBH, OFAH, OFAH, OFAH, OFAH, OFAH, OFAH, OFAH  
 DB OFAH, OFAH, OFAH, OFAH, OFAH, OFAH, OFAH, OFAH, OFAH, OFAH  
 DB OFAH, OFAH, OFAH, OFAH, OFAH, OFAH, OFAH, OF9H, OF9H, OF9H  
 DB OF9H, OF9H, OF9H, OF9H, OF9H, OF9H, OF9H, OF9H, OF9H, OF9H  
 DB OF9H, OF9H, OF9H, OF9H, OF9H, OF9H, OF9H, OF9H, OF9H, OF8H  
 ;

DB OF8H, OF8H, OF8H, OF8H, OF8H, OF8H, OF8H, OF8H, OF8H, OF8H  
 DB OF8H, OF8H, OF8H, OF8H, OF8H, OF8H, OF8H, OF8H, OF8H, OF7H  
 DB OF7H, OF7H, OF7H, OF7H, OF7H, OF7H, OF7H, OF7H, OF7H, OF7H  
 DB OF7H, OF7H, OF7H, OF7H, OF7H, OF7H, OF7H, OF7H, OF6H, OF6H  
 DB OF6H, OF6H, OF6H, OF6H, OF6H, OF6H, OF6H, OF6H, OF6H, OF6H

\*\*\*\*\*

DB OF6H, OF6H, OF6H, OF6H, OF6H, OF5H, OF5H, OF5H, OF5H, OF5H  
 DB OF5H, OF5H, OF5H, OF5H, OF5H, OF5H, OF5H, OF5H, OF5H, OF5H  
 DB OF5H, OF5H, OF4H, OF4H, OF4H, OF4H, OF4H, OF4H, OF4H, OF4H  
 DB OF4H, OF4H, OF4H, OF4H, OF4H, OF4H, OF4H, OF4H, OF3H, OF3H  
 DB OF3H, OF3H, OF3H, OF3H, OF3H, OF3H, OF3H, OF3H, OF3H, OF3H  
 ;

DB OF3H, OF3H, OF3H, OF2H, OF2H, OF2H, OF2H, OF2H, OF2H, OF2H  
 DB OF2H, OF2H, OF2H, OF2H, OF2H, OF2H, OF2H, OF1H, OF1H, OF1H  
 DB OF1H, OF1H, OF1H, OF1H, OF1H, OF1H, OF1H, OF1H, OF1H, OF1H  
 DB OF1H, OFOH, OFOH, OFOH, OFOH, OFOH, OFOH, OFOH, OFOH, OFOH  
 DB OFOH, OFOH, OFOH, OFOH, OFOH, OFEH, OFEH, OFEH, OFEH, OFEH  
 ;

DB OFEH, OFEH, OFEH, OFEH, OFEH, OFEH, OFEH, OFEH, OEEH, OEEH  
 DB OEEH, OEEH, OEEH, OEEH, OEEH, OEEH, OEEH, OEEH, OEEH, OEEH  
 DB OEEH, OEDH, OEDH, OEDH, OEDH, OEDH, OEDH, OEDH, OEDH, OEDH

```

DB OEDH, OEDH, OEDH, OEDH, OEDH, OEDH, OEDH, OEDH, OEDH, OEDH
DB OECH, OECH, OECH, OECH, OECH, OECH, OECH, OECH, OECH, OECH
;*****
DB OEBH, OEBH, OEBH, OEBH, OEBH, OEBH, OEBH, OEBH, OEBH, OEBH
DB OEAH, OEAH, OEAH, OEAH, OEAH, OEAH, OEAH, OEAH, OEAH, OEAH
DB OE9H, OE9H, OE9H, OE9H, OE9H, OE9H, OE9H, OE9H, OE9H, OE9H
DB OE8H, OE8H, OE8H, OE8H, OE8H, OE8H, OE8H, OE8H, OE8H, OE8H
DB OE7H, OE7H, OE7H, OE7H, OE7H, OE7H, OE7H, OE7H, OE7H, OE7H
;
DB OE6H, OE6H, OE6H, OE6H, OE6H, OE6H, OE6H, OE6H, OE6H, OE6H
DB OE5H, OE5H, OE5H, OE5H, OE5H, OE5H, OE5H, OE5H, OE5H, OE5H
DB OE4H, OE4H, OE4H, OE4H, OE4H, OE4H, OE4H, OE4H, OE4H, OE4H
DB OE3H, OE3H, OE3H, OE3H, OE3H, OE3H, OE3H, OE3H, OE3H, OE3H
DB OE2H, OE2H, OE2H, OE2H, OE2H, OE2H, OE2H, OE2H, OE2H, OE2H
;
DB OE1H, OE1H, OE1H, OE1H, OE1H, OE1H, OE1H, OE1H, OE1H, OE1H
DB OEOH, OEOH, OEOH, OEOH, OEOH, OEOH, OEOH, OEOH, OEOH, OEOH
DB ODFH, ODFH, ODFH, ODFH, ODFH, ODFH, ODFH, ODFH, ODFH, ODFH
DB ODEH, ODEH, ODEH, ODEH, ODEH, ODEH, ODEH, ODEH, ODEH, ODEH
DB ODDH, ODDH, ODDH, ODDH, ODDH, ODDH, ODDH, ODDH, ODDH, ODDH
;
;-----;
; END OF K1-TABLE ;
;-----;

```

END

เอกสารนี้เป็นเอกสารที่สงวนไว้สำหรับการใช้งานเพื่อการศึกษาเท่านั้น ไม่อนุญาตให้นำไปใช้ประโยชน์ด้านการค้า  
ไม่ว่ากรณีใดๆทั้งสิ้น อีกทั้งห้ามมิให้ตัดแปลงเนื้อหา และต้องอ้างอิงถึงเจ้าของเอกสารทุกครั้งที่มีการนำไปใช้

ORG 14BOH

;-----;

; K2-TABLE ;

;-----;

;

K2TABL:

DB ODCH, ODCH, ODCH, ODCH, ODCH, ODCH, ODCH, ODBH, ODBH, ODBH

DB ODBH, ODBH, ODBH, ODBH, ODBH, ODBH, ODAH, ODAH, ODAH, ODAH

DB ODAH, ODAH, ODAH, ODAH, ODAH, OD9H, OD9H, OD9H, OD9H, OD9H

DB OD9H, OD9H, OD9H, OD9H, OD8H, OD8H, OD8H, OD8H, OD8H, OD8H

DB OD8H, OD8H, OD7H, OD7H, OD7H, OD7H, OD7H, OD7H, OD7H, OD7H

;

DB OD7H, OD6H, OD6H, OD6H, OD6H, OD6H, OD6H, OD6H, OD6H, OD5H

DB OD5H, OD5H, OD5H, OD5H, OD5H, OD5H, OD5H, OD4H, OD4H, OD4H

DB OD4H, OD4H, OD4H, OD4H, OD4H, OD3H, OD3H, OD3H, OD3H, OD3H

DB OD3H, OD3H, OD3H, OD2H, OD2H, OD2H, OD2H, OD2H, OD2H, OD2H

DB OD2H, OD1H, OD1H, OD1H, OD1H, OD1H, OD1H, OD1H, OD1H, ODOH

;

DB ODOH, ODOH, ODOH, ODOH, ODOH, ODOH, ODOH, ODOH, OCFH, OCFH, OCFH

DB OCFH, OCFH, OCFH, OCFH, OCFH, OCEH, OCEH, OCEH, OCEH, OCEH

DB OCEH, OCEH, OCDH, OCDH, OCDH, OCDH, OCDH, OCDH, OCDH, OCDH

DB OCCH, OCCH, OCCH, OCCH, OCCH, OCCH, OCCH, OCBH, OCBH, OCBH

DB OCBH, OCBH, OCBH, OCBH, OCBH, OCAH, OCAH, OCAH, OCAH, OCAH

\*\*\*\*\*

DB OCAH, OCAH, OC9H, OC9H, OC9H, OC9H, OC9H, OC9H, OC9H, OC9H

DB OC8H, OC8H, OC8H, OC8H, OC8H, OC8H, OC8H, OC7H, OC7H, OC7H

DB OC7H, OC7H, OC7H, OC7H, OC6H, OC6H, OC6H, OC6H, OC6H, OC6H

DB OC6H, OC5H, OC5H, OC5H, OC5H, OC5H, OC5H, OC5H, OC4H, OC4H

DB OC4H, OC4H, OC4H, OC4H, OC4H, OC3H, OC3H, OC3H, OC3H, OC3H

;

DB OC3H, OC3H, OC2H, OC2H, OC2H, OC2H, OC2H, OC2H, OC2H, OC1H

DB OC1H, OC1H, OC1H, OC1H, OC1H, OC1H, OCOH, OCOH, OCOH, OCOH

DB OCOH, OCOH, OCOH, OBFH, OBFH, OBFH, OBFH, OBFH, OBFH, OBFH

เอกสารนี้เป็นเอกสารที่สงวนไว้สำหรับการใช้งานเพื่อการศึกษาเท่านั้น มิใช่ผู้ใดที่เห็นประโยชน์อื่นใดในการค้า  
ไม่ว่ากรณีใดๆทั้งสิ้น อีกทั้งห้ามมีเหตุดัดแปลงเนื้อหา และต้องอ้างอิงถึงเจ้าของเอกสารทุกครั้งที่มีการนำใช้

DB OBEH, OBEH, OBEH, OBEH, OBEH, OBEH, OBEH, OBDH, OBDH, OBDH  
DB OBDH, OBDH, OBDH, OBCH, OBCH, OBCH, OBCH, OBCH, OBCH, OBCH  
;

DB OBBH, OBBH, OBBH, OBBH, OBBH, OBBH, OBBH, OBAH, OBAH, OBAH  
DB OBAH, OBAH, OBAH, OB9H, OB9H, OB9H, OB9H, OB9H, OB9H, OB9H  
DB OB8H, OB8H, OB8H, OB8H, OB8H, OB8H, OB7H, OB7H, OB7H, OB7H  
DB OB7H, OB7H, OB7H, OB6H, OB6H, OB6H, OB6H, OB6H, OB6H, OB5H  
DB OB5H, OB5H, OB5H, OB5H, OB5H, OB5H, OB4H, OB4H, OB4H, OB4H

\*\*\*\*\*

DB OB4H, OB4H, OB3H, OB3H, OB3H, OB3H, OB3H, OB3H, OB2H, OB2H  
DB OB2H, OB2H, OB2H, OB2H, OB2H, OB1H, OB1H, OB1H, OB1H, OB1H  
DB OB1H, OBOH, OBOH, OBOH, OBOH, OBOH, OBOH, OAFH, OAFH, OAFH  
DB OAFH, OAFH, OAFH, OAEH, OAEH, OAEH, OAEH, OAEH, OAEH, OADH  
DB OADH, OADH, OADH, OADH, OADH, OADH, OACH, OACH, OACH, OACH

;  
DB OACH, OACH, OABH, OABH, OABH, OABH, OABH, OABH, OAAH, OAAH  
DB OAAH, OAAH, OAAH, OAAH, OA9H, OA9H, OA9H, OA9H, OA9H, OA9H  
DB OA8H, OA8H, OA8H, OA8H, OA8H, OA8H, OA7H, OA7H, OA7H, OA7H  
DB OA7H, OA7H, OA6H, OA6H, OA6H, OA6H, OA6H, OA6H, OA5H, OA5H  
DB OA5H, OA5H, OA5H, OA5H, OA4H, OA4H, OA4H, OA4H, OA4H, OA3H  
;

DB OA3H, OA3H, OA3H, OA3H, OA3H, OA2H, OA2H, OA2H, OA2H, OA2H  
DB OA2H, OA1H, OA1H, OA1H, OA1H, OA1H, OA1H, OAOH, OAOH, OAOH  
DB OAOH, OAOH, OAOH, O9FH, O9FH, O9FH, O9FH, O9FH, O9FH, O9EH  
DB O9EH, O9EH, O9EH, O9EH, O9DH, O9DH, O9DH, O9DH, O9DH, O9DH  
DB O9CH, O9CH, O9CH, O9CH, O9CH, O9CH, O9BH, O9BH, O9BH, O9BH

\*\*\*\*\*

DB O9BH, O9AH, O9AH, O9AH, O9AH, O9AH, O9AH, O99H, O99H, O99H  
DB O99H, O99H, O99H, O98H, O98H, O98H, O98H, O98H, O97H, O97H  
DB O97H, O97H, O97H, O97H, O96H, O96H, O96H, O96H, O96H, O95H  
DB O95H, O95H, O95H, O95H, O95H, O94H, O94H, O94H, O94H, O94H  
DB O93H, O93H, O93H, O93H, O93H, O93H, O92H, O92H, O92H, O92H

;

DB 092H,091H,091H,091H,091H,091H,091H,090H,090H,090H

DB 090H,090H,08FH,08FH,08FH,08FH,08FH,08FH,08EH,08EH

DB 08EH,08EH,08EH,08DH,08DH,08DH,08DH,08DH,08DH,08CH

DB 08CH,08CH,08CH,08CH,08BH,08BH,08BH,08BH,08BH,08AH

DB 08AH,08AH,08AH,08AH,08AH,089H,089H,089H,089H,089H

;

DB 088H,088H,088H,088H,088H,087H,087H,087H,087H,087H

DB 087H,086H,086H,086H,086H,086H,085H,085H,085H,085H

DB 085H,084H,084H,084H,084H,084H,084H,083H,083H,083H

DB 083H,083H,082H,082H,082H,082H,082H,081H,081H,081H

DB 081H,081H,080H,080H,080H,080H,080H,07FH,07FH,07FH

\*\*\*\*\*

DB 07FH,07FH,07FH,07EH,07EH,07EH,07EH,07EH,07DH,07DH

DB 07DH,07DH,07DH,07CH,07CH,07CH,07CH,07CH,07BH,07BH

DB 07BH,07BH,07BH,07AH,07AH,07AH,07AH,07AH,079H,079H

DB 079H,079H,079H,078H,078H,078H,078H,078H,078H,077H

DB 077H,077H,077H,077H,076H,076H,076H,076H,076H,075H

;

DB 075H,075H,075H,075H,074H,074H,074H,074H,074H,073H

DB 073H,073H,073H,073H,072H,072H,072H,072H,072H,071H

DB 071H,071H,071H,071H,070H,070H,070H,070H,070H,06FH

DB 06FH,06FH,06FH,06FH,06EH,06EH,06EH,06EH,06EH,06DH

DB 06DH,06DH,06DH,06DH,06CH,06CH,06CH,06CH,06CH,06BH

;

DB 06BH,06BH,06BH,06BH,06AH,06AH,06AH,06AH,06AH,069H

DB 069H,069H,069H,069H,068H,068H,068H,068H,068H,067H

DB 067H,067H,067H,067H,066H,066H,066H,066H,065H,065H

DB 065H,065H,065H,064H,064H,064H,064H,064H,063H,063H

DB 063H,063H,063H,062H,062H,062H,062H,062H,061H,061H

\*\*\*\*\*

DB 061H,061H,061H,060H,060H,060H,060H,060H,05FH,05FH

DB 05FH,05FH,05FH,05EH,05EH,05EH,05EH,05DH,05DH,05DH  
 DB 05DH,05DH,05CH,05CH,05CH,05CH,05CH,05BH,05BH,05BH  
 DB 05BH,05BH,05AH,05AH,05AH,05AH,05AH,059H,059H,059H  
 DB 059H,058H,058H,058H,058H,058H,057H,057H,057H,057H  
 ;

DB 057H,056H,056H,056H,056H,056H,055H,055H,055H,055H  
 DB 055H,054H,054H,054H,054H,053H,053H,053H,053H,053H  
 DB 052H,052H,052H,052H,052H,051H,051H,051H,051H,051H  
 DB 050H,050H,050H,050H,04FH,04FH,04FH,04FH,04FH,04EH  
 DB 04EH,04EH,04EH,04EH,04DH,04DH,04DH,04DH,04CH,04CH  
 ;

DB 04CH,04CH,04CH,04BH,04BH,04BH,04BH,04BH,04AH,04AH  
 DB 04AH,04AH,04AH,049H,049H,049H,049H,048H,048H,048H  
 DB 048H,048H,047H,047H,047H,047H,047H,046H,046H,046H  
 DB 046H,045H,045H,045H,045H,045H,044H,044H,044H,044H  
 DB 044H,043H,043H,043H,043H,042H,042H,042H,042H,042H

\*\*\*\*\*

DB 041H,041H,041H,041H,041H,040H,040H,040H,040H,03FH  
 DB 03FH,03FH,03FH,03FH,03EH,03EH,03EH,03EH,03EH,03DH  
 DB 03DH,03DH,03DH,03CH,03CH,03CH,03CH,03CH,03BH,03BH  
 DB 03BH,03BH,03AH,03AH,03AH,03AH,03AH,039H,039H,039H  
 DB 039H,039H,038H,038H,038H,038H,037H,037H,037H,037H  
 ;

DB 037H,036H,036H,036H,036H,035H,035H,035H,035H,035H  
 DB 034H,034H,034H,034H,034H,033H,033H,033H,033H,032H  
 DB 032H,032H,032H,032H,031H,031H,031H,031H,030H,030H  
 DB 030H,030H,030H,02FH,02FH,02FH,02FH,02FH,02EH,02EH  
 DB 02EH,02EH,02DH,02DH,02DH,02DH,02DH,02CH,02CH,02CH  
 ;

DB 02CH,02BH,02BH,02BH,02BH,02BH,02AH,02AH,02AH,02AH  
 DB 029H,029H,029H,029H,029H,028H,028H,028H,028H,028H  
 DB 027H,027H,027H,027H,026H,026H,026H,026H,026H,025H

```

DB 025H,025H,025H,024H,024H,024H,024H,024H,023H,023H
DB 023H,023H,022H,022H,022H,022H,022H,021H,021H,021H
;*****
DB 021H,020H,020H,020H,020H,020H,01FH,01FH,01FH,01FH
DB 01EH,01EH,01EH,01EH,01EH,01DH,01DH,01DH,01DH,01CH
DB 01CH,01CH,01CH,01CH,01BH,01BH,01BH,01BH,01AH,01AH
DB 01AH,01AH,01AH,019H,019H,019H,019H,018H,018H,018H
DB 018H,018H,017H,017H,017H,017H,017H,016H,016H,016H
;
DB 016H,015H,015H,015H,015H,015H,014H,014H,014H,014H
DB 013H,013H,013H,013H,013H,012H,012H,012H,012H,011H
DB 011H,011H,011H,011H,010H,010H,010H,010H,00FH,00FH
DB 00FH,00FH,00FH,00EH,00EH,00EH,00EH,00DH,00DH,00DH
DB 00DH,00DH,00CH,00CH,00CH,00CH,00BH,00BH,00BH,00BH
;
DB 00BH,00AH,00AH,00AH,00AH,009H,009H,009H,009H,009H
DB 008H,008H,008H,008H,007H,007H,007H,007H,007H,006H
DB 006H,006H,006H,005H,005H,005H,005H,005H,004H,004H
DB 004H,004H,003H,003H,003H,003H,003H,003H,002H,002H,002H
DB 002H,001H,001H,001H,001H,001H,000H,000H,000H,000H
;
;-----;
; END OF K2 TABLE ;
;-----;

```

END

เอกสารนี้เป็นเอกสารที่สงวนไว้สำหรับการใช้งานเพื่อการศึกษาเท่านั้น ไม่อนุญาตให้นำไปใช้ประโยชน์ด้านการค้า  
 ไม่ว่ากรณีใดๆทั้งสิ้น อีกทั้งห้ามมิให้ดัดแปลงเนื้อหา และต้องอ้างอิงถึงเจ้าของเอกสารทุกครั้งที่มีการนำไปใช้

ORG 1960H

;-----;

; K3-TABLE ;

;-----;

;

K3TABL:

DB 06EH,06EH,06EH,06EH,06EH,06EH,06EH,06EH,06EH,06EH

DB 06EH,06EH,06EH,06EH,06EH,06EH,06EH,06EH,06EH,06EH

DB 06EH,06EH,06EH,06EH,06EH,06EH,06EH,06EH,06EH,06EH

DB 06EH,06EH,06EH,06EH,06EH,06EH,06EH,06EH,06EH,06EH

DB 06EH,06EH,06EH,06EH,06EH,06EH,06EH,06EH,06EH,06EH

;

DB 06EH,06EH,06EH,06EH,06EH,06EH,06EH,06EH,06EH,06EH

DB 06EH,06EH,06EH,06EH,06EH,06EH,06EH,06EH,06EH,06EH

DB 06EH,06EH,06EH,06EH,06EH,06EH,06EH,06EH,06EH,06EH

DB 06EH,06EH,06EH,06EH,06EH,06EH,06EH,06EH,06EH,06EH

DB 06EH,06FH,06FH,06FH,06FH,06FH,06FH,06FH,06FH,06FH

;

DB 06FH,06FH,06FH,06FH,06FH,06FH,06FH,06FH,06FH,06FH

DB 06FH,06FH,06FH,06FH,06FH,06FH,06FH,06FH,06FH,06FH

DB 06FH,06FH,06FH,06FH,06FH,06FH,06FH,06FH,06FH,06FH

DB 06FH,06FH,06FH,06FH,06FH,06FH,06FH,06FH,06FH,06FH

DB 06FH,06FH,06FH,06FH,06FH,06FH,06FH,06FH,06FH,06FH

\*\*\*\*\*

DB 06FH,06FH,070H,070H,070H,070H,070H,070H,070H,070H

DB 070H,070H,070H,070H,070H,070H,070H,070H,070H,070H

DB 070H,070H,070H,070H,070H,070H,070H,070H,070H,070H

DB 070H,070H,070H,070H,070H,070H,070H,070H,070H,070H

DB 070H,070H,070H,070H,070H,070H,071H,071H,071H,071H

;

DB 071H,071H,071H,071H,071H,071H,071H,071H,071H,071H

DB 071H,071H,071H,071H,071H,071H,071H,071H,071H,071H

DB 071H,071H,071H,071H,071H,071H,071H,071H,071H,071H

เอกสารนี้เป็นเอกสารที่สงวนไว้สำหรับการใช้งานเพื่อการศึกษาเท่านั้น ไม่อนุญาตให้นำไปใช้ประโยชน์ด้านการค้า  
ไม่ว่ากรณีใดๆทั้งสิ้น อีกทั้งห้ามมิให้ดัดแปลงเนื้อหา และต้องอ้างอิงถึงเจ้าของเอกสารทุกครั้งที่มีการนำไปใช้

DB 071H,071H,072H,072H,072H,072H,072H,072H,072H,072H

DB 072H,072H,072H,072H,072H,072H,072H,072H,072H,072H

;

DB 072H,072H,072H,072H,072H,072H,072H,072H,072H,072H

DB 072H,072H,072H,072H,072H,073H,073H,073H,073H,073H

DB 073H,073H,073H,073H,073H,073H,073H,073H,073H,073H

DB 073H,073H,073H,073H,073H,073H,073H,073H,073H,073H

DB 073H,073H,073H,073H,073H,074H,074H,074H,074H,074H

\*\*\*\*\*

DB 074H,074H,074H,074H,074H,074H,074H,074H,074H,074H

DB 074H,074H,074H,074H,074H,074H,074H,074H,074H,074H

DB 074H,074H,074H,075H,075H,075H,075H,075H,075H,075H

DB 075H,075H,075H,075H,075H,075H,075H,075H,075H,075H

DB 075H,075H,075H,075H,075H,075H,075H,075H,075H,075H

;

DB 076H,076H,076H,076H,076H,076H,076H,076H,076H,076H

DB 076H,076H,076H,076H,076H,076H,076H,076H,076H,076H

DB 076H,076H,076H,076H,076H,076H,077H,077H,077H,077H

DB 077H,077H,077H,077H,077H,077H,077H,077H,077H,077H

DB 077H,077H,077H,077H,077H,077H,077H,077H,077H,077H

;

DB 077H,078H,078H,078H,078H,078H,078H,078H,078H,078H

DB 078H,078H,078H,078H,078H,078H,078H,078H,078H,078H

DB 078H,078H,078H,078H,078H,078H,078H,079H,079H,079H

DB 079H,079H,079H,079H,079H,079H,079H,079H,079H,079H

DB 079H,079H,079H,079H,079H,079H,079H,079H,079H,079H

\*\*\*\*\*

DB 079H,079H,07AH,07AH,07AH,07AH,07AH,07AH,07AH,07AH

DB 07AH,07AH,07AH,07AH,07AH,07AH,07AH,07AH,07AH,07AH

DB 07AH,07AH,07AH,07AH,07AH,07AH,07AH,07BH,07BH,07BH

DB 07BH,07BH,07BH,07BH,07BH,07BH,07BH,07BH,07BH,07BH

DB 07BH,07BH,07BH,07BH,07BH,07BH,07BH,07BH,07BH,07BH

;

DB 07BH,07BH,07CH,07CH,07CH,07CH,07CH,07CH,07CH,07CH

DB 07CH,07CH,07CH,07CH,07CH,07CH,07CH,07CH,07CH,07CH

DB 07CH,07CH,07CH,07CH,07CH,07CH,07CH,07CH,07CH,07DH

DB 07DH,07DH,07DH,07DH,07DH,07DH,07DH,07DH,07DH,07DH

DB 07DH,07DH,07DH,07DH,07DH,07DH,07DH,07DH,07DH,07DH

;

DB 07DH,07DH,07DH,07DH,07DH,07DH,07EH,07EH,07EH,07EH

DB 07EH,07EH,07EH,07EH,07EH,07EH,07EH,07EH,07EH,07EH

DB 07EH,07EH,07EH,07EH,07EH,07EH,07EH,07EH,07EH,07EH

DB 07EH,07EH,07EH,07EH,07EH,07FH,07FH,07FH,07FH,07FH

DB 07FH,07FH,07FH,07FH,07FH,07FH,07FH,07FH,07FH,07FH

\*\*\*\*\*

DB 07FH,07FH,07FH,07FH,07FH,07FH,07FH,07FH,07FH,07FH

DB 07FH,07FH,07FH,07FH,07FH,07FH,080H,080H,080H,080H

DB 080H,080H,080H,080H,080H,080H,080H,080H,080H,080H

DB 080H,080H,080H,080H,080H,080H,080H,080H,080H,080H

DB 080H,080H,080H,080H,080H,080H,080H,080H,080H,080H

;

DB 080H,081H,081H,081H,081H,081H,081H,081H,081H,081H

DB 081H,081H,081H,081H,081H,081H,081H,081H,081H,081H

DB 081H,081H,081H,081H,081H,081H,081H,081H,081H,081H

DB 081H,081H,081H,081H,081H,081H,081H,081H,081H,081H

DB 081H,081H,081H,081H,082H,082H,082H,082H,082H,082H

;

DB 082H,082H,082H,082H,082H,082H,082H,082H,082H,082H

DB 082H,082H,082H,082H,082H,082H,082H,082H,082H,082H

DB 082H,082H,082H,082H,082H,082H,082H,082H,082H,082H

DB 082H,082H,082H,082H,082H,082H,082H,082H,082H,082H

DB 082H,082H,082H,082H,082H,082H,082H,082H,082H,082H

\*\*\*\*\*

DB 082H,082H,082H,082H,082H,082H,082H,082H,082H,082H

DB 082H,082H,083H,083H,083H,083H,083H,083H,083H,083H

DB 083H,083H,083H,083H,083H,083H,083H,083H,083H,083H

DB 083H,083H,083H,083H,083H,083H,083H,083H,083H,083H

DB 083H,083H,083H,083H,083H,083H,083H,083H,083H,083H

;

DB 083H,083H,083H,083H,083H,083H,083H,083H,083H,083H

DB 083H,083H,083H,083H,083H,083H,083H,083H,083H,083H

DB 083H,083H,083H,083H,083H,083H,083H,083H,083H,083H

DB 083H,083H,083H,083H,083H,083H,083H,083H,083H,083H

DB 083H,083H,083H,083H,083H,082H,082H,082H,082H,082H

;

DB 082H,082H,082H,082H,082H,082H,082H,082H,082H,082H

DB 082H,082H,082H,082H,082H,082H,082H,082H,082H,082H

DB 082H,082H,082H,082H,082H,082H,082H,082H,082H,082H

DB 082H,082H,082H,082H,082H,082H,082H,082H,082H,082H

DB 082H,082H,082H,082H,082H,082H,082H,082H,082H,082H

\*\*\*\*\*

DB 082H,082H,082H,082H,082H,082H,081H,081H,081H,081H

DB 081H,081H,081H,081H,081H,081H,081H,081H,081H,081H

DB 081H,081H,081H,081H,081H,081H,081H,081H,081H,081H

DB 081H,081H,081H,081H,081H,081H,081H,081H,081H,081H

DB 080H,080H,080H,080H,080H,080H,080H,080H,080H,080H

;

DB 080H,080H,080H,080H,080H,080H,080H,080H,080H,080H

DB 080H,080H,080H,080H,080H,080H,080H,07FH,07FH,07FH

DB 07FH,07FH,07FH,07FH,07FH,07FH,07FH,07FH,07FH,07FH

DB 07FH,07FH,07FH,07FH,07FH,07FH,07FH,07FH,07FH,07FH

DB 07EH,07EH,07EH,07EH,07EH,07EH,07EH,07EH,07EH,07EH

;

DB 07EH,07EH,07EH,07EH,07EH,07EH,07EH,07EH,07EH,07EH

DB 07DH,07DH,07DH,07DH,07DH,07DH,07DH,07DH,07DH,07DH

DB 07DH,07DH,07DH,07DH,07DH,07DH,07DH,07DH,07CH,07CH

```

DB 07CH,07CH,07CH,07CH,07CH,07CH,07CH,07CH,07CH,07CH
DB 07CH,07CH,07CH,07CH,07BH,07BH,07BH,07BH,07BH,07BH
;*****
DB 07BH,07BH,07BH,07BH,07BH,07BH,07BH,07BH,07BH,07AH
DB 07AH,07AH,07AH,07AH,07AH,07AH,07AH,07AH,07AH,07AH
DB 07AH,07AH,07AH,07AH,079H,079H,079H,079H,079H,079H
DB 079H,079H,079H,079H,079H,079H,079H,078H,078H,078H
DB 078H,078H,078H,078H,078H,078H,078H,078H,078H,078H
;
DB 077H,077H,077H,077H,077H,077H,077H,077H,077H,077H
DB 077H,077H,076H,076H,076H,076H,076H,076H,076H,076H
DB 076H,076H,076H,076H,075H,075H,075H,075H,075H,075H
DB 075H,075H,075H,075H,075H,074H,074H,074H,074H,074H
DB 074H,074H,074H,074H,074H,074H,073H,073H,073H,073H
;
DB 073H,073H,073H,073H,073H,073H,072H,072H,072H,072H
DB 072H,072H,072H,072H,072H,072H,071H,071H,071H,071H
DB 071H,071H,071H,071H,071H,071H,070H,070H,070H,070H
DB 070H,070H,070H,070H,070H,06FH,06FH,06FH,06FH,06FH
DB 06FH,06FH,06FH,06FH,06FH,06EH,06EH,06EH,06EH,06EH
;
;-----;
; END OF K3 TABLE ;
;-----;

```

END

เอกสารนี้เป็นเอกสารที่สงวนไว้สำหรับการใช้งานเพื่อการศึกษาเท่านั้น ไม่อนุญาตให้นำไปใช้ประโยชน์ด้านการค้า  
ไม่ว่ากรณีใดๆทั้งสิ้น อีกทั้งห้ามมิให้ตัดแปลงเนื้อหา และต้องอ้างอิงถึงเจ้าของเอกสารทุกครั้งที่มีการนำไปใช้



DB OF7H, OF7H, OF7H, OF7H, OF7H, OF7H, OF7H, OF7H

DB OF7H, OF7H, OF7H, OF7H, OF7H, OF7H, OF7H, OF7H

DB OF7H, OF7H, OF7H, OF7H, OF7H, OF7H, OF7H, OF7H

DB OF7H, OF7H, OF7H, OF7H, OF7H, OF7H, OF7H, OF7H

DB OF7H, OF7H, OF7H, OF7H, OF7H, OF7H, OF7H, OF7H

;

;- - - - -;


; END OF VOLTAGE SELECTION TABLE ;

;- - - - -;

END



เอกสารนี้เป็นเอกสารที่สงวนไว้สำหรับการใช้งานเพื่อการศึกษาเท่านั้น ไม่อนุญาตให้นำไปใช้ประโยชน์ด้านการค้า  
ไม่ว่ากรณีใดๆทั้งสิ้น อีกทั้งห้ามมิให้ดัดแปลงเนื้อหา และต้องอ้างอิงถึงเจ้าของเอกสารทุกครั้งที่มีการนำไปใช้



ภาคผนวก ข  
บทความที่ได้รับการตีพิมพ์ในวารสาร  
วิศวกรรมสาร  
เล่มที่ 6 ปีที่ 46  
มิถุนายน พ.ศ. 2536

เอกสารนี้เป็นเอกสารที่สงวนไว้สำหรับการใช้งานเพื่อการศึกษาเท่านั้น ไม่อนุญาตให้นำไปใช้ประโยชน์ด้านการค้า  
ไม่ว่ากรณีใดๆทั้งสิ้น อีกทั้งห้ามมิให้ตัดแปลงเนื้อหา และต้องอ้างอิงถึงเจ้าของเอกสารทุกครั้งที่มีการนำไปใช้

การสร้างตัวกำเนิดสัญญาณพัลส์บวลิเอ็มโดยการควบคุมฟลักซ์แม่เหล็ก  
Implementation of PWM Generator by Magnetic Flux Control

นายพงษ์พิชญ์ วิชาสุรมณฑล \*

ดร. วิลลภ สุระกำพลธร \*\*

บทคัดย่อ

บทความนี้อธิบายถึง การสร้างตัวกำเนิดสัญญาณพัลส์บวลิเอ็ม สำหรับ ระบบการขับเคลื่อนมอเตอร์เหนี่ยวนำ โดยวิธีการควบคุมฟลักซ์แม่เหล็ก การออกแบบทางฮาร์ดแวร์และซอฟต์แวร์ สร้างขึ้นบนฐานไมโครคอนโทรลเลอร์ INTEL 8031 วิธีการนี้ให้แรงดันเอาต์พุตค่าสูงสุดเพิ่มขึ้น 15 เปอร์เซ็นต์ และจำนวนการสวิตช์ลดลง 33 เปอร์เซ็นต์ เมื่อเปรียบเทียบกับ วิธีการมอดูเลตด้วยฮาร์โมนิกย่อย ที่ความถี่สุม (ความถี่พาห้) เท่ากัน

Abstract

This paper presents the implementation of PWM generator for AC drive system by magnetic flux control method. Hardware and software design principles are based on INTEL 8031 microcontroller. This method gives a maximum output voltage 15 percent greater and the number of switchings is 33 percent lower than the subharmonic modulation method (SHM) with the same sampling (carrier) frequency.

\* นักศึกษาปริญญาโท คณะวิศวกรรมศาสตร์ พระจอมเกล้า ลาดกระบัง  
 \*\* รองศาสตราจารย์ คณะวิศวกรรมศาสตร์ พระจอมเกล้า ลาดกระบัง

## 1. บทนำ

ปัจจุบัน ระบบควบคุมมอเตอร์เหนี่ยวนำ โดยเฉพาะ มอเตอร์เหนี่ยวนำชนิดกรงระลอกได้เข้ามาแทนที่ ระบบควบคุมมอเตอร์กระแสตรงมากขึ้นเรื่อย ๆ และมีแนวโน้มที่จะเป็นต้นกำลังสำคัญ แทนระบบควบคุมมอเตอร์กระแสตรง ในอนาคตอันใกล้ [1] ทั้งนี้เนื่องจากมอเตอร์ชนิดนี้ มีความทนทานแข็งแรงมากกว่า ราคาถูกกว่า และมีอัตราส่วนกำลังต่อน้ำหนักสูงกว่ามอเตอร์กระแสตรง นอกจากนี้มอเตอร์ชนิดนี้ต้องการการบำรุงรักษาต่ำมากอีกด้วย ด้วยเหตุนี้ จึงมีการพัฒนาเทคนิคการสร้างสัญญาณ พัลส์บลิวเอ็มเอ็ม อย่างต่อเนื่องสำหรับอินเวอร์เตอร์ ในการควบคุมความเร็วรอบของมอเตอร์เหนี่ยวนำ เทคนิคการมอดูเลตด้วยฮาร์โมนิกย่อย (subharmonic modulation; SHM) ซึ่งแรงดัน พัลส์บลิวเอ็มเอ็ม ที่เอาต์พุตสร้างจาก การเปรียบเทียบ คลื่นพาห์แบบสามเหลี่ยม กับคลื่นไซน์อ้างอิง ถูกนำมาใช้งานอย่างแพร่หลาย แม้จะเป็นวิธีการที่ค่อนข้างเก่า ทั้งนี้เนื่องจาก สามารถข่ม (suppressed) แอมพลิจูดของฮาร์โมนิกส์อันดับต่ำๆได้ดี และสามารถสร้างวงจร (implementation) ได้ง่าย โดยวิธีการทางอนาลอก อย่างไรก็ตาม ข้อเสียของวิธีการนี้คือ ความถี่ในการสวิตช์ (switching frequency) ค่อนข้างสูง เมื่อใช้สัญญาณพาห์ความถี่สูง และให้ค่าแรงดันสูงสุด (maximum voltage) ที่เอาต์พุตค่อนข้างต่ำ นอกจากนี้ การสร้างวงจรโดย วิธีการทางอนาลอก ทำให้มีความไวสูง ต่อสัญญาณรบกวนต่างๆ

บทความนี้ กล่าวถึง การออกแบบและการสร้าง ตัวกำเนิดสัญญาณ พัลส์บลิวเอ็มเอ็ม ด้วยการควบคุมพัลส์แม่เหล็ก บนฐานของไมโครคอนโทรลเลอร์ INTEL 8031 เพื่อขจัดข้อเสียของวิธี SHM กล่าวคือ วิธีนี้ จะให้แรงดันสูงสุดที่เอาต์พุตเพิ่มขึ้น 15 เปอร์เซ็นต์ และความถี่สวิตช์ลดลง 33 เปอร์เซ็นต์ เมื่อเปรียบเทียบกับ วิธี SHM ที่ความถี่พาห์ หรือความถี่สลับเท่ากัน ซึ่งหมายถึง การใช้ประโยชน์จากแรงดันไฟตรงได้สูงกว่า และการสูญเสียสวิตช์ต่ำกว่า และเนื่องจากวงจรสร้างขึ้นโดยวิธีการทางดิจิทัลทำให้สัญญาณรบกวนเข้าถึงได้ยาก นอกจากนี้วิธีการนี้ทำงานในโหมด อะซิงโครนัส กล่าวคือ ความถี่สลับคงที่ (ใช้ 4 kHz ในการทดลอง) ตลอดช่วงความถี่เอาต์พุตที่ป้อนให้กับมอเตอร์เหนี่ยวนำ จึงไม่มีปัญหาเรื่อง การกระตุกของแรงบิด (torque) ซึ่งเกิดขึ้นในขณะที่เปลี่ยนเกียร์ (gear-changing) ในตัวกำเนิดสัญญาณพัลส์บลิวเอ็มเอ็ม ชนิดอื่นๆ ที่ทำงานในโหมด ซิงโครนัส

## 2. การแทนปริมาณระบบสามเฟสในรูปสเปซเวกเตอร์

สมมุติให้มอเตอร์เหนี่ยวนำเป็นโหลดที่สมดุลย์ (balance load) แรงดันเฟสขณะใด ๆ ที่ป้อนให้กับมอเตอร์ สามารถแทนในรูปของสเปซเวกเตอร์ได้ดังนี้ [2]

$$\vec{V}_s = (2/3)[v_u + av_v + a^2v_w] \quad (1)$$

เอกสารนี้เป็นเอกสารที่สงวนไว้สำหรับการใช้งานเพื่อการศึกษาเท่านั้น ไม่นิพนธ์ให้นำไปใช้ประโยชน์ด้านการค้า  
ไม่ว่ากรณีใดๆทั้งสิ้น อีกทั้งห้ามมิให้ตัดแปลงเนื้อหา และต้องอ้างอิงถึงเจ้าของเอกสารทุกครั้งที่มีการนำไปใช้

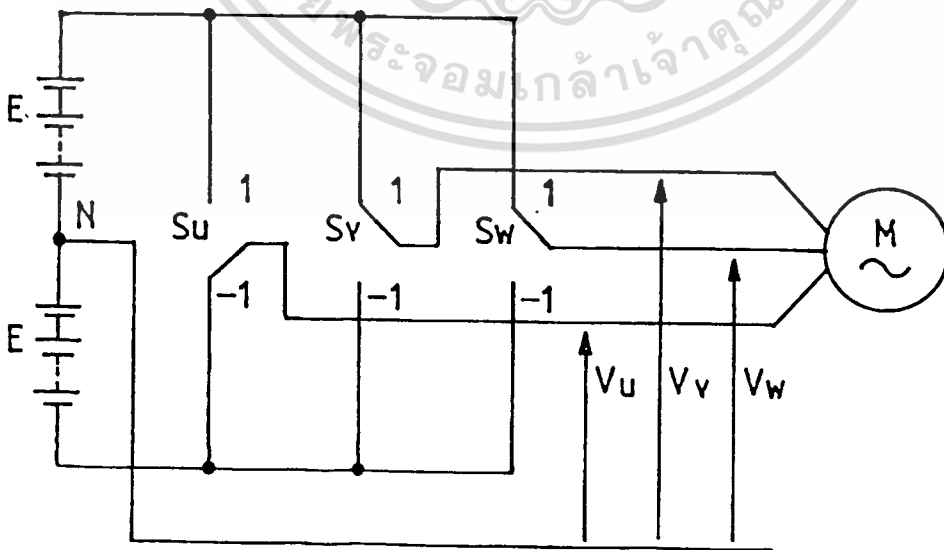
$$a = \exp(j2\pi/3)$$

และ  $v_u, v_v$  และ  $v_w$  เป็นแรงดันเฟสขณะใด ๆ ที่ป้อนให้กับมอเตอร์

โดยการต่อวงจรอินเวอร์เตอร์ชนิดแหล่งจ่ายแรงดัน (Voltage Source Inverter; VSI) เข้ากับมอเตอร์เหนี่ยวนำดังในรูปที่ 1 และให้จุดอ้างอิง N ซึ่งเทียบได้กับจุดนิวทรัล (Neutral Point) ของแหล่งจ่าย อยู่ที่กึ่งกลางของแหล่งจ่ายไฟตรง การจัดตำแหน่งสวิตช์  $S_u, S_v$  และ  $S_w$  สามารถป้อนแรงดันให้กับมอเตอร์ได้ 8 รูปแบบ ดังตารางที่ 1 และสามารถแทนในรูปของเวกเตอร์แรงดัน ที่มีขนาดและทิศทางดังในรูปที่ 2 และสามารถเขียนในรูปของสมการได้ดังนี้

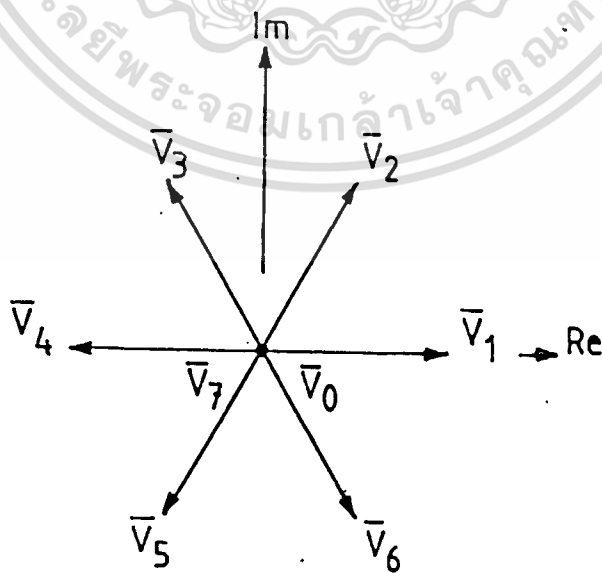
$$\bar{V}_n = \begin{cases} (4E/3)\exp[j(n-1)\pi/3], & n=1,2,\dots,6 \\ 0, & n=0,7 \end{cases} \quad (2)$$

นั่นคือ  $\bar{V}_n$  มีขนาดคงที่แต่ทิศทางแตกต่างกัน หรือขนาดเป็นศูนย์



การแทนชุดแรงดันโพลาร์ในรูปเวกเตอร์แรงดัน

ตำแหน่งสวิตช์ $S_u, S_v, S_w$	เวกเตอร์แรงดัน $\bar{V}_n$ ที่นำมาใช้แทน
-1, -1, -1	$\bar{V}_0$
1, -1, -1	$\bar{V}_1$
1, 1, -1	$\bar{V}_2$
-1, 1, -1	$\bar{V}_3$
-1, 1, 1	$\bar{V}_4$
-1, -1, 1	$\bar{V}_5$
1, -1, 1	$\bar{V}_6$
1, 1, 1	$\bar{V}_7$



เอกสารนี้เป็นเอกสารที่สงวนไว้สำหรับการใช้งานเพื่อการศึกษาเท่านั้น ไม่อนุญาตให้นำไปใช้ประโยชน์ด้านการค้า  
ไม่ว่ากรณีใดๆทั้งสิ้น อีกทั้งห้ามมิให้ดัดแปลงเนื้อหา และต้องอ้างอิงถึงเจ้าของเอกสารทุกครั้งที่มีการนำไปใช้  
รูปที่ 2 เวกเตอร์แรงดันที่สร้างจากอินเวอร์เตอร์ชนิดแหล่งจ่ายแรงดัน

สมมติว่า ความต้านทานในขดสเคเตอร์ของมอเตอร์เหนี่ยวนำมีค่าน้อยมาก ดังนั้น ฟลักซ์เวกเตอร์ที่ขดสเคเตอร์สามารถคำนวณได้ดังนี้

$$\bar{\lambda}_o(t) = \int \bar{V}_o(t) dt \quad (3)$$

แทนค่า

$$\bar{V}_o(t) = \bar{V}_n$$

ดังนั้น

$$\bar{\lambda}_o(t) = \bar{V}_n \Delta t + \bar{\lambda}_o \quad (4)$$

สมการ (4) สามารถอธิบายได้ว่า  $\bar{\lambda}_o$  เคลื่อนที่ไปในทิศทางของ  $\bar{V}_n$  ด้วยความเร็วคงที่ (เนื่องจาก  $\bar{V}_n$  มีขนาดคงที่นั่นเอง) ในเวลา  $\Delta t$  ในกรณีที่  $\eta = 0,7$  หมายความว่า  $\bar{\lambda}_o$  หยุดการเคลื่อนที่ในช่วงเวลา  $\Delta t$

จากรูปที่ 1 จะสังเกตได้ว่า หากสร้างแรงดันระหว่างไลน์ (line voltage) ให้เป็นคลื่นไซน์ได้ จะได้ แรงดันยอด (peak voltage) มีค่าเท่ากับ  $2ME$  โดยที่  $M$  เป็นดัชนีการมอดูเลชัน (modulation index) มีค่าระหว่าง  $0 < M < 1$  และสามารถเขียนในรูปของแรงดันเฟสคลื่นไซน์ (เทียบกับจุด N) คือ

$$\left. \begin{aligned} v_u^*(t) &= (2/\sqrt{3})ME \cos(\omega t) \\ v_v^*(t) &= (2/\sqrt{3})ME \cos(\omega t + 2\pi/3) \\ v_w^*(t) &= (2/\sqrt{3})ME \cos(\omega t + 4\pi/3) \end{aligned} \right\} \quad (5)$$

แทนค่า (5) ลงใน (1) จะได้

เอกสารนี้เป็นเอกสารที่สงวนไว้สำหรับการใช้งานเพื่อการศึกษาเท่านั้น ไม่อนุญาตให้นำไปใช้ประโยชน์ด้านการค้า

ไม่ว่ากรณีใดๆ ทั้งสิ้น อีกทั้งห้ามมิให้ตัดแปลงเนื้อหา และต้องอ้างอิงถึงเจ้าของเอกสารทุกครั้งที่มีการนำไปใช้

$$\bar{V}_o^*(t) = (2/\sqrt{3})ME \exp(j\omega t)$$

$v_u^*$ ,  $v_v^*$  และ  $v_w^*$  เป็นแรงดันเฟสรูปคลื่นไซน์ และ  $\bar{v}_g^*$  เป็น เวกเตอร์แรงดันที่ใช้แทนแรงดันเฟสทั้งสาม

แทนค่า (6) ลงใน (3) จะได้

$$\bar{\lambda}_g^*(t) = \int_0^t \bar{v}_g^*(t) \cdot dt = -j[(2/3)(ME/\omega)] \exp(j\omega t) \quad (7)$$

$\bar{\lambda}_g^*$  นี้ เป็น ฟลักซ์เวกเตอร์อ้างอิง (reference flux vector) ที่หมุนในทิศทาง ทวนเข็มนาฬิกา มีรัศมีขนาด  $(2/3)(ME/\omega)$  และหมุนด้วย ความเร็วเชิงมุม  $\omega$

### 3. หลักการสร้างรูปแบบพีดับบลิวเอ็ม

โดยการเลือกเวกเตอร์แรงดัน  $\bar{v}_n$  ( $n = 0, 1, \dots, 7$ ) และปรับระยะเวลาการใช้เวกเตอร์นั้น ให้เหมาะสมเพื่อให้ทางเดินของฟลักซ์  $\bar{\lambda}_g^*$  ที่ถูกสร้างขึ้นมา เคลื่อนตามเส้นทางของฟลักซ์อ้างอิง  $\bar{\lambda}_g^*$  อย่างแนบชิดที่สุด วิธีการที่กล่าวถึงนี้เรียกว่าวิธี QCLM (Quasi Circular Locus Method)[3] หลักการของวิธีการนี้ สามารถสรุปได้ดังนี้

1) แบ่งวงกลมฟลักซ์อ้างอิง  $\bar{\lambda}_g^*$  ออกเป็นช่วงย่อย ๆ ขนาดมุมเท่ากับ  $\Delta\theta (= \omega\Delta T)$  โดยที่  $\Delta\theta$  และ  $\Delta T$  เป็นมุมการสุ่ม (sampling angle) และ คาบการสุ่ม (sampling period) ตามลำดับ (คาบการสุ่ม  $\Delta T$  เทียบได้กับ คาบพาห์ (carrier period) ของวิธีการ SHM)

2) การเลือก เวกเตอร์แรงดัน ที่เหมาะสมสำหรับแต่ละช่วงย่อย ต้องשרีจลินภายในระยะเวลา คาบการสุ่ม  $\Delta T$

3) แต่ละช่วงย่อย สามารถเลือกใช้ เวกเตอร์แรงดัน ที่มีขนาดไม่เป็นศูนย์ได้ 2 แบบจากที่มีอยู่ 6 แบบ และเลือกใช้ เวกเตอร์แรงดัน ขนาดเป็นศูนย์ได้ 1 แบบ จากที่มีอยู่ 2 แบบ

4) เวกเตอร์แรงดัน ขนาดเป็นศูนย์ ถูกนำมาใช้เฉพาะในการเริ่มต้นและการสิ้นสุดของแต่ละช่วงย่อยเท่านั้น

เอกสารนี้เป็นเอกสารที่สงวนไว้สำหรับการใช้งานเพื่อการศึกษาเท่านั้น ไม่อนุญาตให้นำไปใช้ประโยชน์ด้านการค้า ไม่ว่าจะกรณีใดๆทั้งสิ้น อีกทั้งห้ามมิให้ตัดแปลงเนื้อหา และต้องอ้างอิงถึงเจ้าของเอกสารทุกครั้งที่มีการนำไปใช้

โดยทั่วไปขนาดมุม  $\Delta\theta$  ที่เลือกใช้จะมีขนาดเล็กมากเมื่อเทียบกับทั้งรอบวงกลม  $\lambda_0$  ( $2\pi$  rad) ดังนั้นการทำงานในโหมดเชิงโคโรนัส ซึ่งหมายถึงการแบ่ง  $\lambda_0$  เป็นช่วงย่อยได้เป็นจำนวนเต็มพอดีจึงไม่จำเป็น เพราะผลของ ฮาร์โมนิกส์ ของกระแสและแรงดันที่เกิดขึ้นแทบไม่แตกต่างกันเลย [3], [5]

รูปที่ 3 (ก) แสดงทางเดินของ  $\lambda_0$  และ  $\lambda_1$  ในหนึ่งช่วงย่อย โดย  $\lambda_0$  เคลื่อนที่ไปตามเส้นโค้งด้วย อัตราเร็ว  $(2/3)ME$  ในขณะที่  $\lambda_1$  เคลื่อนที่ด้วย อัตราเร็วกว่าคือ  $|\vec{V}_n| = (4/3)E$  (เมื่อเลือกใช้ เวกเตอร์แรงดัน ที่มีขนาดไม่เป็นศูนย์) เพื่อให้การใช้เวลาในการเคลื่อนที่ของ  $\lambda_0$  และ  $\lambda_1$  เท่ากับ  $\Delta T$  เท่ากัน จึงจำเป็นต้องเลือก เวกเตอร์แรงดัน ที่มีขนาดเป็นศูนย์สำหรับ  $\lambda_0$  ในช่วงเริ่มต้นและสิ้นสุดของแต่ละช่วงย่อย รูปที่ 3(ข) แสดงความสัมพันธ์ของ เวกเตอร์แรงดัน และ แรงดันเฟส ที่เกิดขึ้นในหนึ่งช่วงย่อย จากรูป ความกว้างพัลส์ที่เกิดขึ้น (หน่วยวินาที) เป็นไปตามสมการต่อไปนี้

$$\alpha_1 = K_1(\theta_r)M, \quad \alpha_2 = K_2(\theta_r)M \tag{8}$$

โดยที่

$$K_1(\theta_r) = \Delta T \cos(\theta_r - \pi/6)$$

และ

$$K_2(\theta_r) = \Delta T \cos(\theta_r + \pi/6)$$

โดย

$$\theta_r = \theta_0 + \Delta\theta/2$$

และ

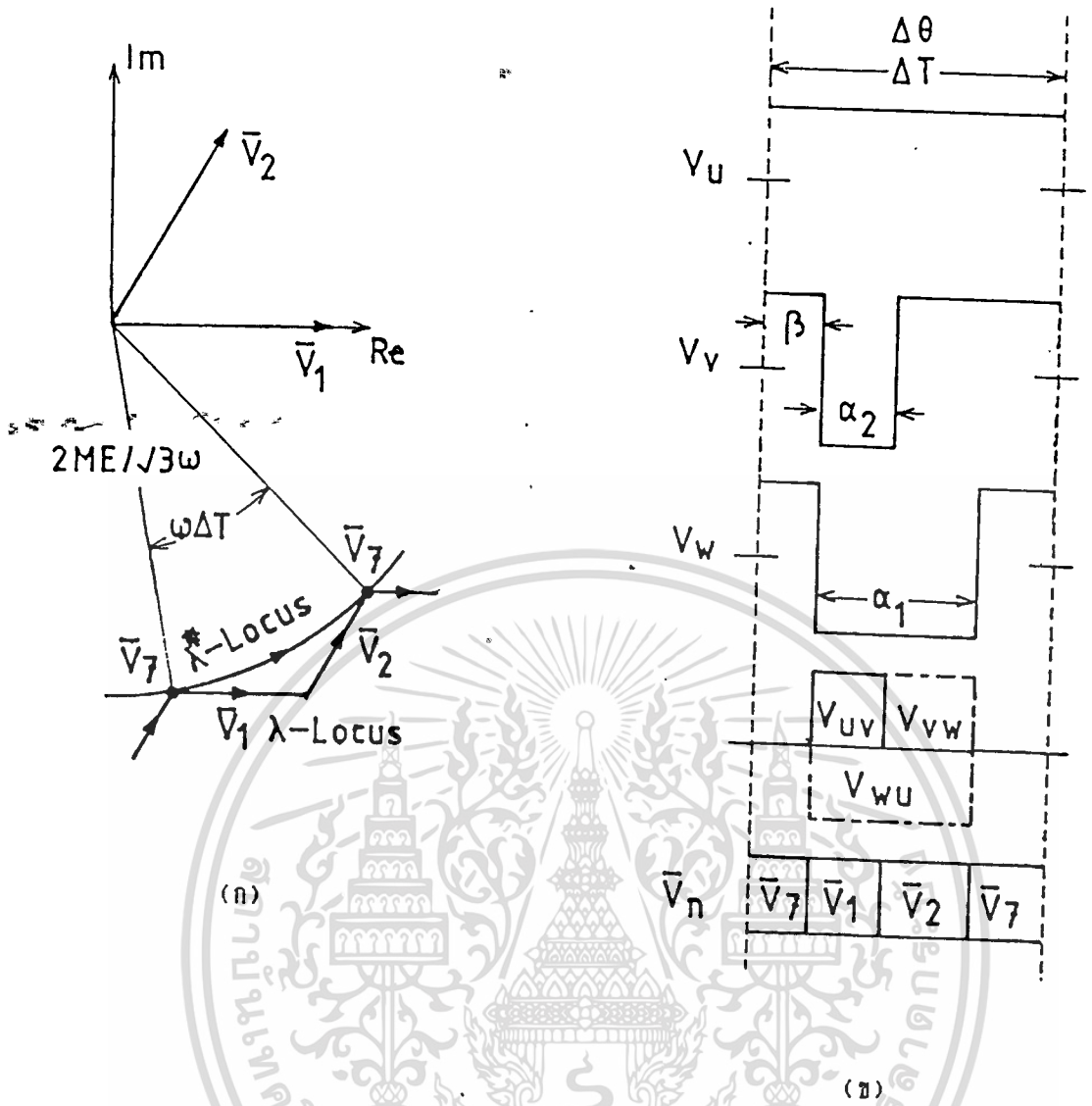
$$\sin(\Delta\theta/2) \approx \omega\Delta T/2$$

โดยที่ ค่า  $\theta_r$  ใช้แทน มุมเฟสของแรงดันของช่วงย่อย  $\Delta T$ ที่กำลังพิจารณา

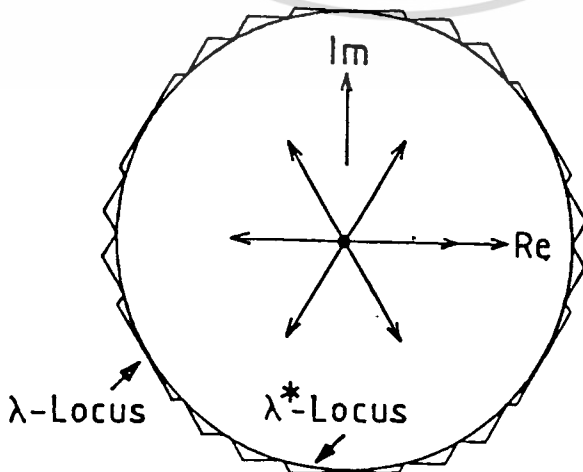
รูปที่ 4 แสดงทางเดินของ  $\lambda_0$  และ  $\lambda_1$  โดยใช้ค่า  $\Delta\theta = 15$  องศา เวกเตอร์แรงดัน ที่เลือกใช้แต่ละชุด จะครอบคลุมเป็นช่วงมุม  $\pi/3$  (60 องศา) และเนื่องจากความสมมาตรในแต่ละช่วง  $\pi/3$  จึงพิจารณา ช่วงมุม  $0 < \theta < \pi/3$  ก็เพียงพอ การเลือกชุดเวกเตอร์แรงดัน ในแต่ละช่วงมุม  $\pi/3$  แสดงในตารางที่ 2

เอกสารนี้เป็นเอกสารที่สงวนไว้สำหรับการใช้งานเพื่อการศึกษาเท่านั้น ไม่อนุญาตให้นำไปใช้ประโยชน์ทางการค้า

ไม่ว่ากรณีใดๆทั้งสิ้น อีกทั้งห้ามมิให้ตัดแปลงเนื้อหา และต้องอ้างอิงถึงเจ้าของเอกสารทุกครั้งที่มีการนำไปใช้



รูปที่ 3 (ก) ลักษณะทางเดินของ  $\lambda_*$  และ  $\lambda$  ภายในช่วงคาบการสุม  $\Delta T$   
 (ข) ความสัมพันธ์ของเวกเตอร์แรงดันกับแรงดันเฟสในหนึ่งช่วงคาบการสุม



เอกสารนี้เป็นเอกสารที่สงวนไว้สำหรับการใช้งานเพื่อการศึกษาเท่านั้น ไม่อนุญาตให้นำไปใช้ประโยชน์ด้านการค้า  
 ไม่ว่าในรูปแบบใดก็ตาม หากมีข้อผิดพลาดประการใด ขออภัยเป็นอย่างสูง และแจ้งแก้ไขในครั้งต่อไป  
 รูปที่ 4 แสดงทางเดินของ  $\lambda_*$  และ  $\lambda$  ที่มุมบัพที่ค่า  $\Delta\theta = 15$  องศา

ในแต่ละช่วง  $\pi/3$  ที่พิจารณาจะพบว่า มีแรงดันเฟสหนึ่งในสามเฟส ที่ไม่มีการสวิตช์เกิดขึ้นเลย คือจะมีแรงดันเป็น  $+E$  หรือ  $-E$  ตลอดช่วง  $\pi/3$  ในขณะที่วิธีการ SHM นั้น การสวิตช์จะเกิดขึ้นทุกเฟส ในทุกช่วงย่อย  $\Delta T$  ดังนั้น สามารถกล่าวได้ว่า วิธีนี้ทำให้จำนวนการสวิตช์ลดลง 33 เปอร์เซ็นต์เทียบกับวิธีการ SHM ที่ความถี่สลับ (หรือความถี่พาห์) เท่ากัน

ตารางที่ 2

การเลือกเวกเตอร์แรงดันเมื่อค่ามุมเฟส  $\theta_r$  อยู่ในช่วงมุมต่างๆ

$\theta_r$	ชุด $\bar{V}_n$ สำหรับช่วงมุมต่างๆ
0 - 60 องศา	$\bar{V}_1, \bar{V}_2, \bar{V}_7$
60 - 120 องศา	$\bar{V}_2, \bar{V}_3, \bar{V}_0$
120 - 180 องศา	$\bar{V}_3, \bar{V}_4, \bar{V}_7$
180 - 240 องศา	$\bar{V}_4, \bar{V}_5, \bar{V}_0$
240 - 300 องศา	$\bar{V}_5, \bar{V}_6, \bar{V}_7$
300 - 360 องศา	$\bar{V}_6, \bar{V}_1, \bar{V}_0$

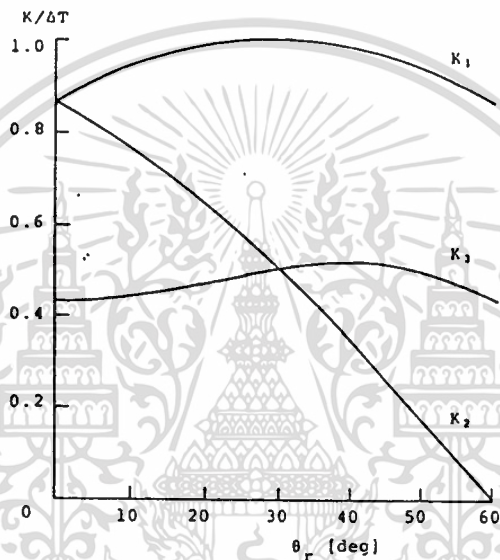
กำหนดให้  $\beta$  เป็นเวลาที่เลือกใช้ เวกเตอร์แรงดันขนาดเป็นศูนย์ในช่วงเริ่มต้นช่วงย่อย  $\Delta T$  การเลือกค่า  $\beta$  ที่เหมาะสมในแต่ละช่วงย่อย จะมีผลให้ค่าฮาร์โมนิกส์ของ กระแสและแรงดันที่เกิดขึ้นเหลือน้อยที่สุด โดยสามารถคำนวณได้จากสมการดังนี้

$$\beta = (\Delta T/2) - K_3(\theta_r)M \tag{9}$$

โดยที่

เอกสารนี้เป็นเอกสารที่สงวนไว้สำหรับการใช้งานเพื่อการศึกษาเท่านั้น ไม่อนุญาตให้นำไปใช้ประโยชน์ด้านการค้า  
 ไม่ว่ากรณีใดๆทั้งสิ้น  $K_3(\theta_r) = ((\sqrt{3}/2)\Delta T[(5\cos(\theta_r)/6) - (\cos(\theta_r)\cos(2\theta_r)/3)])$

โดยการกำหนดค่าการลู่  $\Delta T$  คงที่จะพบว่า  $K_1$ ,  $K_2$  และ  $K_3$  ใน (8) และ (9) เป็นฟังก์ชันของมุมเฟส  $\theta_r$  เท่านั้น ดังนั้นเราสามารถเก็บค่าคงที่เหล่านี้ในลักษณะตาราง ในเทอมของ  $\theta_r$  ไว้ในหน่วยความจำถาวร (ROM) และเนื่องจากความสมมาตร จึงเก็บค่าคงที่เหล่านี้ในช่วง 60 องศาก็เพียงพอ ซึ่งทำให้ประหยัดเนื้อที่ของหน่วยความจำ รูปที่ 5 แสดง เส้นโค้งของ  $K_1$ ,  $K_2$  และ  $K_3$  ตามค่า  $\theta_r$  เนื่องจาก  $\alpha_1, \alpha_2$  และ  $\beta$  เป็นฟังก์ชันเชิงเส้นของ  $H$  การคำนวณจึงทำได้ง่ายและทำได้โดยทันที (on-line calculation) ด้วยไมโครโปรเซสเซอร์ทั่วไป



รูปที่ 5 ความสัมพันธ์ระหว่างค่าสัมประสิทธิ์  $K_1$ ,  $K_2$  และ  $K_3$  กับมุมเฟส  $\theta_r$

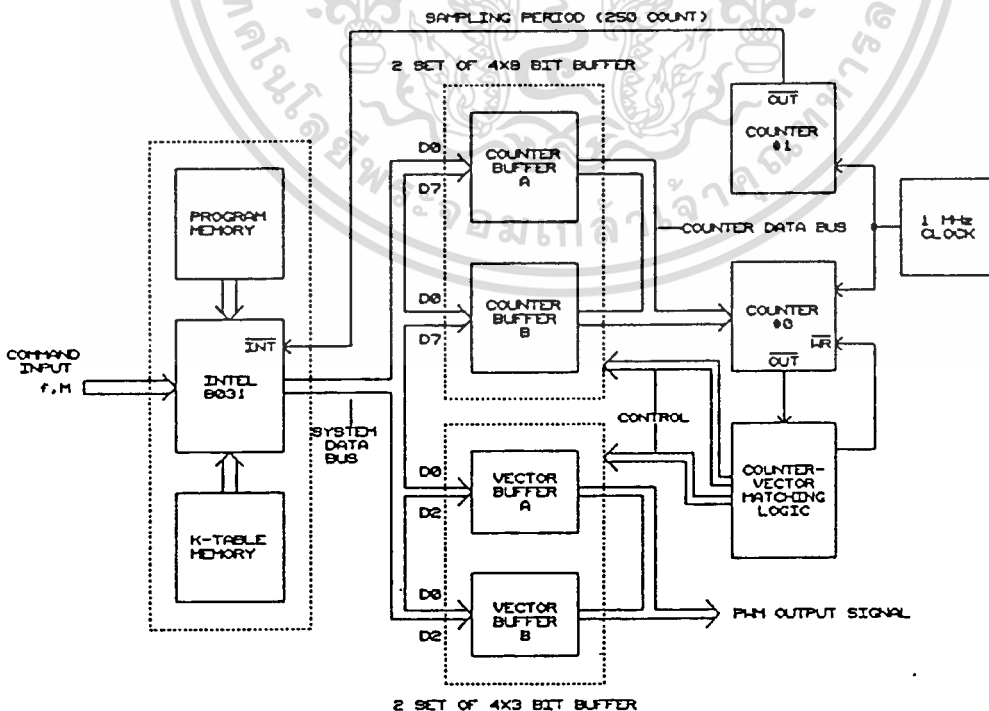
4. การสร้างตัวกำเนิดสัญญาณพีดับลิเวียม

บล็อกไดอะแกรมในรูปที่ 6 แสดงลักษณะฮาร์ดแวร์ของตัวกำเนิดสัญญาณพีดับลิเวียม การเริ่มต้นการทำงานของวงจร (initialization) จะถูกจัดการด้วยโปรแกรมหลัก (main program) ดังในรูปที่ 7 (ก) การทำงานของวงจรสามารถอธิบายดังนี้ ซีพียูจะถูกกระตุ้นด้วยสัญญาณอินเตอร์รัพท์จากตัวนับ # 1 (counter # 1) ทุก ๆ ช่วงเวลา  $\Delta T = 250 \mu s$  เมื่อมีการกระตุ้นเกิดขึ้น ซีพียูจะอ่านค่าความถี่และดัชนีมอดูเลชันจากพอร์ทอินพุท (input port) เพื่อนำมาคำนวณความกว้างพัลส์ (4 ค่า) และเลือกเวกเตอร์แรงดันที่เหมาะสม (4 ชุด) จากนั้น ทำการส่งข้อมูลที่ประมวลผลได้ไปเก็บไว้ยังบัฟเฟอร์ (buffer) การทำงานของโปรแกรมแสดงเป็นลักษณะโฟลว์ชาร์ต ดังในรูปที่ 7 (ข) ข้อมูลความกว้างพัลส์ที่คำนวณได้จะถูกส่งไปเก็บยังบัฟเฟอร์สำหรับตัวนับ (counter buffer) และเวกเตอร์แรงดันที่เตรียมไว้จะถูกส่งไปเก็บยัง บัฟเฟอร์สำหรับเวกเตอร์ (vector buffer) ในแต่ละช่วง  $\Delta T$  ข้อมูลจะถูกส่งไปเก็บในบัฟเฟอร์ที่ถูกเลือกไว้ด้วยโปรแกรมเพียงชนิดเดียวจาก 2 ชนิด คือ A หรือ B

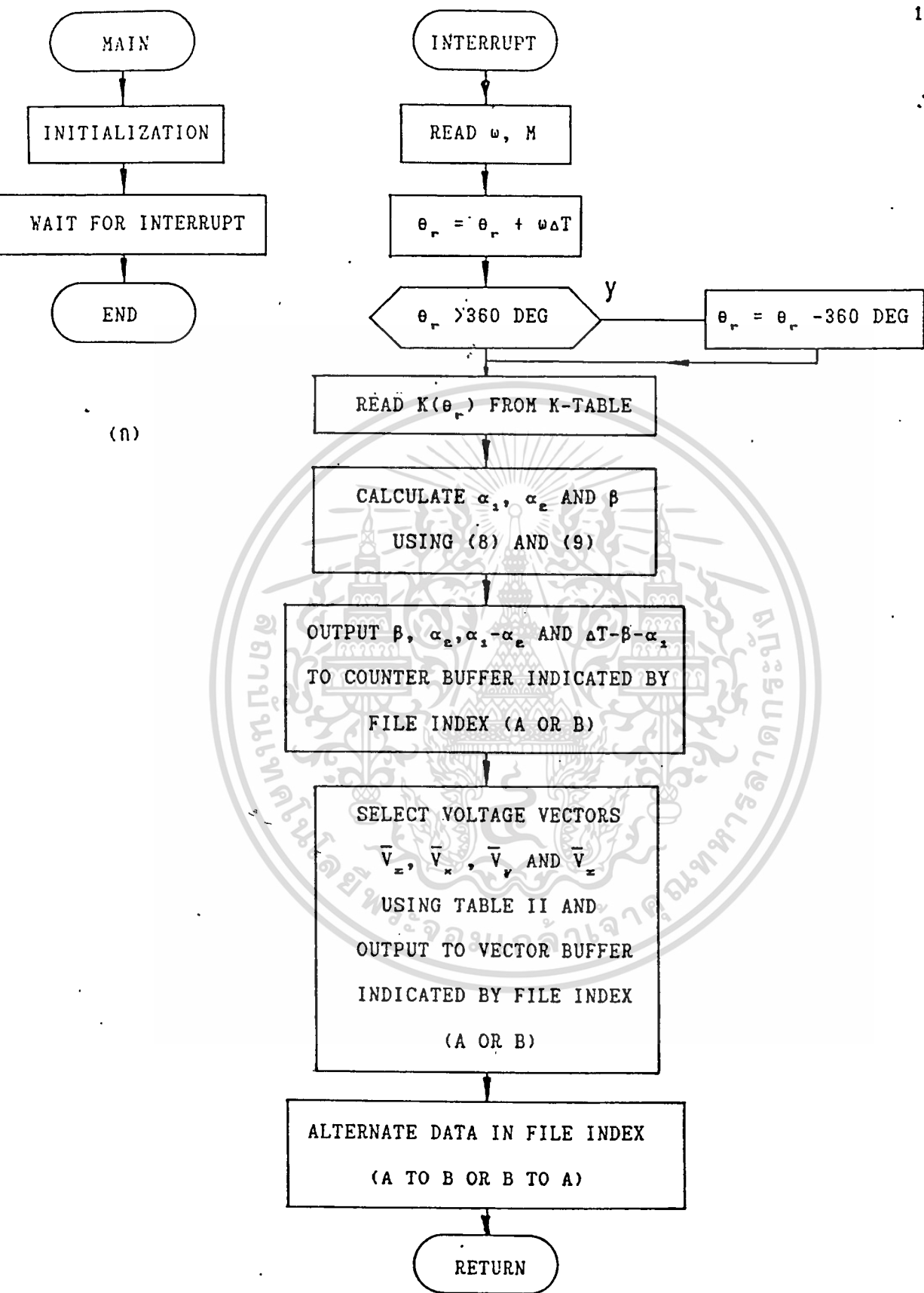
และจะทำกาการสลับชนิดของบัฟเฟอร์ ( B หรือ A ) ที่จะใช้ในการเก็บข้อมูลสำหรับช่วงเวลา  $\Delta T$  ไปด้วย บัฟเฟอร์ที่นำมาใช้นี้เป็นบัฟเฟอร์ชนิดพอร์ตคู่ (dual port buffer) ซึ่งการอ่านและเขียนข้อมูลสามารถทำได้ในเวลาเดียวกัน และแยกการอ่านและเขียนเป็นอิสระต่อกัน บัฟเฟอร์ชนิดนี้ทำให้ส่วนฮาร์ดแวร์ลดความซับซ้อนได้พอสมควร

ในแต่ละช่วงเวลา  $\Delta T$  ที่ผู้ใช้เลือกส่งข้อมูลไปยังบัฟเฟอร์ชนิดหนึ่งนั้น (สมมุติให้เป็นชนิด B) วงจรจับคู่ ตัวนับ-เวกเตอร์ (counter-vector matching logic) จะนำข้อมูลจาก บัฟเฟอร์ชนิดที่เหลือ (ในที่นี้คือ ชนิด A) ไปสร้างเป็นสัญญาณพีดับเบิลยูเอ็ม โดยจะนำข้อมูล ความกว้างพัลส์ใน บัฟเฟอร์สำหรับตัวนับ ไปทำการนับด้วย ตัวนับ #0 (counter #0) ในขณะที่เดียวกันก็จะส่งสัญญาณไปกระตุ้น บัฟเฟอร์สำหรับเวกเตอร์ ให้ส่ง เวกเตอร์แรงดัน ที่สัมพันธ์กับ ความกว้างพัลส์ ที่กำลังทำการนับออกมา

ตัวกำเนิดสัญญาณพีดับเบิลยูเอ็มที่สร้างขึ้นสามารถกำหนดความถี่และแรงดัน (ด้วยดัชนีมอดูละชั้น) ได้อย่างอิสระ และสามารถตอบสนองการเปลี่ยนแปลงความถี่และแรงดันอื่นพุดได้เกือบจะทันที ทำให้ตัวกำเนิดสัญญาณพีดับเบิลยูเอ็มชนิดนี้มีความยืดหยุ่นในการนำไปใช้งานสูง



เอกสารนี้เป็นเอกสารที่สงวนไว้สำหรับการใช้งานเพื่อการศึกษาเท่านั้น ไม่อนุญาตให้นำไปใช้ประโยชน์ด้านการค้า ไม่ว่าจะกรณีใดๆทั้งสิ้น อีกทั้งห้ามมิให้ตัดแปลงเนื้อหา และต้องอ้างอิงถึงเจ้าของเอกสารทุกครั้งที่มีการนำไปใช้ รูปที่ 6 บล็อกไดอะแกรมของตัวกำเนิดสัญญาณพีดับเบิลยูเอ็ม



5. การทดลองและผลการทดลอง

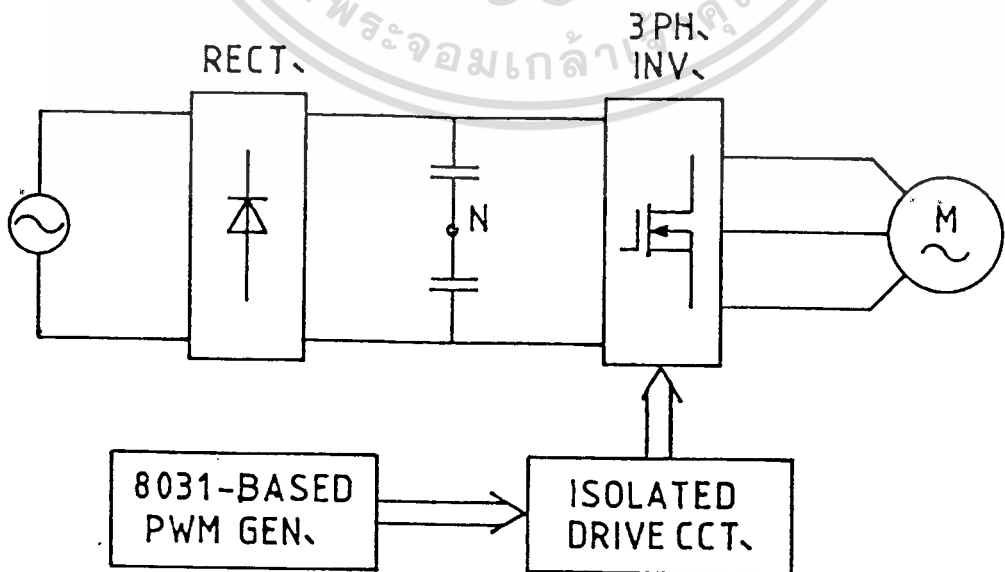
โดยการนำตัวกำเนิดสัญญาณพีดับบลิวเอ็มไปทดลองใช้งานร่วมกับวงจรอินเวอร์เตอร์ ดังในรูปที่ 8 สามารถสรุปคุณสมบัติของตัวกำเนิดสัญญาณพีดับบลิวเอ็มที่สร้างขึ้นได้ดังนี้คือ

- เมื่อกำหนดความละเอียด(resolution) เป็น 0.5 Hz/step สามารถสร้างความถี่เอาต์พุตได้ในช่วง 0-125 Hz

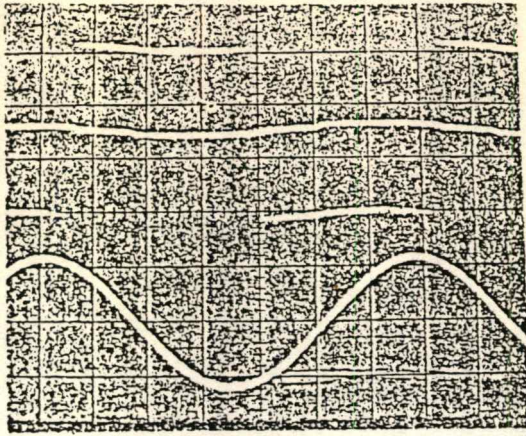
- สามารถสร้างแรงดันขอดสูงสุด (maximum peak voltage) ที่เอาต์พุตได้เท่ากับแรงดันไฟตรงที่ป้อนเข้าอินเวอร์เตอร์

- เมื่อใช้ความถี่สุมเป็น 4 KHz ทำให้ความถี่การสวิตช์ของอุปกรณ์สวิตซ์ซึ่งกำลัง (power switching devices) แต่ละตัวมีค่าประมาณ 2.67 KHz

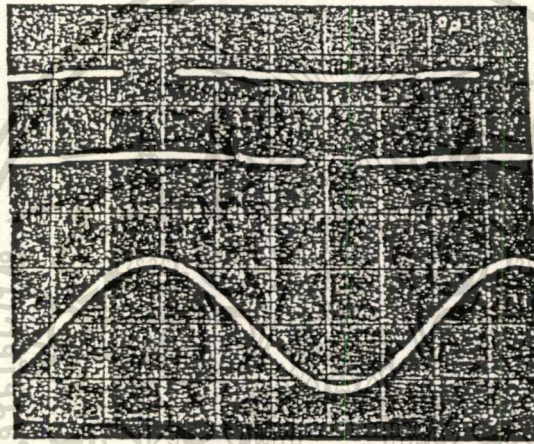
รูปที่ 9 รูปที่ 10 และรูปที่ 11 เป็นภาพถ่ายแสดง แรงดันเฟส แรงดันระหว่างไลน์ และกระแส ที่ความถี่ต่าง ๆ กัน จากรูป จะเห็นว่ารูปคลื่นกระแสที่ไหลเข้ามอเตอร์ มีลักษณะใกล้เคียง คลื่นไซน์มาก ซึ่งสามารถสรุปได้ว่าการสร้างคลื่นพีดับบลิวเอ็มโดยการควบคุมฟลักซ์แม่เหล็กนี้ ให้ค่าฮาร์โมนิกส์ที่เอาต์พุตค่า และสามารถนำไปใช้งานได้จริง



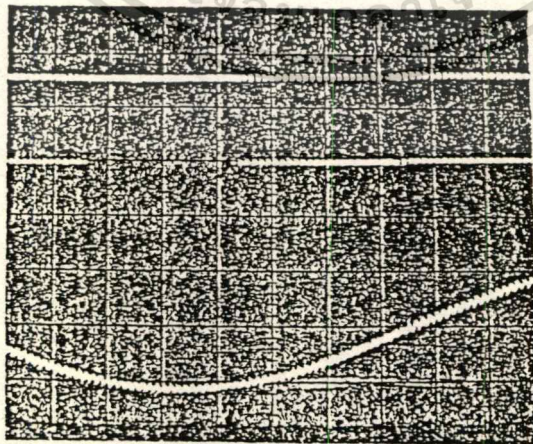
เอกสารนี้เป็นเอกสารที่สงวนไว้สำหรับการใช้งานเพื่อการศึกษาเท่านั้น ไม่อนุญาตให้นำไปใช้ประโยชน์ด้านการค้า ไม่ว่าจะกรณีใดๆ ทั้งสิ้น อีกทั้งห้ามมิให้ดัดแปลงเนื้อหา และต้องอ้างอิงถึงเจ้าของเอกสารทุกครั้งที่มีการนำไปใช้ รูปที่ 8 วงจรที่ใช้ทดสอบ ตัวกำเนิดสัญญาณพีดับบลิวเอ็ม



(ก) แรงดันระหว่างไลน์  $v_{uv}$  (บน: 200 V/Div) และกระแสไลน์  $i_u$  (ล่าง: 3 A/Div)  
(แนวระดับ: 5 ms/Div)

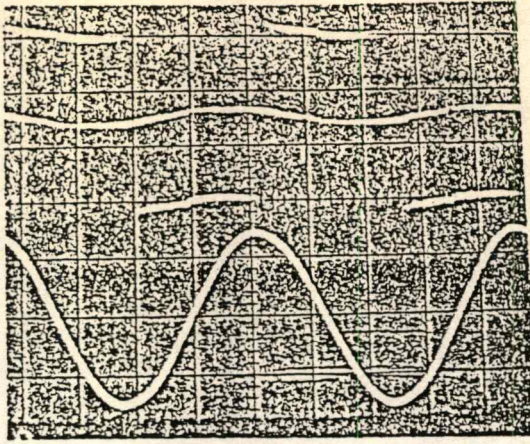


(ข) แรงดันเฟส  $v_{un}$  (บน: 200 V/Div) และกระแสไลน์  $i_u$  (ล่าง: 3 A/Div)  
(แนวระดับ: 5 ms/Div)

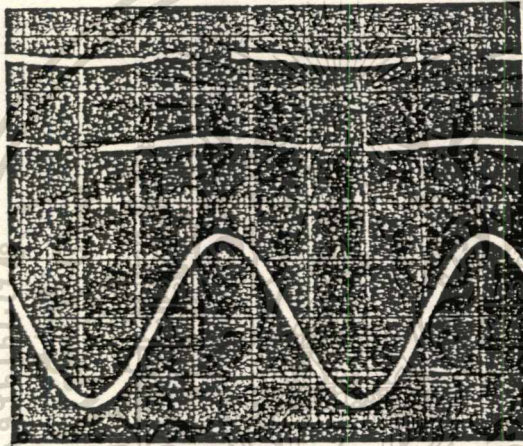


(ค) แรงดันเฟส  $v_{un}$  (บน: 200 V/Div) และกระแสไลน์  $i_u$  (ล่าง: 3 A/Div)

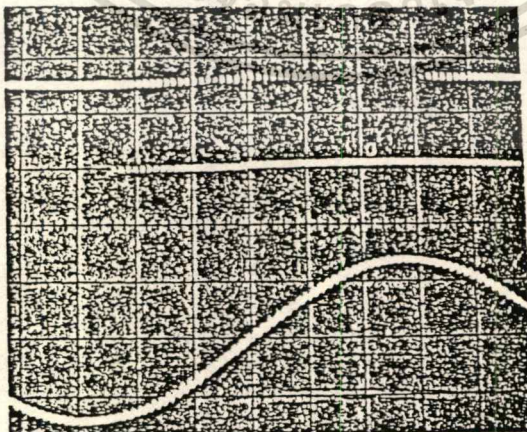
เอกสารนี้เป็น(แนวระดับ: 2 ms/Div)การใช้งานเพื่อการศึกษาเท่านั้น ไม่อนุญาตให้นำไปใช้ประโยชน์ด้านการค้า  
รูปที่ 9: (ก)-(ค) แสดงรูปคลื่นต่างๆที่ป้อนเข้ามอเตอร์ที่ความถี่  $f_{in} = 29.5 \text{ Hz}$  และ  $M = 0.6$  นำไปใช้



(ก) แรงดันระหว่างไลน์  $v_{uu}$  (บน: 200 V/Div) และกระแสไลน์  $i_u$  (ล่าง: 3 A/Div)  
(แนวระดับ: 5 ms/Div)

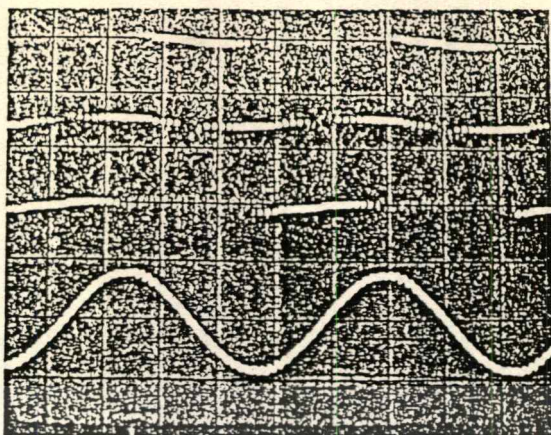


(ข) แรงดันเฟส  $v_{um}$  (บน: 200 V/Div) และกระแสไลน์  $i_u$  (ล่าง: 3 A/Div)  
(แนวระดับ: 5 ms/Div)

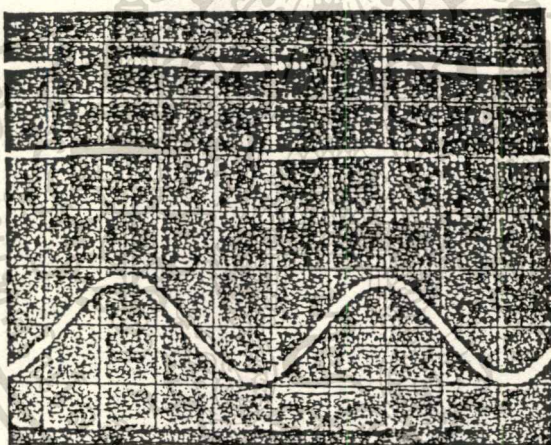


(ค) แรงดันเฟส  $v_{um}$  (บน: 200 V/Div) และกระแสไลน์  $i_u$  (ล่าง: 3 A/Div)

เอกสารนี้เป็น (แนวระดับ: 2 ms/Div) การใช้งานเพื่อการศึกษาเท่านั้น ไม่อนุญาตให้นำไปใช้ประโยชน์ด้านการค้า  
รูปที่ 10 (ก)-(ค) แสดงรูปคลื่นต่างๆที่ป้อนเข้ามอเตอร์ ที่ความถี่  $f_o = 43 \text{ Hz}$  และ  $M = 0.86$



(ก) แรงดันระหว่างไลน์  $v_{\text{u-u}}$  (บน: 200 V/Div) และกระแสไลน์  $i_{\text{u}}$  (ล่าง: 3 A/Div)  
(แนวระดับ: 5 ms/Div)



(ข) แรงดันเฟส  $v_{\text{u-n}}$  (บน: 200 V/Div) และกระแสไลน์  $i_{\text{u}}$  (ล่าง: 3 A/Div)  
(แนวระดับ: 5 ms/Div)

รูปที่ 11 (ก)-(ข) แสดงรูปคลื่นต่างๆที่ป้อนเข้ามอเตอร์ ที่ความถี่  $f_o = 117.5 \text{ Hz}$  และ  $M = 1$

## 6. สรุป

บทความนี้ได้แสดงถึงการสร้างตัวกำเนิดสัญญาณพีคดับลิวเอ็มโดยวิธีการควบคุมฟลักซ์แม่เหล็กโดยใช้ไมโครคอนโทรลเลอร์ INTEL 8031 เป็นฐาน ซึ่งไมโครคอนโทรลเลอร์นี้สามารถหาได้ง่ายภายในประเทศและยังมีราคาต่ำอีกด้วย วิธีการควบคุมฟลักซ์แม่เหล็กยังมีข้อดีกว่าวิธีการเก่า โดยเฉพาะ SHM คือวิธีการนี้ให้แรงดันเอาต์พุตสูงสุดมากกว่า 15 เปอร์เซ็นต์ และที่ความถี่สลับเท่ากันยังให้ความถี่สวิตช์ซึ่งลดลง 33 เปอร์เซ็นต์ ซึ่งหมายถึงการสูญเสียสวิตช์ซึ่งที่เกิดขึ้นจะลดลงไปด้วย นอกจากนี้ เนื่องจากวิธีการนี้ทำงานในโหมด อะซิงโครนัส จึงไม่มีการกระตุกของแรงบิด ซึ่งอาจเกิดขึ้นจากการสร้างสัญญาณพีคดับลิวเอ็มในโหมดซิงโครนัส

## กิตติกรรมประกาศ

ขอขอบคุณ คุณสุภาณี มุขพันธ์ และ คุณเศรษฐลักษณ์ เห่งจัน ที่ได้ช่วยเหลือด้านงานพิมพ์งานสำเร็จลงด้วยดี



เอกสารอ้างอิง

- [1] P. C. Sen, "Electric motor drives and control-past, present, and future," IEEE Trans. Ind. Elec., vol. IE-37, no. 6, pp. 562-575, Dec 1990.
- [2] N. Zorbas, and B. A. Neyland, "Derivation of induction motor equivalent circuit using space phasor concepts," IEEE Trans. Edu., vol. E-30, no. 2, pp. 90-97, May 1987.
- [3] S. Fukuda, Y. Iwaji, and H. Masegawa, "PWM technique for inverter with sinusoidal output current," IEEE Trans. Power Elec., vol. 5, no. 1, pp. 54-61, Jan. 1990.
- [4] M. Morimoto, S. Sato, K. Sumito, and K. Oshitani, "Single-chip microcomputer control of the inverter by the magnetic flux control PWM method," IEEE Trans. Ind. Elect., vol. IE-36, no. 1, pp. 42-47, Feb. 1989.
- [5] J. Hamman and F. S. van der Merwe, "Voltage harmonics generated by voltage-fed inverters using PWM natural sampling," IEEE Trans. Power Elec., vol. 3, no. 3, pp. 297-302, July 1988.
- [6] J. M. D. Murphy and F. G. Turnbull, "Power Electronic Control of AC Motors," Pergamon Press, UK, 1988.
- [7] Intel Microcontroller Handbook, 1985.